

T.C.  
OSMANGAZİ ÜNİVERSİTESİ  
SAĞLIK BİLİMLERİ ENSTİTÜSÜ  
FİZYOLOJİ ANABİLİM DALI

115041

**GLUTAMAT TOKSİSİTESİ OLUŞTURULMUŞ GLİOMA HÜCRE  
DİZİLERİNDE MgSO<sub>4</sub> VE LAZAROID U-83836E'NİN HÜCRE  
YAŞAM ORANINA ETKİSİ**

115041

DOKTORA TEZİ

**SELDΑ KABADERE**

**T.C. İYİ HİZMETİM KURULU  
DÜRUMA İLAÇLAMA MİLLÎEZİ**

**Danışman: Prof. Dr. Ruhi Uyar**

**HAZİRAN 2002**

## KABUL VE ONAY SAYFASI

Selda KABADERE'nin Doktora Tezi olarak hazırladığı "glutamat toksisitesi oluşturulmuş glioma hücre dizilerinde mgso<sub>4</sub> ve lazaroid u-83836e'nin hücre yaşam oranına etkisi" başlıklı bu çalışma, jürimiz Lisansüstü Öğretim Yönetmeliği'nin ilgili maddeleri uyarınca değerlendirilerek kabul edilmiştir.

Prof. Dr. Ruhi UYAR  
ÜYE



Prof. Dr. Gönül Ö. PEKER  
ÜYE



Prof. Dr. Neş'e TUNÇEL  
ÜYE



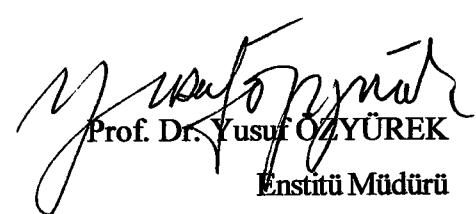
Prof. Dr. Kasım ÖZLÜK  
ÜYE



Doç. Dr. Kubilay UZUNER  
ÜYE



Osmangazi Üniversitesi Sağlık Bilimleri Enstitüsü Yönetim Kurulu'nun 20/06/2014  
gün ve 549/1514 sayılı kararı ile onaylanmıştır.

  
Prof. Dr. Yusuf ÖZYÜREK  
Enstitü Müdürü

## **İÇİNDEKİLER**

<b>İÇİNDEKİLER</b>	i
<b>ÖZET</b>	iii
<b>SUMMARY</b>	v
<b>ŞEKİLLER DİZİNİ</b>	vii
<b>TABLOLAR DİZİNİ</b>	x
<b>SİMGİ VE KISALTMALAR DİZİNİ</b>	xi
<b>1. GİRİŞ VE AMAÇ</b>	1
<b>2. GENEL BİLGİLER</b>	3
<b>2.1. GLİA HÜCRELERİ</b>	3
<b>2.2. GLUTAMAT</b>	4
<b>2.2.1. Glutamat ve reseptörleri</b>	5
<b>2.2.2. Glutamat sentezi</b>	8
<b>2.2.3. Astroositlerin glutamat alması</b>	8
<b>2.2.4. Glutamatın neden olduğu astroglial hücre şişmesi</b>	10
<b>2.2.5. Nörolojik fonksiyon bozukluğunda astroositler ve glutamat</b>	12
<b>2.2.6. Glioma hücrelerinde glutamat toksisitesi</b>	14
<b>2.3. GLİA HÜCRELERİNDE KALSİYUM DENGESİ</b>	15
<b>2.4. BEDENDE MAGNEZYUM DENGESİ</b>	20
<b>2.5. BEYİNDE TRAVMA SONRASI MAGNEZYUM</b>	24
<b>2.6. LAZAROIDLER</b>	25
<b>2.7. HÜCRE ÖLÜMÜ</b>	26
<b>3. GEREÇ VE YÖNTEM</b>	27

<b>3.1. HÜCRELERİN ÜRETİLMESİ</b>	<b>27</b>
<b>3.1.2. İnsan glioblastoma multiforme hücrelerinin üretilmesi</b>	<b>27</b>
<b>3.2. HÜCRELERİN DENEYE ALINMASI</b>	<b>28</b>
<b>3.2.1. İlaçların hazırlanması ve MTT yöntemi</b>	<b>28</b>
<b>3.2.2. C6 ve insan glioma hücrelerinde kalsiyum ve magnezyum denemeleri</b>	<b>29</b>
<b>4. BULGULAR</b>	<b>31</b>
<b>4.1. IC<sub>50</sub> DEĞERLERİ</b>	<b>33</b>
<b>4.2. MgSO<sub>4</sub> DEĞERLERİ</b>	<b>37</b>
<b>4.3. U-83836E DEĞERLERİ</b>	<b>40</b>
<b>4.1. KALSİYUM VE MAGNEZYUM VERİLERİ</b>	<b>42</b>
<b>4.1.1. C6 glioma hücrelerinde kalsiyum ve magnezyum verileri</b>	<b>42</b>
<b>4.1.2. Birinci hastaya ait insan glioma hücrelerinde kalsiyum ve magnezyum verileri</b>	<b>45</b>
<b>4.1.3. İkinci hastaya ait insan glioma hücrelerinde kalsiyum ve magnezyum verileri</b>	<b>47</b>
<b>5. TARTIŞMA VE SONUÇ</b>	<b>50</b>
<b>KAYNAKLAR DİZİNİ</b>	<b>56</b>
<b>ÖZGEÇMIŞ</b>	<b>65</b>

## ÖZET

L-glutamat merkezi sinir sisteminde ana uyarıcı nörotransmiter olmasına ek olarak aynı zamanda önemli bir nörotoksin ve glial toksindir. Hücrede ortamda glutamatın artması nöronlarda ölüme neden olduğu gibi astrogial hücrelerin şişmesine ve ardından parçalanmasına öncülük ederek bir dizi yıkıcı olayları başlatır. Nörodejeneratif hastalıklar sonrası, nöronların yaşamını sürdürmesi ve iyileşmesinde astrositlerin rolü giderek önem kazanmaktadır. Bir kez hasar oluşunca astrosit fonksiyonlarındaki azalma, merkezi sinir sistemindeki daha ileri kayıplara katılabilir. Bu nedenle astrosit yaşamının uzamasının daha ileri bir nöron korumaya olanak sağlayacağı düşünülmektedir.

Lazaroidler (21 aminosteroidler) lipid peroksidasyon inhibitörü olarak geliştirilen antioksidan ilaçlardır. Özellikle travma, subaraknoid hemoraji ve iskemiye maruz kalmış beyin dokusunda güçlü bir antioksidan kapasitelerinin olduğu gösterilmiştir. Yine MgSO<sub>4</sub>'ün iskemi ve travma nedeniyle oluşan nöronal hasarı önlediği gösterilmiştir. Glial hücrelerde Mg'un ve lazaroïdlerin glutamat toksisitesi üzerindeki etkisini gösteren herhangi bir çalışmaya rastlanmamıştır.

Sıçan glioma hücre dizisinden elde edilen C6 hücreler, glia hücre özellik ve fonksiyonlarının tanımlanmasında kullanılmaktadır. C6 hücreleri ve iki adet insana ait glioblastoma multiforme hücreleri % 5 CO<sub>2</sub>, 37 °C ve % 100 nem içeren inkubatörde çoğaltıldı. Öncelikle hücreler üzerinde L-glutamatın % 50 öldürücü dozu belirlendi. Elde edilen dozda L-glutamat 24 saat süreyle uygulandı ve ardından uzaklaştırılarak, MgSO<sub>4</sub> veya U-83836E dozları besiyerine eklendi. 24 saat sonra hücrelerin yaşama oranlarını gösteren 3-(4,5-Dimethylthyazol-2-yl)-2,5-diphenyltetrazolium bromide; thiazolyl blue (MTT) testi uygulandı. Elde edilen veriler tek yönlü varyans analizi ve ardından Tukey'in çok yönlü karşılaştırma testi ile istatistiksel olarak değerlendirildi.

Ayrıca L-glutamat ile birlikte ve ardından Ca<sup>2+</sup> içermeyen besiyeri, inositol trifosfat (IP<sub>3</sub>) kapılı kalsiyum kanallarını bloklayan heparin, hücre dışındaki Ca<sup>2+</sup>, tutan

etilen diamin tetra asetikasit (EDTA), 10 veya 50 mM CaCl<sub>2</sub> kullanılarak L-glutamat toksisitesinde Ca<sup>2+</sup> iyonlarının rolü ortaya konmaya çalışıldı. Yine L-glutamat ile birlikte ardından Mg<sup>2+</sup> bulunmayan besiyeri ve 2, 5, 10, 50 veya 100 mM MgSO<sub>4</sub> kullanılarak, eksitotoksitede Mg<sup>2+</sup> iyonlarının rolü araştırıldı.

C6 ve insan glioma hücrelerinde sırasıyla 0.01 mM MgSO<sub>4</sub>'ün % 17, % 15 ve % 5; 1 µM U-83836E'nin % 12, % 13 ve % 4.9 oranında hücre yaşam oranında artışa neden olduğu ortaya kondu. Üç hücrenin canlı hücre yoğunluğunda, Ca<sup>2+</sup>,suz besiyeri grubunda % 23, 17 ve 21, EDTA grubunda % 44, 30 ve 34, heparin grubunda %23, % 10 ve % 17, 10 mM CaCl<sub>2</sub> grubunda % 34, % 17 ve % 22, 50 mM CaCl<sub>2</sub> grubunda % 44, % 24 ve % 27 oranında azalma görüldü. Mg<sup>2+</sup>,suz besiyeri grubunda ise canlı hücre miktarında % 13, % 20 ve % 18'lik bir azalma belirlendi. Sadece 2 mM MgSO<sub>4</sub> hafif bir koruma sağlarken, besiyerine MgSO<sub>4</sub> 'ün artan dozlarda eklenmesi ise toksisiteyi daha da artırdı.

Sonuç olarak, MgSO<sub>4</sub> ve U-83836E glutamatın neden olduğu hücre ölümünü tam olarak engelleyememesine rağmen, verilerimiz Mg<sup>2+</sup> iyonları ve serbest radikal oluşumunun olayda küçük de olsa rolü olduğunu önermektedir. Oysa L-glutamat toksisitesi ile Ca<sup>2+</sup> iyonları arasında doğrudan bir ilişki kurulamamıştır.

Anahtar kelimeler: L-glutamat, MgSO<sub>4</sub>, lazaroid U-83836E, glioma, hücre çoğalması.

## SUMMARY

L-glutamate is the major excitatory neurotransmitter as well as an important neurotoxin and gliotoxin in the central nervous system (CNS). Elevated extracellular L-glutamate levels have been shown to change astrocytic volume. Furthermore, L-glutamate induces a sequence of degenerative events that leads to the lysis of the cultured astrocytes. The role of astrocytes in promoting neuronal survival and recovery following cerebral insult is becoming increasingly appreciated. Once damaged, the resulting reductions in astrocyte function may further contribute to CNS losses. In concert with improving astrocyte survival, advanced neuroprotection would be expected.

The 21-aminosteroids, or lazaroids, are potent inhibitors of lipid peroxidation in neural tissue and have been developed for the acute treatment of CNS injury, ischemia or subarachnoid hemorrhage. It has been shown that MgSO<sub>4</sub> also improves neuronal injury after ischemia and trauma. The possible effect of MgSO<sub>4</sub> and lazaroids on glutamate toxicity on glial cells has not been studied yet.

C6 rat glioma and human glioblastoma multiforme cells were grown in an incubator atmosphere of 5 % CO<sub>2</sub>, 37 °C and 100 % humidity. First, the determined IC<sub>50</sub> value of L-glutamate was given for 24 hours and removed, and then MgSO<sub>4</sub> or U-83836E doses were added to the culture medium. After 24 hours 3-(4,5-Dimethylthyazol-2-yl)-2,5-diphenyltetrazolium bromide; thiazolyl blue (MTT) test was done. For the statistical analysis one-way ANOVA following Tukey's multiple comparison tests were used.

In addition we have tried to show the role of Ca<sup>2+</sup> on L-glutamate toxicity by using Ca<sup>2+</sup> free medium, heparin which blocks inositol triphosphate (IP<sub>3</sub>) gated calcium channels, ethilendiamine tetraaceticacid (EDTA) which blocks extracellular Ca<sup>2+</sup>, 10 mM or 50 mM CaCl<sub>2</sub>. We have also attempted to show the role of Mg<sup>2+</sup> ions by using Mg<sup>2+</sup> free medium, 2, 5, 10, 50 or 100 mM MgSO<sub>4</sub>.

We have found that MgSO<sub>4</sub> at the dose of 0.01 mM increased C6 and human glioma cell growth by 17, 15 and 5 %, respectively. At the dose of 1 µM U-83836E also increased C6 and human glioma cell growth by 12, 13 and 4.9 %, respectively. The medium used without Ca<sup>2+</sup>decreased the survival of C6 and two human glioma by 23, 17 and 21 %, respectively. EDTA decreased the cell survival of C6 and two human glioma by 44, 30 and 34 %, respectively. The heparin caused a decrease of the survival of C6 and two human glioma cell by 23, 10 and 17 %, respectively. 10 and 50 mM CaCl<sub>2</sub> decreased the cell survival of C6 and two human glioma cells by 34, 17 and 22 %, and by 44, 24 and 27 %, respectively. It is found that Mg<sup>2+</sup> free medium declined the cell survival of the three sources by 13, 20 and 18 %, respectively. Although MgSO<sub>4</sub> at the dose of 2 mM slightly increased the cell survival , addition of increased amount of MgSO<sub>4</sub> to the cultures increased the toxicity.

In conclusion, although MgSO<sub>4</sub> and U-83836E do not strongly block glutamate-induced cell death, it is suggested that Mg<sup>2+</sup> ions and free radical production may have a small role. It is also suggested that L-glutamate toxicity does not related directly with Ca<sup>2+</sup> ions.

Key words: L-glutamate, MgSO<sub>4</sub>, lazaroïd U-83836E, glioma, cell proliferation.

## **ŞEKİLLER DİZİNİ**

2.1. Nöron ve astrositlerdeki glutamat sentezi	9
2.2 Glutamat-glutamin mekiği	10
2.3. Nöronda eksitotoksik hasar mekanizması	19
4.1. GFAP (+) insan glioblastoma multiforme hürelerinin genel görüntüsü	31
4.2. C6 sıçan glioma hücre serisinin genel görüntüsü	31
4.3. Birinci hastaya ait insan glioblastoma multiforme hürelerinin genel görüntüsü	32
4.4 İkinci hastaya ait insan glioblastoma multiforme hürelerinin genel görüntüsü	32
4.5. C6 hücrelerinde 10-20 mM arası dozlardaki L-glutamatın hücre yaşam oranına etkisi	33
4.6. Birinci hastaya ait insan hücrelerinde 15-25 mM arası dozlardaki L-glutamatın hücre yaşam oranına etkisi	34
4.7. İkinci hastaya ait insan hücrelerinde 15-25 mM arası dozlardaki L-glutamatın hücre yaşam oranına etkisi	34
4.8. C6, birinci ve ikinci hastaya ait insan glioma hürelerinin yaşam oranı üzerinde MgSO <sub>4</sub> 'ın etkisi	35
4.9. C6, birinci ve ikinci hastaya ait insan glioma hürelerinin yaşam oranı üzerinde U-83836E'nin etkisi	36

- 4.10. 16 mM L-glutamat uygulamasının ardından verilen üç dozdaki MgSO<sub>4</sub>'ün C6 hücre yaşam oranı üzerindeki etkisi 37
- 4.11. 21 mM L-glutamat uygulamasının ardından verilen üç dozdaki MgSO<sub>4</sub>'ün birinci hastaya ait glioma hücre yaşam oranı üzerindeki etkisi 38
- 4.12. 20 mM L-glutamat uygulamasının ardından verilen üç dozdaki MgSO<sub>4</sub>'ün ikinci hastaya ait glioma hücre yaşam oranı üzerindeki etkisi 39
- 4.13. 16 mM L-glutamat uygulamasının ardından verilen iki dozdaki U-83836E'nin C6 hücre yaşam oranı üzerindeki etkisi 40
- 4.14. 21 mM L-glutamat uygulamasının ardından verilen iki dozdaki U-83836E'nin birinci hastaya ait glioma hücre yaşam oranı üzerindeki etkisi 41
- 4.15. 20 mM L-glutamat uygulamasının ardından verilen iki dozdaki U-83836E'nin ikinci hastaya ait glioma hücre yaşam oranı üzerindeki etkisi 42
- 4.16. Önce 24 saat 16 mM L-glutamat+EDTA, L-glutamat+ heparin, L-glutamat + Ca<sup>2+</sup>,suz besi yeri, L-glutamat+10 mM Ca<sup>2+</sup> veya L-glutamat +50 mM Ca<sup>2+</sup> uygulanan, ardından 24 saatlik iyileşme döneminde sadece Ca'suz besiyeri, EDTA, heparin, 10 mM Ca veya 50 mM Ca verilen gruptardaki C6 hücre yaşam oranları 43
- 4.17. Önce 24 saat 16 mM L-glutamat+ 2, 5, 10, 50 veya 100 mM MgSO<sub>4</sub>, ardından L-glutamati uzaklaştırılmış MgSO<sub>4</sub> dozları uygulanmış C6 glioma hücrelerinin yaşam oranları 44

- 4.18. Önce 24 saat süreyle 21 mM L-glutamat+Ca'suz besiyeri, 21 mM L-glutamat+ EDTA, 21 mM L-glutamat + heparin, 21 mM L-glutamat + 10 mM Ca<sup>2+</sup> veya 21 mM L-glutamat+ 50 mM Ca<sup>2+</sup> uygulanan, ardından iyileşme döneminde sadece L-glutamati uzaklaştırılarak, Ca<sup>2+</sup>,suz besiyeri , EDTA, heparin, 10 mM Ca<sup>2+</sup> veya 50 mM Ca<sup>2+</sup> uygulanan gruptardaki birinci hastaya ait glioma hücre yaşam oranı 45
- 4.19. Önce 24 saat 16 mM L-glutamat+ 2, 5, 10, 50 veya 100 mM MgSO<sub>4</sub>, ardından L- glutamatı uzaklaştırılmış MgSO<sub>4</sub> dozları uygulanmış birinci hastaya ait glioma hücrelerinin yaşam oranları 46
- 4.20. Önce 24 saat süreyle 20 mM L-glutamat + Ca'suz besiyeri, 21 mM L-glutamat+ EDTA, 21 mM L-glutamat + heparin, 21 mM L-glutamat + 10 mM Ca<sup>2+</sup> veya 21 mM L-glutamat + 50 mM Ca<sup>2+</sup> uygulanan, ardından iyileşme döneminde sadece L-glutamati uzaklaştırılarak, Ca<sup>2+</sup>,suz besiyeri , EDTA, heparin, 10 mM Ca<sup>2+</sup> veya 50 mM Ca<sup>2+</sup> uygulanan gruptardaki ikinci hastaya ait glioma hücre yaşam oranı 47
- 4.21. Önce 24 saat 20 mM L-glutamat + 2, 5, 10, 50 veya 100 mM MgSO<sub>4</sub>, ardından L-glutamatı uzaklaştırılmış MgSO<sub>4</sub> dozları uygulanmış ikinci hastaya ait glioma hücrelerinin yaşam oranları 48

## **TABLOLAR DİZİNİ**

2.1. Glutamat reseptör alt gruplarının özellikleri	7
4.1. Tüm deneylerin sonucunda elde edilen absorbans cinsinden rakamsal veriler	49



## SİMGE VE KISALTMALAR

<u>KISALTMALAR</u>	<u>ACIKLAMALAR</u>
iGluR	İyonotropik glutamat reseptörleri
mGluR	Metabotropik glutamat reseptörleri
MgSO <sub>4</sub>	Magnezyum sülfat
cAMP	Döngüsel Adenozin Mono Fosfat
cGMP	Döngüsel Guanozin Mono Fosfat
IC <sub>50</sub>	% 50 inhibitör konsantrasyon
α-amino-3-hidroksi-5-metil-isoksazol-4-propionik asit	AMPA
N-Metil-D-Aspartat	NMDA
GABA	γ amino bütirik asit
TCA	Trikarboksilik asit
GSH	Glutatyon
GFAP	Glial fibriller asidik protein
IP <sub>3</sub>	İnositoltrifosfat
Casr	Ca <sup>2+</sup> /Mg <sup>2+</sup> , a duyarlı reseptör
U-8383	[(-)-2-[[4-(2,6-di-1-pyrrolidinyl-4-pyrimidinyl)-1-piperazinyl]-methyl]- 3,4-dihydro-2,5,7,8-tetramethyl-2H-1-benzopyran-6-ol(dihydrochloride)]
DMEM	Dulbecco's Modified Eagle's Medium
F-12	F-12 HAM Nutrient mixture
DMSO	Dimetil sülfoksit
PBS	Fosfat tampon çözeltisi

EDTA	Etilendiamintetra asetik asit
HBSS	Hank's Balanced Salt Solution
MTT	3-(4,5-Dimethylthyazol-2-yl)-2,5-diphenyltetrazolium bromide; thiazolyl blue
LDH	Laktat dehidrojenaz



## 1. GİRİŞ VE AMAÇ

L-glutamat merkezi sinir sisteminde ana uyarıcı nörotransmiter olmasına ek olarak aynı zamanda önemli bir nörotoksindir. Epilepsi, travma ve inme gibi beyin hastalıklarında hücre dışı ortama salınan glutamat ve aspartat gibi uyarıcı aminoasitler nöronal hasar ve dejenerasyondan sorumlu tutulmaktadır. Serebral iskemide glutamat miktarı % 800 oranında artış göstermektedir. Glutamat merkezi sinir sistemindeki iyonotropik (iGluR) ve metabotropik reseptörlerini (mGluR) kullanmaktadır (27).

L-glutamat, bir nörotoksin olmasının yanısıra aynı zamanda bir gliotoksindir. Hücre dışı ortamda L-glutamatın artması astrogial hücrelerin şişmesine neden olmaktadır (8). Ayrıca kültürdeki astrositlerin parçalanmasına öncülük ederek bir dizi yıkıcı olayları başlatmaktadır (5). Bu durum aşırı miktardaki L-glutamatın nöronlarda olduğu gibi astrositlerde de hasara neden olduğunu göstermektedir.

Nörodejeneratif hastalıklar sonrası, nöronların yaşamını sürdürmesi ve iyileşmesinde astrositlerin görevi giderek önem kazanmaktadır. Nöron koruma ile ilgili mevcut araştırmaların çoğu nöron yaşamını artırmak konusunda yoğunlaşmasına rağmen, iskemisinin göze çarpan diğer etkisi gliaların, özellikle astrositlerin ölümüdür. Bir kez hasar oluşunca, astrosit fonksiyonlarındaki azalma, merkezi sinir sistemindeki daha ileri kayıplara katılabilir. Bu nedenle kötü koşullardan sonra astrosit ölümünden sorumlu mekanizmaların belirlenmesi oldukça önemlidir ve özellikle astrosit yaşamını artırma konusunda strateji geliştirilmesi son derece ilgi çekicidir. Çünkü astrosit yaşamının uzamasının daha ileri bir nöron korumaya olanak sağlayacağı umulmaktadır (9). Astrositler oldukça yüksek glutamat konsantrasyonlarını (5 mM üzeri) toler edebilirken, oligodendrositler 200  $\mu$ M glutamat konsantrasyonu ile ölmektedir (49). Bu durum astrositlerde bulunan iyonotropik  $\alpha$ -amino-3-hidroksi-5-metil-isoksazol-4-propionik asit (AMPA) reseptörlerinin desensitizasyonu ile gerçekleştirilmektedir. Bu nedenle astrositler glutamat eksitotoksitesi karşısında beyin doku savunmasının önemli parçalarından birini oluşturmaktadır (15).

Lazaroidler (21-aminosteroidler) oksijen radikallerinin induklediği lipid peroksidasyon inhibitörü olarak geliştirilen non-glukokortikoid antioksidan ilaçlardır. Özellikle travma, subaraknoid hemoraji ve iskemiye maruz kalmış beyin dokusunda güçlü bir antioksidan kapasitelerinin olduğu gösterilmiştir. Aynı zamanda iskemi ve subaraknoid hemoraji modelinde kan-beyin engelini koruduğu ortaya konmuştur (25). Lazaroid U-83836E'nin etkili bir 'OH radikal tutucusu olduğu bilinmektedir (45).

Sıçanlarda beyin hasarının ardından hücreçi serbest  $Mg^{2+}$  konsantrasyonu azalmaktadır (28). Hücreçi serbest  $Mg^{2+}$ 'daki posttravmatik azalı̄, serebral ödem, nörolojik ve kognitif bozukluklarda da görülmektedir (29). Yapılan çalışmalarla hücreçi  $Mg^{2+}$  eksikliğinin nörolojik disfonksiyonu ve sıçanlarda beyin hasarının ardından ölüm oranını artırdığı ortaya konulmuştur.  $Mg^{2+}$  hem  $Ca^{2+}$  kanal blokeri hem de NMDA reseptör antagonistı olarak fonksiyon görmektedir. Magnezyum sülfatın ( $MgSO_4$ ) iskemi ve travma nedeniyle oluşan nöronal hasarı önlediği gösterilmiştir (18,39,43). Deneysel omurilik iskemisinden sonra da  $Mg^{2+}$  tedavisi nörolojik disfonksiyonu iyileştirmīstir (51).

Glioma hücrelerinin glutamat toksisitesine duyarlı olduğu bilindīinden (19), glutamat toksisitesini glioma hücrelerinde test etmeyi amaçladık. Kato ve arkadaşları C6 hücrelerinde 48 saat süreyle uygulanan L-glutamatın % 50 inhibitör konsantrasyonunu ( $IC_{50}$ ) 3.5 mM olarak bulmūlardır. 24 saat süreyle uygulanan 10 mM L-glutamat ise hücrelerin yaklaşık % 50'sini öldürmǖstür (36). Sıçanlar üzerinde in vivo olarak yapılan çalışmalarla iskemik beyin hasarından sonra hem  $Mg^{2+}$ 'un (64), hem de bir lazarōd olan U-83836E'nin koruyucu olduğu ortaya konmuştur (17). Glutatyon sentez inhibityonunun ardından U-83836E tedavisinin kültürü yapılmış sıçan mezensefyalik nöronlarında ölümü engellediği gösterilmiştir (24). Oysa glial hücrelerde  $Mg^{2+}$ 'un ve U-83836E'nin glutamat toksisitesi üzerindeki etkisini gösteren in vitro herhangi bir çalışmaya rastlanmamıştır. Bu nedenle, kültürü yapılmış glial orijinli glioma hücre dizilerinde glutamat sitotoksitesi oluşturulduktan sonra bu iki ajanın hücre yaşam oranına etkisini denemeyi amaçladık.

## **2. GENEL BİLGİLER**

### **2.1. GLİA HÜCRELERİ**

Merkezi sinir sistemi, fonksiyonlarının yanısıra içerdeği hücre türü açısından da heterojen bir yapıya sahiptir. Burada en geniş yer tutan hücre topluluğu glia hücreleridir ve nöronların 10-50 katını oluştururlar. Merkezi sinir sisteminde mikroglia, oligodendrositler ve astrositler olmak üzere üç tip glia vardır. Periferik sinirlerde aksonları saran schwann hücreleri de glia olarak sınıflandırılmaktadır. Mikroglia, kan damarlarından sinir sistemine giren hücreleri yok etmektedir. Oligodendrositler, miyelin yapımında görev almaktadır. Beynin her tarafında bulunan astrositler iki tiptir. Fibröz astrositler, birçok orta büyülüklükte iplik içermekte ve esas olarak beyaz maddede bulunmaktadır. Astrositlerin bu tipinin morfolojik yapıları düzensizdir, genelde bir veya birkaç uzantısı diğerlerinden daha kalındır. Birçok iyon kanalı ve nörotransmitter bulundurmaktadır. Nöronlardakine benzer olarak kalsiyum, araşidonik asit, döngüsel adenozin mono fosfat (cAMP) ve döngüsel guanozin mono fosfat (cGMP) gibi haberci sistemlerini aktive etmektedir. Protoplazmik astrositler ise gri maddede bulunmaktadır; granüler sitoplazmaları vardır. Nöronal aktiviteyle ilgili süreçlerde yer almaktadır. Uyarıcı aminoasitler,  $\gamma$  amino bütirik asit (GABA) gibi nörotransmitterler için geri alım mekanizmaları vardır. Purinerjik ve kolinergic reseptörlerle hücreyi kalsiyum düzeyini düzenlemektedir. Kılcal damarlarla daha yakın ilişkilidir. Her iki tip astrosit kan damarlarına uzantılar göndererek kılcal damarın sıkı bağlantılar olmasını sağlamakta ve kan-beyin engelini yapmaktadır. Ayrıca sinapsları ve nöronların yüzeyini saran uzantılar yollamaktadır (3,19).

Uzun zamandan beri beyindeki sinyal sisteminin oluşumu ve kontrolünden sorumlu tek hücre grubunun nöronlar olduğu, onların çevreleyen gliaların ise nöronal fonksiyona yapısal ve metabolik destek sağladıkları düşünülmektedir. Oysa son yıllarda elde edilen bulgulara dayanarak astrositlerin nöronal haberleşmede aktif rol oynadıkları görüşü ortaya çıkmıştır. Astrositler küçük somaları ve yaygın, dallı uzantıları olan glia hücreleridir. Bazıları sinaptik bölgeleri çevrelerken, bazıları da tipik sonlanmaları ile

kan damarlarının duvarı ile bağlantı kurmaktadır. Bu nedenle astrositler, nöronlar ile kılcal damarlar arasında stratejik olarak yer almıştır (63).

Beyin için birincil enerji kaynağı olan glukoz, astrositlerde glikojen şeklinde depolanmakta, daha sonra çeşitli nörotransmiterlerin uyarısına yanıt olarak mobilize olmaktadır. Astrositlerin asıl beyin hücredişi sıvısının bileşimini düzenlemektedeki görevi önemlidir. Bu düzenlemede  $K^+$  iyonlarının, glutamat ve GABA gibi nörotransmiterlerin konsantrasyonu yer almaktadır. Hücredişi  $K^+$  konsantrasyonu çok iyi düzenlenmelidir. Çünkü  $K^+$  artışı nöronları depolarize ederek ve anormal uyarılmalara neden olarak aksiyon potansiyelinin ilerlemesi engellenebilir. Astrositler sitoplazmik zarlarında bulunan çok geçirgen (içeri doğru)  $K^+$  kanalları ve  $Na^+/K^+$  pompası ile hücre içine  $K^+$ 'u almakta; gap junctionlar ve difüzyon yolu ile  $K^+$ 'u uzaklaştırabilmektedir (20,30). Ayrıca astrositlerin beyinde endotel hücrelerin bariyer özelliklerini düzenleyen birçok sinyalden sorumlu olduğu konusunda önemli deliller bulunmaktadır. Bu nedenle astrositler birçok nöropatolojik durumda önemli görevler üstlenmiştir (2). Glutamaterjik sinapslarda hücre dışından glutamatın alınımında da astrositler önemli görev almaktadır.

## 2.2 GLUTAMAT

Glutamat merkezi sinir sisteminde ana uyarıcı nörotransmiterdir ve beyindeki uyarıcı iletimin % 75'inden sorumludur. Merkezi sinir sisteminde hem nöronlar hem de glia hücreleri glutamat içermektedir. Glutamat, Krebs döngüsü ara ürünlerinden  $\alpha$ -ketoglutaratın indirgeyici aminasyonu ile oluşmaktadır. Tepkime geri dönüşümlüdür ve daha sonraki metabolizma sitrik asit döngüsü ile meydana gelmektedir. Glutamaterjik nöronlar bilginin şifre edilmesi, belleğin oluşumu ve kullanılması, uzaysal tanıma ve bilincin sürdürülmesi gibi birçok yaşamsal olayda görev almaktadır. Glutamat aynı zamanda önemli bir nörotoksindir. Hipoksik hasar, hipoglisemi, inme ve epilepsi ile ilişkili durumlarda glutamat reseptörlerinin aşırı uyarımı söz konusudur. Hasar ve glutamat reseptörlerinin aşırı uyarımı arasında oldukça güçlü bir bağlantı vardır (15).

### 2.2.1 Glutamat ve Reseptörleri

Glutamat reseptörleri farmakolojik ve elektrofizyolojik özelliklerine göre iyonotropik (iGluR) ve metabotropik glutamat reseptörleri (mGluR) olarak iki gruba ayrılmaktadır. mGluR'leri G proteinleri ile ilişkilidir ve uyarılmaları glial hücrelerde hem elektriksel hem de metabolik olaylara neden olmaktadır. Günümüzde sekiz adet mGluR'ü klonlanmış olup, bunlar aminoasit benzerlikleri, farmakolojik özellikleri ve sinyal ileti sistemlerine göre üç gruba ayrılmıştır. Kısaca, mGluR 1 ve 5 (Grup I) fosfolipaz C ile ilişkilidir. Bunların uyarılması fosfoinositid hidrolizine ve zar depolarizasyonuna neden olur. Grup II (mGluR 2-3) ve III (mGluR 4, 6-8) ise iyon kanalları ve adenil siklazın inhibisyonu ile ilişkilidir (27).

Tüm iGluR'leri ligand kapılı, katyonik iyon kanallarıdır. N-metil-D-aspartat (NMDA) reseptörleri,  $\alpha$ -amino-3-hidroksi-5-metil-isoksazol-4-propionik asit (AMPA) ve kainat reseptörleri olmak üzere üçe ayrılmaktadır. NMDA, AMPA ve kainat reseptörleri  $\text{Na}^+$ 'un hücre içine girişine,  $\text{K}^+$ 'un hücre dışına çıkışına, zar depolarizasyonuna ve/veya alt ünite kompozisyonuna göre hücre içine  $\text{Ca}^{2+}$  girişine neden olmaktadır. AMPA reseptörlerinin uyarımı hızlı oluşan ve çabuk sönen depolarizasyona neden olurken, kainat reseptörlerinin uyarılması, uzun süreli, desensitize olmayan yanıtlarla neden olmaktadır (27).

NMDA reseptörü görece büyük miktarda  $\text{Ca}^{2+}$  geçişine izin vermektedir ve birçok yönden de övgündür. Önce glisin, NMDA reseptörünün işlevini kolaylaştırmak için ona bağlanmaktadır ve görüldüğü kadariyla glisin, bunun glutamata karşı normal yanıtı için vazgeçilemezdir. İkinci olarak, glutamat bu reseptöre bağlılığında bu kanal açılmakta, fakat normal zar potansiyellerinde buna ait kanal  $\text{Mg}^{2+}$  iyonu tarafından bloke edilmektedir. Bu blokaj sadece, reseptörü içeren nöron AMPA'nın veya diğer kavşak devreleri üzerinden hızlı depolarizasyona neden olan diğer kanalların etkinleşmesi ile kısmen depolarize olduğunda ortadan kalkmaktadır. Üçüncü olarak, amneziye ve kişinin kendini çevreden soyutlamasına neden olan fensiklidin ve ketamin, kanal içinde başka bir yere bağlanmaktadır. Hipokampusta yüksek derişimde NMDA

reseptörü bulunmaktadır ve bu reseptörlerin baskılanması, nöral yolaklardaki iletimin yüksek sıklıklı kısa bir uyarılma evresinden sonra uzun süre devam eden uzun dönem potansiyelizasyonu engellemektedir. Yani, bu reseptörler bellek ve öğrenmede rol oynayabilir (19).

Glutamat reseptörlerinin varlığı *in vitro* ve *in situ* olarak çeşitli glial hücre örneklerinde gösterilmiştir. Voltaj kapılı  $K^+$ ,  $Na^+$ ,  $Cl^-$  ve  $Ca^{2+}$  gibi birçok iyon kanalları izole astrosit kültürlerinde tanımlanmıştır (27).

Astrositlerde hem iGluR'leri hem de mGluR'leri genellikle bulunmasına rağmen NMDA reseptörlerinin varlığı hala kesinleşmemiştir. NMDA'nın neden olduğu akımlar hipokampus ve neokortikal astrositlerde gözlenmiş, ancak fonksiyonel NMDA reseptörlerinin gliada olup olmadığı tam olarak bilinmemektedir. Fakat son yıllarda Schipke ve arkadaşlarında yapılan bir çalışmada fare neokorteks astrositlerinde fonksiyonel NMDA reseptörlerinin bulunduğu gösterilmiştir (53). Glial hücrelerde glutamatın hacim değişimlerini uyarması ve astrositlerden glutamat salınımını azaltması, glutamat reseptörlerinin merkezi sinir sisteminde fizyolojik ve patofizyolojik olaylarda önemli bir role sahip olduğunu ortaya koymaktadır.

Glutamat reseptörleri glial gelişim sırasında önemlidir. Glial hücrelerin gelişimi, hücre çoğalması, hücre göçü ve farklılaşma olaylarını içermektedir. Astrositlerde mGluR'lerinin aktivasyonu  $G_1/S$  geçişini engelleyerek hücre çoğalmasını baskılamakta ve farklılaşmayı uyarmaktadır. Astrositlere özgü bir enzim olan glutamin sentetazda artışa neden olmaktadır. İnsan retinasındaki Müller glia hücrelerinde NMDA reseptör agonistleri hücre çoğalmasını uyarırken, mGluR agonistleri mitojenin uyarıdığı hücre bölünmesini engellemektedir (47).

Glutamat reseptörlerinin agonist ve antagonistleri Tablo 2.1'de gösterilmiştir.

Tablo 2.1: Glutamat reseptör alt gruplarının özellikleri (27).

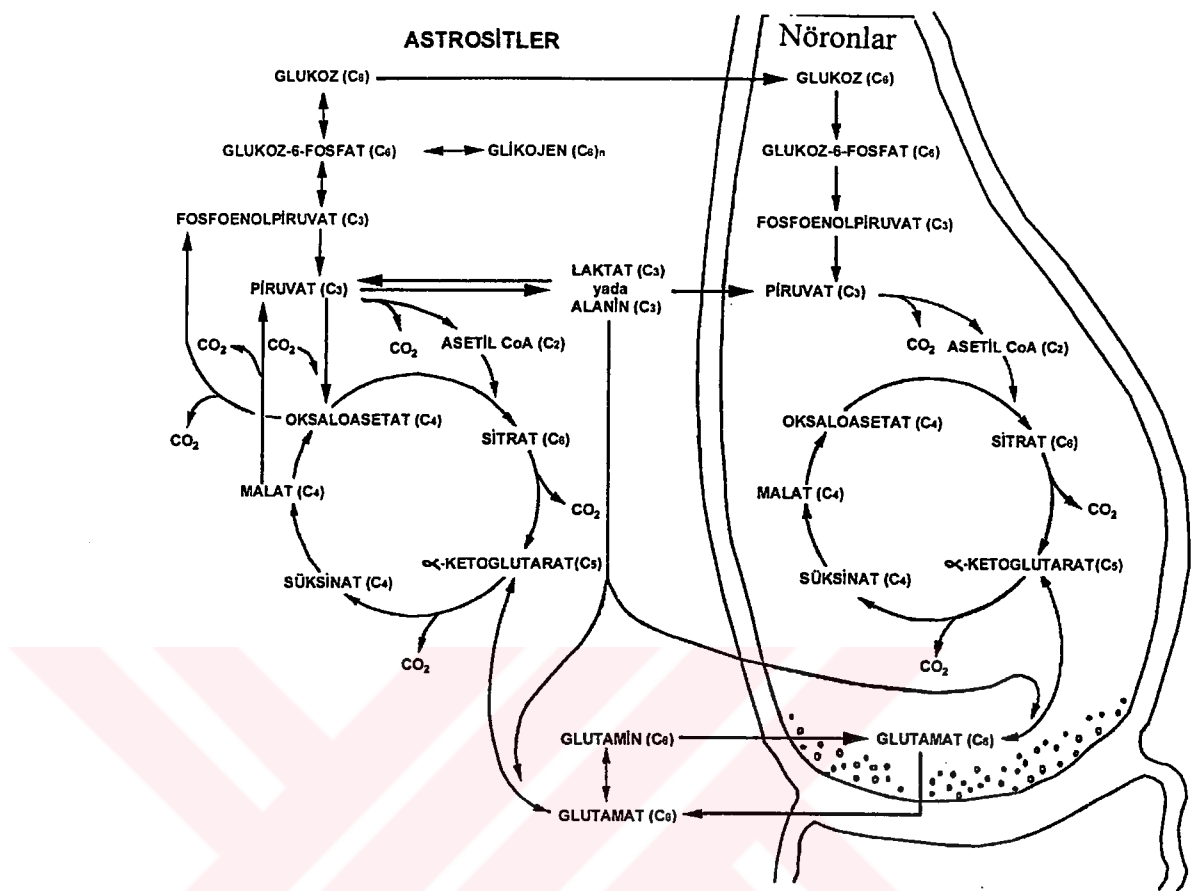
Reseptör	Mekanizma	Bağlanması	Agonist	Antagonist
<b>AMPA</b>	Na <sup>+</sup> ve Ca <sup>2+</sup> kanal açılması Ca <sup>2+</sup> girişi Zar uyarıları Hızlı desensitize	Ligand kapılı iyon kanalı	AMPA Quiskalate	CNQX DNQX
<b>Kainat</b>	Katyonik kanal açılması Ca <sup>2+</sup> girişi Zar uyarıları Desensitize olmaz	Ligand kapılı iyon kanalı	Kainik asit Domoik asit	CNQX DNQX
<b>NMDA</b>	Katyonik kanal açılması Ca <sup>2+</sup> girişi	Ligand kapılı iyon kanalı	NMDA Cis-ACBD	D-AP5 MK-801 CNQX
<b>mGluR I (1,5)</b>	Fosfolipaz C uyarıları IP <sub>3</sub> aracılı Ca <sup>2+</sup> salınımı	Gq proteini	CHPG (R,S)-3,5-DHPG	AIDA L-AP3 (5)-4-CPG
<b>mGluR II (2,3)</b>	Adenil siklaz inhibisyonu cAMP üretiminin azalması	Gi/Go proteini	QA DCG-IV	EGLU PCCG-IV MCCG
<b>mGluR III (4, 6-8)</b>	Adenil siklaz inhibisyonu cAMP üretiminin azalması	Gi/Go proteini	L-AP4 L-SOP L-CCG-I	CPPG MAP4 MSOP

## 2.2.2 Glutamat Sentezi

Kan-beyin engeli, beyni kandan ayırarak beynin hücre dışı ortamının içeriğini kontrol altında tutmaktadır. Beynin damar endotel hücreleri bir çok solüte geçirgen değildir ve aktif taşıma mekanizmaları da çok sınırlıdır. Normal yetişkinlerde sistemik dolaşımında yüksek oranda bulunan glukoz tek enerji kaynağıdır ve kolayca kan-beyin engelini geçebilmektedir. Serumda bulunan glutamat ise merkezi sinir sistemine giremez. Bunun sonucu olarak, merkezi sinir sisteminde bulunan tüm glutamat burada sentezlenmektedir. Nöron ve astrositlerin her ikisi de glukozu glikoliz olayı ile piruvata dönüştürebilmektedir. Sonra piruvattan asetil Co-A elde edilmektedir. Asetil Co-A trikarboksilik asit (TCA) döngüsü ile  $\text{CO}_2$  ve suya kadar indirgenebilir. TCA döngüsü sırasında oluşan  $\alpha$ -ketoglutarat alanin ile transamine edilerek glutamat elde edilmektedir (30, Şekil 2.1).

## 2.2.3 Astrositlerin glutamat alması

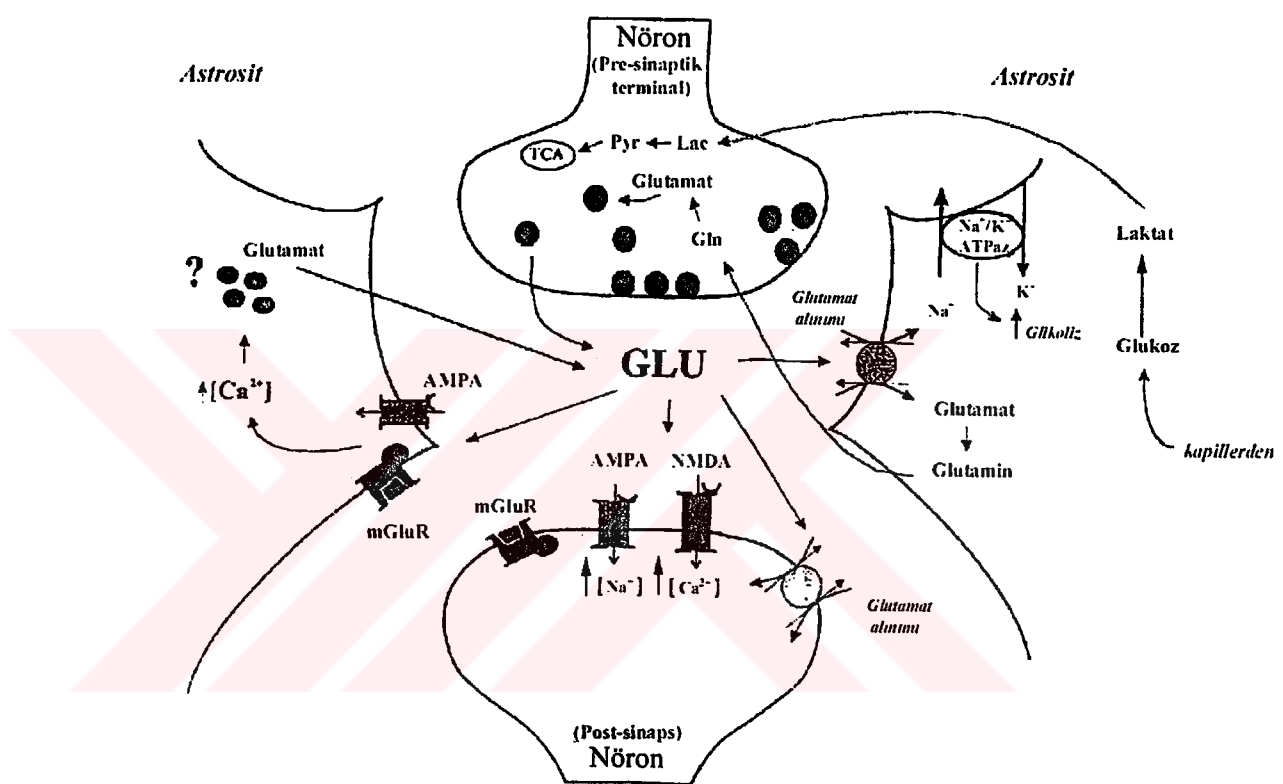
Glutamaterjik kavşaklarda hücre dışı boşluktan nörotransmitterin geri alınmasında astrositler önemli rol oynamaktadır. Sinaptik vesikülerde depolanan glutamat  $\text{Ca}^{2+}$  bağımlı ekzozitoz ile presinaptik terminallerden salınmaktadır (47). İlk önce, postsinaptik AMPA/Kainate reseptörlerini aktive ederek ilgili katyon kanallarını açmakta ve uyarıcı bir potansiyele neden olmaktadır. Bu başlangıç depolarizasyonu ile NMDA reseptörlerinde  $\text{Mg}^{2+}$ 'un neden olduğu voltaj bağımlı blok kaldırılmakta ve  $\text{Ca}^{2+}$ 'un hücre içine girişi ile daha ileri depolarizasyon gerçekleştirilmektedir. Glutamat, reseptörü ile etkileşikten sonra sinaptik aralıktan uzaklaştırılmalıdır, çünkü reseptörün aşırı uyarılması (özellikle de NMDA reseptörünün) nöronal hasara neden olmaktadır. Glutamatın geri alınımı, hücreler arasına diffüzyonu, nöron ve astrositlerin zarlarında bulunan taşıyıcı proteinler ile gerçekleştirilmektedir.



Şekil 2.1 Nöron ve astrositlerdeki glutamat sentezi (30).

Şekil 2.2' de sađdaki astrositte, alınan glutamat, glutamine dönüştürülerek salınmakta ve nöron sonlarında geri alınmaktadır. Nöronda glutamin tekrar glutamata çevrilerek nörotransmiterin vesiküler havuzu yeniden doldurulmaktadır. Bu döngü glutamat/glutamin mekiği adını almaktadır. Glutamatın glial alınımı, glutamat ve sodyumun birlikte transportu tarafından aktive edilen  $\text{Na}^+/\text{K}^+$  ATPaz pompası aracılığıyla glikoliz ile bağlantılıdır. Beyin kılcal damarları ile bağlantı kurmuş astrositik son uçlardan alınan glukoz, laktata çevrilerek salınır ve sonuçta ATP'ye dönüştürülmektedir.

Şekilde solda bulunan astrositte, sinaptik olarak salınan glutamat nöronal reseptörlerin yanısıra, astrositlerde bulunan AMPA ve metabotropik reseptörleri aktive etmektedir. Bu reseptörlerin birlikte aktivasyonu hücreyi  $\text{Ca}^{2+}$  artmasına ve ardından astrositlerden psödoeksositotik mekanizma ile glutamat salınmasına neden olmaktadır (63).



Şekil 2.2 Glutamat-glutamin mekiği (63).

#### 2.2.4 Glutamatın neden olduğu astroglial hücre şişmesi:

Glutamatın hücreyi konsantrasyonu astrositlerde  $50 \mu\text{M}$  iken, glutamaterjik nöronlarda  $10 \text{ mM}$ 'dır. Normal glutamaterjik iletimin gerçekleştirilmesi ve eksitotoksiteden korunabilmesi için hücreyi glutamat konsantrasyonu yaklaşık  $1-3 \mu\text{M}$  düzeyinde tutulmalıdır (47).

Hücredeki glutamat miktarındaki artış astroglial hücre şişmesinde son derece önemli bir etkendir. Beyindeki dolaşimsal bir sıkıntıdan sonra etkilenen bölgedeki astrositler birkaç dakika içinde hücre hacmini artırarak yanıt vermektedirler. Hücredeki ortamın çok küçük hacimde olması nedeniyle astroglial şişme nöroaktif maddelerin miktarında değişimlere neden olmakta ve bu durum nöronal fonksiyonu etkilemektedir. Astrositlerin depolarizasyonu hem glutamatın salınmasına hem de hücredeki boşluktan glutamatın alınma yeteneğinin azalmasına neden olmaktadır. Sonuçta anormal glutamaterjik ileti ve nörotoksisite gelişmektedir. Astrositlerin şişmesi aynı zamanda lezyon bölgesinde glutamatın difüzyonunu da engellemektedir. Hücre hacmindeki artış hasar görmüş dokuda metabolik bozulmayla sonuçlanmaktadır ve nöronlar için zararlı olmaktadır. Astrositlerin de hasar görmesine neden olabilir. Glutamat ile astrositlerin şişmesi hücre içinde aminoasitlerin birikimine neden olmaktadır. Glutamatın neden olduğu astroglial şişmenin altında yatan mekanizmayı ortaya koymak amacıyla pek çok çalışma yapılmıştır. Fakat bunların hiçbirini olayı tam olarak açıklamaya yeterli değildir (27).

Hücre zarından glutamatın taşınması ve hücre hacim değişimleri arasında bir ilişki bulunmaktadır. Glutamatın hücre içine alınması  $3\text{ Na}^+$  ve  $1\text{ H}^+$  iyonu ile kotransport şeklindedir ve bir  $\text{K}^+$  iyonu hücre dışına verilmektedir. Günümüzde 5 farklı glutamat taşıyıcısı klonlanmıştır. GLAST, GLT-1, EAAC1, EAAT4 ve EAAT5. Bu taşıyıcılar, farklı beyin bölgeleri ve hücre tiplerinde ayrı dağılım göstermektedirler. GLAST ve GLT-1 gliaya özgü taşıyıcılar iken diğerleri nöron spesifiktir. GLT-1 hipokampus ve serebral kortekste en yüksek düzeyde bulunmakta iken, GLAST öncelikle cerebellum moleküller tabakasında bulunmaktadır. Yetişkin beynindeki astrositik zarlarda glutamat taşıyıcıları bol bulunmaktadır. Bu durum sinaptik iletiden sonra glutamatın hücre dışı boşluktan alınımında astrositik taşıyıcıların önemini olduğunu düşündürmektedir. Glutamatın uyardığı astroglial şişmenin en azından kısmen glutamat taşıyıcılarının bloklanması ile azalması, glutamat taşıyıcıları ile hücre hacminin düzenlenmesi arasında bir ilişkinin varlığını ortaya koymaktadır. Glutamat klerensi ve nörodejenerasyonun engellenmesinde astrositik taşıyıcıların rolünü göstermeye çalışan araştırmalarda, sığında GLT-1 ve GLAST glial taşıyıcılarının

kayıbının hücre dışı glutamat miktarını yükselttiği ve nörodejenerasyona yol açtığı saptanmıştır.

Birçok etkenin glutamat taşıyıcılarının aktivitesini ve sunulumunu etkilediği görülmüştür. Farklı glutamat taşıyıcılarının aktivitesi aynı faktörlerle farklı şekilde düzenlenemektedir. Örneğin, GLT-1 proteinkinaz C'nin fosforilasyonu ile uyarılırken, GLAST baskılanmaktadır. Bununla beraber, şüphesiz hücre-hacim düzenlenmesinde glutamat taşıyıcılarının dışında diğer mekanizmalar da önemlidir.  $\text{Na}^+$  ve glutamatın hücre içine girişinin neden olduğu hücre içi osmolaritedeki net artış glial şişmeden sorumlu tek mekanizma olarak sunulmuştur.  $\text{Na}^+/\text{K}^+$  ATPazın ouabain ile baskılanması,  $\text{Na}^+$  taşınmasını ya da enerji desteğini ortadan kaldıracağı için glutamatın neden olduğu astrogial şişmeyi engellediği görülmüştür. Yine  $\text{Ca}^{2+}$ 'un da farklı hücre tiplerinde hücre-hacim düzenlenmesini etkilediği gösterilmiştir (27).

#### 2.2.5 Nörolojik fonksiyon bozukluğunda astrositler ve glutamat

Merkezi sinir sistemindeki travmatik ya da iskemik hasar sonrası glutamatın nöronlar ve astrositlerden patolojik salınımı söz konusudur. Bu salınım daha yoğun eksitotoksik nöronal dejenerasyona neden olmaktadır. Hücredeki glutamat miktarının artması, hem iGluR hem de mGluR'lerinin kontrollsüz uyarımı sonucu eksitotoksik kaskadın oluşumuna neden olmaktadır. Bu toksik etkilerin arkasında yatan moleküller mekanizmalar bilinmemekle beraber, hücre içi  $\text{Ca}^{2+}$  artışının ve  $\text{Na}^+$ 'un hücre içine girişinin etkisi olduğu düşünülmektedir. Glutamat reseptörleri, voltaj kapılı  $\text{Ca}^{2+}$  kanallarından ve hücre içi depolardan salınan  $\text{Ca}^{2+}$ 'un, nöronal protein kinazların, proteazların ve nitrik oksit sentazın kontrollsüz uyarılmasına neden olmaktadır. Ardından proteoliz, lipid peroksidasyonu ve serbest radikal oluşumu ile nöronların dejenerasyonu görülmektedir. Bu nedenle glutamat salınımının düzenlenmesi, glutamat reseptör antagonizmi ya da lipid peroksidasyonunun engellenmesi gibi eksitotoksik nöronal hasarı engelleyici olasılıklar üzerindeki ilgi yoğun bir şekilde devam etmektedir.

Bu olaylara astrositler nasıl katılmaktadır? Astrositler, beyin dokusunda dış uyaranlara yanıt verebilen, nöronlar ve diğer glial hücrelerle iyon konsantrasyonlarını modüle ederek oluklu bağlantılar (gap junction) yoluyla haberleşebilen hücrelerdir. Bu özellikler astrositlerin sinir sisteminde birçok girdiye yanıt verdiği düşündürmektedir. Eksitotoksik değişimler ile astrositler homeostasisi sağlama yeteneğini kaybedebilmekte ve hasarı daha da ileriye götürürebilmektedir. Glutamat alınımı,  $K^+$ 'un tamponlanması, substrat üretimi ve serbest radikallerin elimine edilmesi gibi koruyucu görevleri azalmakta veya tersine donebilmektedir. Sonuçta, hücreçi ATP miktarı azaldığı zaman glutamat alınımı azalmaktadır. İskemi veya anokside beyin ATP miktarının azalması  $Na^+/K^+$  ATPaz pompasının yavaşlamasına ve  $Na^+, K^+$  gradientlerinin tersine dönmesine neden olmaktadır. Bu değişim, glutamat taşıyıcılarının tersine çalışmasına ve hücreleşmeye glutamat salınımına neden olmaktadır. Sonuç, nöronal ölümdür.

Akut bir hasarda oluşan erken yanıt astroglial şişmedir. Şişme, glutamat ve  $K^+$  gibi maddelerle suyun ikincil olarak alınımı nedeniyle oluşmaktadır. Şişme iki olaya neden olmaktadır. Birincisi, beyiniçi basıncı arttırması ve damar perfüzyonunu azaltmasıdır. Böylece hücre dışına salınan glutamat miktarı artmaktadır. Glutamat, NMDA reseptörlerini aktive ederek eksitotoksiteseye katılmaktadır. İkincisi, iskemik durumların astroglial  $Ca^{2+}$  miktarında artışa neden olmasıdır. Hücreçi  $Ca^{2+}$  miktarındaki artışa yanıt olarak astrositler glutamat salgılamaktadır. Salınan glutamat komşu nöronları depolarize ederek, NMDA reseptörlerinin fazla uyarılmasına neden olmaktadır. Bu açıklamaların ışığı altında, astrositlerin nöronal hasara katkıları ve glutamat eksitotoksitesine karşı oluşan nöronal yanıtı düzenlediklerini söylemek mümkündür (8).

Kültürdeki astrositlerde L-glutamatın toksik etkisi iki safhada özetlenebilir. L-glutamat uygulanmasının ardından 4-6 saat içinde mikroskopik olarak gözlenebilen hücre şişmesi ilk etkidir. Bu dönemde hücreler morfolojik yapılarını korurlar, fakat çekirdekte bir değişim söz konusudur. Çekirdekler şişmiştir, çekirdekçikler göze çarpar ve çekirdek zarı belirgindir. İkinci etki hücre ölümüdür. Hücre ölümünün morfolojik ya

da biyokimyasal işaretleri daha sonra başlamakta (16-18 saat) ve L-glutamat uygulanmasından 24-30 saat sonra hemen hemen tüm hücreler ölmektedir (9).

In vitro çalışmalarında glutamat sitotoksitesinden sorumlu iki mekanizmadan söz edilmektedir: eksitotoksite ve oksidatif stres ile ilişkili sistin taşınmasının baskılanması. Sistin taşınmasının baskılanması ve oksijen türevlerinin artması sonucu glutamat sitotoksitesinin oksidatif stres yolu ortaya çıkmaktadır. Hücre içi glutatyon (GSH) sentezi için sistein gereklidir. Kararsız olması nedeniyle, hücrede sisteinin hemen hemen tamamı okside sistin durumunda bulunur. Yani, GSH sentezi için gerekli olan hücre içi sistein en önemli kaynağı hücre dışındaki sistemdir. Glutamat ve sistin aynı amino asit taşıyıcıyı kullandıklarından hücre içine girmek için yarışmaktadır. Hücrede glutamat miktarı arttığında, sistin taşınımı baskılanmakta ve hücre içi GSH miktarı azalmaktadır. En önemli hücresel antioksidan olan GSH'nın azalması, hücrenin oksidatif strese olan duyarlığını artırmaktadır (26). Hücreye dışarıdan GSH verilmesi, L-glutamat toksitesini iyileştirmektedir. Ayrıca L-glutamat uygulanması glioma hücrelerinde oksijen türevlerinin birikimini artırmaktadır. Sinir sisteminde L-glutamatın etkisiyle hücre içine  $Ca^{2+}$  girişi nitrik oksit sentazı uyararak, nitrik oksiti ve fosfolipaz A<sub>2</sub> ile de araşdonik asidi üretebilir. Bu durum oksijen türevlerinin oluşumunu ve olasılıkla nöron ölümünü kolaylaştırmaktadır. Astroositlerde L-glutamatın etkisi ile oksijen türevlerinin oluşumunun ayrıntılı mekanizması henüz tam olarak ortaya konabilmiş değildir. Tüm bu verilere dayanarak, astroositleri L-glutamat toksitesinden korumada hücre içi radikalleri temizlemek önemli olabilir (9).

#### 2.2.6 Glioma hücrelerinde glutamat toksitesi:

Glia hücreleri, nöronlardan farklı olarak postnatal dönemde bölünme yeteneklerini sürdürmektedirler. Glial çoğalma, reaktif gliosis, beynin travmaya cevabı ve glial hücrelerin malignant transformasyonunda görülmektedir (4). Glial kökenli tümörler toplu olarak glioma şeklinde isimlendirilmektedirler. Gliomaların çoğunluğu astrositik hücrelerde görülmektedir. Transforme hücreler hala astroitlerle aynı özelliklerini paylaşmaktadır. Örneğin, glial fibriller asidik protein (GFAP), S100 ve

büyüme faktör reseptörlerini içermektedir (36). Bu durum özellikle düşük dereceli astrositomalar için doğrudur. Gliadan glioma oluşumunu sağlayan faktörler iyi anlaşılamamıştır. Bununla birlikte bu dönüşüm çok sayıda genetik değişimler, gen delesyonları ve gen amplifikasyonları ile birlikte olmaktadır (4).

C6 sıçan glioma hücre serisinin glial hücre özelliklerinin araştırılması ve kültürdeki glia hücrelerinin cevaplarının belirlenmesi, ayrıca glutamatın neden olduğu gilotoksisitede hücresel olayların anlaşılmaması için uygun bir model oluşturduğu gösterilmiştir (23,36). Kato ve arkadaşları, C6 glioma hücrelerinde glutamat toksisitesinin mekanizmasını ortaya koymak için yaptıkları araştırmada, i. glutamatın etkili konsantrasyonunun milimolar düzeyde ve çok yüksek olduğu, ii. hücrelere NMDA ya da AMPA değil quiskalatın toksik olduğu, iii. toksisitenin glutamat reseptör antagonisti ya da glutamat alım inhibitörü ile azaltılamadığı sonucuna vararak, glutamat toksisitesinin glutamat reseptörleri ile ilişkili olmadığını göstermişlerdir. Ayrıca C6 hücrelerinde glutamatın oluşturduğu hücre ölümünün önce antiporter sistem yolu ile sistin alınımının baskılanması, ardından glutatyon eksikliğinin oksidatif strese neden olması ile meydana geldiğini ortaya koymuşlardır (36). Lipoksijenaz tarafından oluşturulan peroksitler GSH'sı azalmış hücrelerde ölüme neden olmaktadır (26).

### 2.3 GLİA VE NÖRÖNDA KALSİYUM DENGESİ

Tüm ökaryotik hücrelerde  $\text{Ca}^{2+}$  dengesinin düzenlenme mekanizması benzerdir. Hücre içi  $\text{Ca}^{2+}$  miktarı, zardaki  $\text{Ca}^{2+}$  taşıyıcıları ve sitoplazmadaki  $\text{Ca}^{2+}$  tamponlarının etkileşimi ile belirlenmektedir.  $\text{Ca}^{2+}$  taşıyıcıları denildiğinde,  $\text{Ca}^{2+}$ 'a geçirgen kanallar, ATP kullanan  $\text{Ca}^{2+}$  pompaları ve elektrokimyasal olarak idare edilen  $\text{Ca}^{2+}$  değişimcileri anlaşılmaktadır. Sonuçta,  $\text{Ca}^{2+}$  ya sitoplazmadan uzaklaştırılmakta yada sitoplazma içine dağıtılmaktadır. Sitoplazma içindeki  $\text{Ca}^{2+}$ 'un çoğu,  $\text{Ca}^{2+}$  bağlayıcı proteinler ile bağlanmaktadır. Bu özellik hücrenin  $\text{Ca}^{2+}$  tamponlama kapasitesini göstermektedir.  $\text{Ca}^{2+}$  taşıyıcıları, hücre içi ve dışı arasındaki  $\text{Ca}^{2+}$  değişimini sağlamak üzere hücre zarı, endoplazmik retikulum, mitokondri, Golgi aygıtı ve çekirdek gibi hücre içi organellerin zarlarında bulunmaktadır. Bu organeller Ca biriktiren hücre içi

$\text{Ca}^{2+}$  depolarıdır. Birikmiş  $\text{Ca}^{2+}$  proteinlere bağlanır ve  $\text{Ca}^{2+}$  kanalları yolu ile salınmaktadır (62).

Glia hücrelerinde toplam  $\text{Ca}^{2+}$ 'un sadece çok az bir kısmı ( % 0.001'den azı ) serbest sitoplazmik  $\text{Ca}^{2+}$ 'dır. Çoğu endoplazmik retikulum ve Golgi aygıtı gibi hücre içi organellere bağlıdır. Dinlenim durumunda glia hücrelerindeki hücre içi  $\text{Ca}^{2+}$  konsantrasyonu 30-40 ile 200-400 nM arasında değişmektedir (37). C6 glioma hücrelerinde ise 75-200 nM arasında değişmektedir (41). Bu değişkenlik sadece glia hücrelerinin alt gruplarında değil, aynı hücre gruplarında da görülmektedir. Bu durum,  $\text{Ca}^{2+}$  ölçümü için kullanılan yöntemin sağlıklı olmayacağı yada hücre içi  $\text{Ca}^{2+}$  dengesinin çok esnek olduğunu gösterebilir.

Başlangıçtaki elektrofizyolojik ölçümler glia hücrelerinde voltaja duyarlı  $\text{Ca}^{2+}$  kanallarını gösteremedi. Daha sonraki gelişmiş teknikler glia hücrelerinin de voltaj kapılı iyon kanallarını içerdiğini ortaya koydu. Daha önce sadece elektriksel olarak uyarılabilir hücrelerde bulunduğu düşünülüyordu. Astrosit, oligodendrosit ve schwann hücrelerinde voltaj kapılı kanallar ile  $\text{Ca}^{2+}$ 'un hücre içine girişinin hücre içi  $\text{Ca}^{2+}$  konsantrasyonunu anlamlı olarak artırdığı görülmüştür (61). Bununla beraber, tüm glia hücreleri voltaja duyarlı  $\text{Ca}^{2+}$  kanalları içermemektedir. Örneğin, Bergmann glia hücreleri, mikroglia ve astrogliomaların bazı türleri voltaja duyarlı  $\text{Ca}^{2+}$  kanalları içermemektedir. Bu durumda  $\text{Ca}^{2+}$  iyonları glia sitoplazmasına ligand kapılı kanallar yolu ile girebilir. Ligand kapılı iyon kanalları hemen hemen tüm glia hücrelerinde bol miktarda bulunmaktadır. Kültür ortamında bulunan astrositler de  $\text{Ca}^{2+}$  geçirebilen nonspesifik katyon kanallarını bulundurmaktadırlar (61).

Glia hücrelerindeki  $\text{Ca}^{2+}$  depolayan organeller hakkında az şey bilinmektedir. Çoğu glia ayrıntılı bir endoplazmik retikulum içerir ki  $\text{Ca}^{2+}$  depolarını hızla değiştirmek için ana substrat olarak görev yapmaktadır. Mitokondri diğer büyük  $\text{Ca}^{2+}$  depo bölgesidir. Glia hücrelerinde  $\text{Ca}^{2+}$  dengesindeki rolleri hakkında çok az şey bilinmektedir. Fizyolojik koşullarda  $\text{Ca}^{2+}$  sinyal sisteminde mitokondrideki  $\text{Ca}^{2+}$

birikimi önemli rol oynamazken, patolojik koşullarda mitokondride hasar oluştugundan glia  $\text{Ca}^{2+}$  homeostasisi anlamlı olarak etkilenmektedir.

Hücre içi düşük  $\text{Ca}^{2+}$  yoğunluğunun sürdürülmesi reseptör/kanal uyarılması sonucu hücre içi  $\text{Ca}^{2+}$  miktarındaki artışın tekrar eski haline dönmesi  $\text{Ca}^{2+}$  pompaları ve elektrokimyasal etkili  $\text{Na}^+/\text{Ca}^{2+}$  değişimi ile gerçekleştirilmektedir. Glia hücre  $\text{Ca}^{2+}$  pompalarının özellikleri hakkında çok az bilgimiz vardır. Glia hücrelerinde yapılan deneylerde  $\text{Na}^+/\text{Ca}^{2+}$  değişiminin olduğu konusundaki deliller, zarı geçen  $\text{Ca}^{2+}$  akımlarının hücre dışı  $\text{Na}^+$  konsantrasyonu ile kontrol edildiğini ortaya koymuştur. Çeşitli astrositik preparatlarda hücre dışı  $\text{Na}^+$  konsantrasyonu azaltılarak  $\text{Na}^+$  gradiyentinin azaltılması,  $\text{Ca}^{2+}$ 'un hücre dışına çıkışma oranını azaltarak, hücre içi  $\text{Ca}^{2+}$  konsantrasyonunu arttırmıştır. Astrositlere özgü  $\text{Na}^+/\text{Ca}^{2+}$  değişimi, interstisyumdaki iyonik bileşimin düzenlenmesi için önemlidir. Nöronlar elektriksel olarak uyarıldıklarında sinaptik aralıktaki hem  $\text{Ca}^{2+}$ , hem de  $\text{Na}^+$ 'u azaltmaktadır. Hücre dışı  $\text{Na}^+$  konsantrasyonunun azaldığı durumlarda  $\text{Na}^+/\text{Ca}^{2+}$  değişimcisi ters çalışarak, komşu astrositlerden  $\text{Ca}^{2+}$ 'u kovarak interstisyuma  $\text{Ca}^{2+}$  sağlamaktadır. Sonuçta,  $\text{Na}^+/\text{Ca}^{2+}$  değişimi patolojik durumlarda  $\text{Ca}^{2+}$  eksitotoksitesine katılabilir. Özellikle,  $\text{Ca}^{2+}$ 'un azalma dönemlerinden sonra  $\text{Ca}^{2+}$ 'un yeniden eski konsantrasyonuna dönmesi nedeniyle  $\text{Na}^+/\text{Ca}^{2+}$  pompasının ters çalışması astrositik hasarda önemli rol oynamaktadır (64).

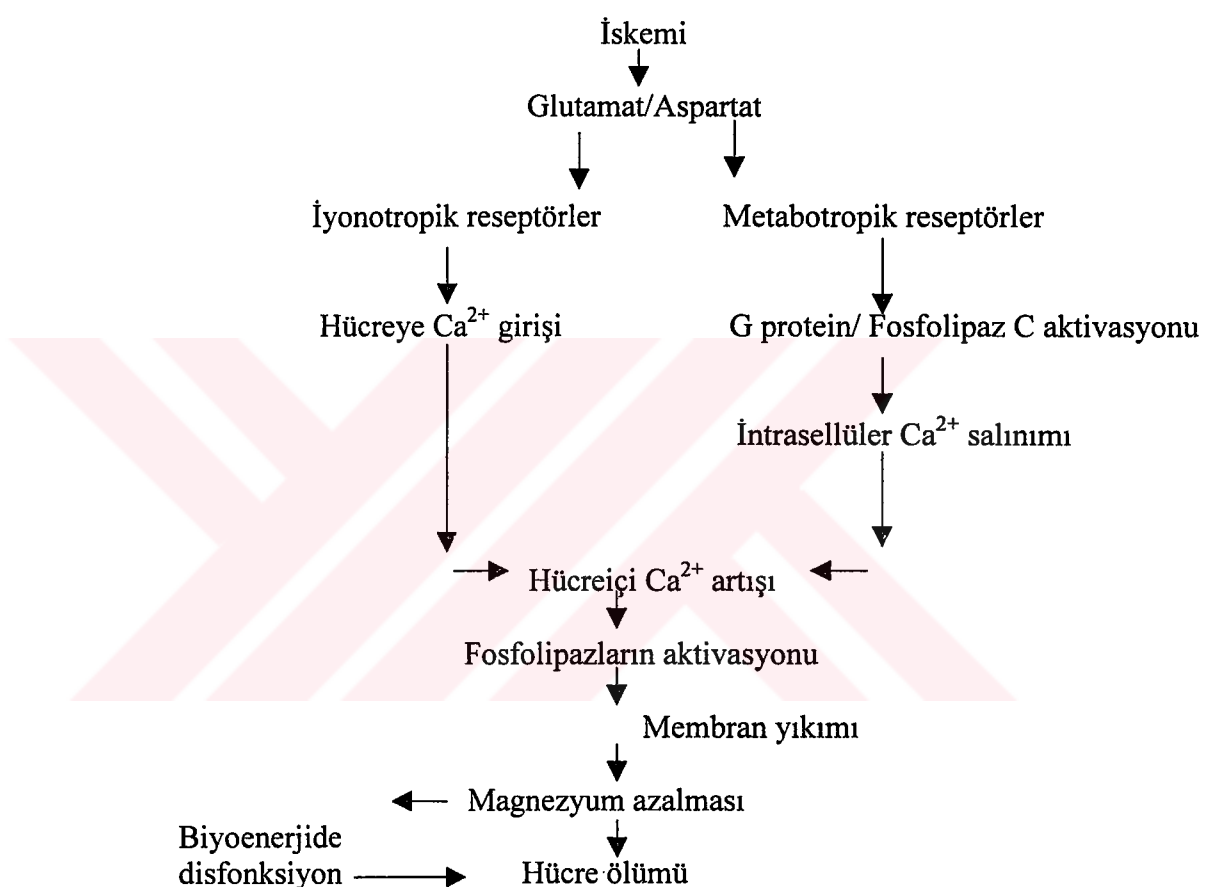
$\text{Ca}^{2+}$  sitoplazma içine girdikten sonra hücre içi sinyal ileti yollarını tetikleyerek çeşitli proteinlere bağlanmaktadır. En iyi bilinen  $\text{Ca}^{2+}$  sensörü kalmodulindir ve kalmodulin bağımlı protein kinazlar, protein fosfatazlar ve adenil siklaz olmak üzere en az üç sınıf enzimin aktivitesini düzenlemektedirler. Adenil siklaz enzimi ya sitoplazmik enzimler ile etkileşmekte ya da gen sunulumundan sorumlu diğer yolları başlatarak, çekirdeğe kadar götürmektedir.  $\text{Ca}^{2+}$  sinyalleri ve gen sunulumunu bağlayan alternatif bir yol Ras proteinleri (küçük guanin nukleotidi bağlayan proteinler) ile ilgilidir. Ras proteinleri  $\text{Ca}^{2+}$  ile uyarıldıktan sonra fosforilasyon olaylarını tetiklemekte ve gen ekspresyonunun düzenlenmesine neden olmaktadır. Glia hücrelerinde bu sistemlerin rolü hakkında çok az bilgi bulunmaktadır (64).

Beyinde bir hasar söz konusu olduğunda, beyin savunmasının önemli bir kısmını oluşturan astrositler ve mikroglialar kompleks reaksiyonlar oluşturmaktadır. Astrositler birçok biyokimyasal, yapısal ve çoğalma değişimleri göstererek “aktif astrositler” adını almaktadırlar. Beyin hasarında glia hücrelerinin yanıt oluşturmasını sağlayan elementin  $\text{Ca}^{2+}$  olduğu konusunda veriler bulunmaktadır. İskemik hasarı araştıran *in vitro* ve *in vivo* deneysel modellerde astrositler kısa süre hipoksik ya da hipoglisemik şartlarda tutulduğunda hem voltaj kapılı  $\text{Ca}^{2+}$  kanallarının uyarılması, hem de iç havuzlardan  $\text{Ca}^{2+}$ ’un saliverilmesi ile hücreçi  $\text{Ca}^{2+}$  konsantrasyonunun yükseldiği görülmüştür. Beyincikte bulunan Bergmann glia hücreleri 1 mM glutamata maruz bırakıldıklarında hücreçi  $\text{Ca}^{2+}$  miktarında artış gözlenmiştir.  $\text{Ca}^{2+}$ daki bu artıştan AMPA/Kainat reseptörlerinin çok az role sahip olduğu, esas etkinin mGluR-IP<sub>3</sub> sinyal yolu ile gerçekleştiği ortaya konmuştur (38).

Hücrelerdeki  $\text{Ca}^{2+}$ ’un aşırı artmasının hücre ölümüne neden olduğu ortaya konmuştur (11, 12). Nöronlarda  $\text{Ca}^{2+}$  toksisitesi hakkında çok şey bilmemize rağmen glia hücrelerinde  $\text{Ca}^{2+}$ ’un oluşturduğu hasar konusunda oldukça az çalışılmıştır. Kültürü yapılmış oligodendrositler ve schwann hücreleri üzerinde yapılan çalışmalarla  $\text{Ca}^{2+}$  fazlalığının hücrede ciddi hasara, hatta ölüme neden olduğu gösterilmiştir (54). Astrositlerin ise eksitonotoksik uyaranlara karşı daha dirençli olduğu düşünülmektedir.

İskemik durumlarda hücredeki ortama salınan glutamat nöron zarında bulunan iGluR ve mGluR’leri ile etkileşmektedir. NMDA reseptör kanallarının açılması  $\text{Mg}^{2+}$  ve zar potansiyeli bağımlıdır. Kanalın açılması hücre dışındaki kalsiyumun hücre içinde birikimi ile sonuçlanmaktadır. Bu birikim, fosfolipazlar, protein kinaz C gibi enzimlerin aktifleşmesine ve nitrik oksit oluşumuna neden olmaktadır. Bu olayların yeterli miktarda enerji olmadığından gerçekleştiği düşünülmektedir. Metabotropik yol ise enerji olsa da olmasa da aktifleşmektedir. Glutamat, fosfolipaz C ile ilişkili reseptörle etkileşmekte ve inositoltrifosfat (IP<sub>3</sub>) ikinci haberci yolunu başlatmaktadır. Fosfolipaz C’nin aktivasyonu ile zar yıkımı ve serbest yağ asidi birikimi sonucu  $\text{Mg}^{2+}$  konsantrasyonu aniden azalmaktadır. Hücreçi serbest  $\text{Mg}^{2+}$  konsantrasyonunun azalması hücreçi depolardan  $\text{Ca}^{2+}$  salınımını artırmakta ve kalsiyum kaskadını aktive

etmektedir. Burada  $Mg^{2+}$  konsantrasyonunun azalmasına neden olan başlangıçtaki fosfolipaz C'nin aktivasyonudur. Bu mekanizmaya eksitotoksik mekanizma denir (48, Şekil 2.3).



Şekil 2.3: Nöronda eksitotoksik hasar mekanizması.

Rothman hipokampusteki nöronların glutamat, kainat ve NMDA nörotoksisitesine  $Ca^{2+}$  iyonları ortamda yokken de duyarlı olduklarını gözlemiştir. Bunun yerine hücredeki klorun ortamda olmamasının koruyucu olduğunu saptamış ve glutamat nörotoksisitesinin pasif klorun hücre içine girmesinin ardından görülen depolarizasyon ile açıklanabileceğü hipotezini ortaya koymuştur. Katyonların hücre içine sürüklenebilmesini hücreye su girmesi ve ardından hücre ölümü takip edecek olası bir hipotezdir (52). Bu hipotez, nörodejenerasyon olayında  $Ca^{2+}$  iyonlarının anahtar rolü oynadığı görüşüne

ters düşmektedir (11). 1993 yılında Goldberg ve Choi sıçan neokorteks nöron kültüründe yaptıkları araştırmada hücre hasarını hücredeki  $\text{Ca}^{2+}$  'dan bağımsız ve hücredeki  $\text{Ca}^{2+}$ 'a bağlı olmak üzere iki kısma ayırmışlardır. Birincisi olan akut nöron şışmesi,  $\text{Ca}^2$  ortamdan uzaklaştırıldığında artış göstermektedir. Nedeni ise hücre dışındaki  $\text{Na}^+$  ve  $\text{Cl}^-$  iyonlarıdır. İkincisi ise gecikmiş hücre ölümüdür ve primer olarak  $\text{Ca}^{2+}$ un hücre içine girmesi ile ilişkilidir (22). Lee ve arkadaşları ise iskemik koşullarda akut olarak eksitotoksik  $\text{Ca}^2$  birikiminin baskın olduğunu fakat iskemi sonrası geç dönemde  $\text{Ca}^{2+}$ un aşırı azalması ile hücrenin  $\text{Ca}^2$  açlığına girdiğini düşünmektedirler. Bu nedenle geleneksel tedavi yöntemlerinin yanı sıra geç dönemde hücredeki  $\text{Ca}^2$  konsantrasyonunu yükseltecek ilaçların kullanılmasının yararlı olabileceğini belirtmektedirler (40). Bu alternatif görüşü destekleyen bir araştırmada geçici global iskemi uygulandıktan üç gün sonra CA1 hipokampus nöronlarında hücredeki  $\text{Ca}^2$  miktarının yüksek olmadığı ve voltaj kapılı  $\text{Ca}^2$  kanal akımlarının azaldığı gösterilmiştir (14). Nörotoksisiteden sorumlu mekanizmaları ortaya koymak için yapılan çalışmalarda  $\text{Ca}^2$  akımının yönü ile ilişkili molekülleri belirlemek üzere daha yeni tekniklere gereksinim olduğu açıklıktır.

## 2. 4 BEDENDE MAGNEZYUM DENGESİ

$\text{Mg}^{2+}$  hücre içinde en çok bulunan ikinci katyondur. Birçok hücresel enzim ve homeostatik olaylar için gerekli bir kofaktördür. Özellikle ATPaz, fosfataz ve kinazlar gibi enzimlerin fosfat gruplarının transferinde görev almaktadır. DNA, RNA ve protein sentezindeki biyokimyasal reaksiyonlara katılmaktadır. Trombosit agregasyonunu azaltıcı etkisi vardır. İyon kanalları ve taşıyıcıların çalışmasını düzenlemektedir. Bedendeki en önemli dört katyondan biri olmasına rağmen serum ve doku  $\text{Mg}^{2+}$  düzeyleri arasında bir benzerlik olmaması, rutin serum  $\text{Mg}^{2+}$  ölçümllerine olan ilginin azalmasına neden olmuştur (44).

Bedendeki toplam  $\text{Mg}^{2+}$  miktarı 24 g (2000 mEq/L), serumdaki normal miktarı 2.5 mg/dl (2.1 mEq/L) dir. Bedendeki  $\text{Mg}^{2+}$  'un % 53'ü kemikte, % 27'si kasta, % 19'u yumuşak dokularda, % 0.05'i eritrositlerde ve % 0.03'ü serumda bulunur. Serumda

bulunan hücredeki  $Mg^{2+}$ 'un 33'ü proteine bağlı, % 12'si anyonlar ile bileşik halinde, % 55'i ise serbest iyonize formdadır (44).

Bedenedeki  $Mg^{2+}$  dengesi gastrointestinal emilim ve renal atılım üzerindeki metabolik ve hormonal etkilerle düzenlenmektedir.  $Mg^{2+}$ 'un gastrointestinal emilimi diyetle ilişkilidir. Emiliği ileum ve jejunumdadır. Jejunumdaki emilimi D vitaminine bağımlıdır (13).

$Mg^{2+}$  dengesinde diğer önemli organ böbreklerdir. Toplam plazma  $Mg^{2+}$ , unun yaklaşık % 80'i glomerulustan süzülür. Filtrattaki  $Mg^{2+}$ 'un % 5-15'i proksimal tübülün düz ve kıvrımlı kısmında emilir. Henle kulpunun çıkan kalın kolunda  $Mg^{2+}$ 'un yaklaşık % 70'i korunur. Filtre edilmiş  $Mg^{2+}$ 'un % 10-15'i henle kulpunun distalinde (bunun % 70-80'i distal tubulde) emilir. Kıvrımlı distal tübilden sonra önemli bir  $Mg^{2+}$  emilimine rastlanmamıştır. Tübülün herhangi bir bölgesinde anlamlı bir salgılanma olduğu konusunda rapor bulunmadığından böbrek  $Mg^{2+}$  dengesinin emilimdeki değişimlerle sağlandığı düşünülmektedir. Sonuçta idrarda % 5'ten az  $Mg^{2+}$  atılımı görülür (44).

Hücredeki  $Ca^{2+}/Mg^{2+}$ 'a duyarlı reseptör (Casr)  $Mg^{2+}$  taşınmasını düzenler. Hipermagnezemi ve hiperkalsemisinin idrar ile  $Ca^{2+}$  ve  $Mg^{2+}$  atılımını artırdığı uzun süredir bilinmektedir. Bu olayda çıkan kalın kolun bazolateral zarında bulunan hücredeki  $Ca^{2+}/Mg^{2+}$ 'a duyarlı reseptörün, tuz taşınmasını ve pasif  $Ca^{2+}$ ,  $Mg^{2+}$  emilimini inhibe ettiği ortaya konmuştur (44).

Hücresel düzeyde  $Mg^{2+}$ , kalsiyum kanalları ve iyon taşınma mekanizmaları ile etkileşerek çeşitli hücrelerin zar özelliklerini değiştirebilmektedir. Kasta  $Mg^{2+}$ , çeşitli yollarla hücre içi  $Ca^{2+}$  miktarını etkileyebilir. Bunlar, sarkolemmal zarlardan  $Ca^{2+}$  akışının baskılanması, aktin üzerindeki bağlanma bölgeleri için  $Ca^{2+}$  ile yarışma ve adenil siklaz-cAMP sisteminin modülasyonudur.  $Mg^{2+}$ , damar ve kalp düz kasında hücre içinde veya zar kanalları üzerinde  $Ca^{2+}$  antagonisti olarak görev yapmaktadır. Ayrıca  $Na^+/K^+$  ATPaz sistemi aracılığı ile özel olarak  $K^+$  ile ilişki halindedir.  $Mg^{2+}$  bu önemli enzim sistemi için kofaktör olarak görev yapmaktadır. Böylece hücre zarındaki

$\text{Na}^+$  ve  $\text{K}^+$  akışını etkilemektedir. Bu nedenle  $\text{Mg}^{2+}$  transmembran  $\text{Na}^+$  ve  $\text{K}^+$  gradiyentlerini sürdürmeye yardım eder ve zarın elektriksel potansiyelini belirlemektedir.  $\text{Mg}^{2+}$  ile ilişkili hastalıklarda  $\text{Na}^+/\text{K}^+$  gradiyentleri ve transmembran potansiyelleri değişeceği için nöromusküler uyarılabilirlik değişimlerde, hatta  $\text{K}^+$  azalmasına neden olabilmektedir. Sonuçta, hücre içi  $\text{Mg}^{2+}$  azalması  $\text{Na}^+/\text{K}^+$  ATPaz aktivitesi,  $\text{Na}^+/\text{K}^+$ - $2\text{Cl}^-$  kotransportunu bozar ve  $\text{K}^+$  kanallarından  $\text{K}^+$ 'un hücre dışına çıkışını artırmaktadır (13).

Sığan astrositlerinde dijital görüntü mikroskopisi ile ölçüldüğünde hücre içi  $\text{Mg}^{2+}$ 'un bazal seviyesi  $125 \mu\text{M}$  iken, beyin damar kasları, nöronlar, kalp miyositleri ve endotel hücreleri  $400-800 \text{ mM}$  düzeyinde  $\text{Mg}^{2+}$  içermektedirler. Bu durumda astrositler, diğer hücre tiplerinin  $\frac{1}{4}$ 'ü kadar düşük miktarda  $\text{Mg}^{2+}$  içermektedir.  $\text{Mg}^{2+}$ 'un düzenlediği 325 enzimin çoğu  $400-1.000 \mu\text{M}$  hücre içi  $\text{Mg}^{2+}$  miktارında optimal olarak çalışmaktadır. Astrositlerdeki enzim-substrat etkileşimleri ya bedende diğer hücrelere göre daha etkili olan sitozolik serbest  $\text{Mg}^{2+}$ 'un kullanımı ile gerçekleştirilmekte ya da bu hücre tipinde farklı formdaki  $\text{Mg}^{2+}$ 'un birkaç katını içermelidirler (2). Diğer araştırmadan farklı olarak Tholey ve arkadaşları tavuk beyin korteks glia hücrelerinde  $\text{Mg}^{2+}$  miktarını atomik absorbsiyon spektroskopisiyle  $7 \text{ mM}$  olarak bulmuşlardır (58). Nöropil glia hücrelerinde yapılan bir araştırmada da hücre içi  $\text{Mg}^{2+}$  miktarını düzenleyen mekanizmanın  $\text{Na}^+/\text{Mg}^{2+}$  antiportu olduğu bulunmuştur (31).

Sığan beyninden izole edilmiş  $\text{Na}^+ - \text{Ca}^{2+}$  değişimcisinin cDNA'sı aktarılmış CCL39 fibroblastlarında yapılan bir çalışmada, hücre dışı  $\text{Mg}^{2+}$  miktari  $10 \text{ mM}'a$  yükseltildiğinde hücre içine doğru  $\text{Mg}^{2+}$  akışı görüntülenmiş ve  $\text{Na}^+/\text{Ca}^{2+}$  değişiminin  $\text{Mg}^{2+}$ 'u da taşıyabileceğini ve  $\text{Mg}^{2+}$ 'un hücreden dışarı çıkışında rolü olabileceği ortaya konmuştur (57).

Uyarılabilen hücrelerde zar  $\text{Mg}^{2+}$  taşınmasını inceleyen bir derlemede sonuçlara varılmıştır:

1-Hücre içi  $\text{K}^+$  ve  $\text{Cl}^-$  iyonlarının dengesi için  $\text{Na}_i/\text{Mg}_0$  değişimini gereklidir.

2-Uyarılabilen hücrelerde  $\text{K}_i$  ve  $\text{Cl}_i$ ,  $\text{Na}_i$  ile eşit miktarda birlikte taşınım şeklinde taşınmaktadır.

3-Hücre dışındaki  $\text{Na}^+$ 'a bağımlı  $\text{Mg}^{2+}$  çıkışı voltaja duyarsızdır ve ATP'ye ihtiyaç duymaktadır.

4-Hücrede  $\text{Mg}^{2+}$ 'a bağımlı  $\text{Na}^+$  girişi de vardır.

Ardından tüm bu iyonları içeren  $2\text{Na}^+ + 2\text{K}^+ + 2\text{Cl}^- : 1 \text{ Mg}^{2+}$  değişim modeli oluşturmuşlardır (50).

## 2.5 BEYİNDE TRAVMA SONRASI MAGNEZYUM

Beyin travması çalışmalarında manyetik rezonans spektroskopi ile yapılan ölçümelerde travma sonrası serbest  $\text{Mg}^{2+}$  konsantrasyonu ortalama olarak  $0.8 \pm 0.1 \text{ mM}$  olarak belirlenmiştir. Travmatik beyin hasarından sonra serbest  $\text{Mg}^{2+}$  konsantrasyonu yaklaşık % 60 oranında azalmaktadır. Bu çalışmalarda travma sonrası 6 saat içerisinde  $\text{Mg}^{2+}$  miktارında herhangi bir artış belirlenmemiştir, ancak 7. günden itibaren travma öncesi düzeyine yükseldiği görülmüştür. Toplam doku  $\text{Mg}^{2+}$  miktارındaki azalmanın derecesinin nörolojik sonuç ile doğrudan ilişkili olduğu ortaya konmuştur. Diyet sonucu beyin serbest  $\text{Mg}^{2+}$  konsantrasyonu azaldığında orta derecede travma sonrası aşırı bir hasarın oluştuğu, zıt olarak hasardan önce  $\text{Mg}^{2+}$  konsantrasyonu artırıldığında nöron koruma sağladığı belirlenmiştir (48).

Bedendeki 300'den fazla enzim yaklaşık 1 mM  $\text{Mg}^{2+}$  konsantrasyonunda optimum aktivite göstermektedir. Bu nedenle serbest  $\text{Mg}^{2+}$  konsantrasyonundaki herhangi bir değişim metabolik kontrolün yitirilmesine neden olabilemektedir. Bu enzimler arasında glikoliz, Krebs döngüsü ve iyon dengesini düzenleyen enzimler yer almaktadır.  $\text{Mg}^{2+}$  miktارının 0.25 mM'ın altına düşmesi durumunda DNA transkripsiyonu, RNA oluşumu ve protein sentezi de baskılanacaktır.  $\text{Mg}^{2+}$  aynı zamanda kalsiyum kanallarının doğal antagonistidir ve  $\text{Mg}^{2+}$  konsantrasyonundaki her azalma kalsiyum konsantrasyonunda artışa neden olacaktır. Böyle bir etki beyindeki vazospastik cevapta artışın ve kan akımındaki bölgesel azalmaların kaynağını oluşturmaktadır (48).

Travma sonrası  $Mg^{2+}$  miktarında ciddi azalma varsa, sitozolik fosforilasyon yeteneği yaklaşık % 40 oranında azalmaktadır. Bu azalma  $Na^+/K^+$  ATPaz fonksiyonu gibi son derece önemli olayları etkilemektedir. Sonuçta,  $Mg^{2+}$  miktarındaki azalma zar bütünlüğünü ve geçirgenliğini bozmaktadır. Normal koşullarda, fosfolipid yıkımı ve sentezi arasında mükemmel bir denge vardır. Patofizyolojik koşullarda ise bu denge bozulmakta ve sentez azalırken, yıkım artmaktadır. Sentez miktarı,  $Mg^{2+}$  miktarı ile doğrudan ilişkilidir.  $Mg^{2+}$ 'da herhangi bir azalma durumunda serbest yağ asitleri ve serbest radikallerin miktarı artış göstermektedir (48).

$MgSO_4$ 'ın iskemi ve travma nedeniyle oluşan nöronal hasarı önlediği gösterilmiştir (18,39,43). Deneysel omurilik iskemisinden sonra da  $Mg^{2+}$  tedavisi nörolojik disfonksiyonu iyileştirmiştir (51).  $Mg^{2+}$ 'un nöroprotektif etkisi çeşitli mekanizmalarla açıklanabilir. Birincisi, kan akımı üzerine etkisidir. Damar düz kasında  $Ca^{2+}$  akışını azaltarak doz bağımlı bir vazodilatasyon yapmaktadır. Bunun dışında  $Ca^{2+}$  ile yarışarak hücre içindeki  $Ca^{2+}$  birikimini ve böylece hücre ölümünü engellemektedir. Ayrıca trombosit agregasyonunu azaltarak, dolaşımı sağlamaktadır.  $Mg^{2+}$ 'un hiperglisemik etkisi de nöron koruma özelliğini artırabılır (43).

İskemi ve anoksi sırasında hücre içine  $Ca^{2+}$  girişinin arttığını gösterilmesi üzerine Kass ve arkadaşları hipokampal kesit modelinde, nöronlar üzerinde anoksik hasar oluşturmuşlardır (35). Bu modelde, nöron içine  $Ca^{2+}$  girişini engelleyen nimodipin,  $Mg^{2+}$  ve kobalt kullanarak, bu maddelerin koruyuculuk oranlarını araştırmışlardır. 2 mM kobalt ve 10 mM  $Mg^{2+}$  hipokampusteki nöronal iletinin normale dönmesini hızlandırırken, nimodipin herhangi bir etki oluşturmamıştır. Anoksi sırasında ATP miktarındaki azalma, ortamda  $Mg^{2+}$  bulunurken iyileşme göstermiş; oysa nimodipin hücresel ATP miktarı üzerinde de koruyucu bir etki oluşturamamıştır. V79 ve BAL/3T3 fibroblastları üzerinde yapılan bir araştırmada  $Mg^{2+}$ 'un nikelin uyardığı sitotoksitesi ve reaktif oksijen türevlerini azalttığı gösterilmiştir (32). Kültürü yapılmış endotel hücrelerinde de  $Mg^{2+}$  eksikliğinin  $H_2O_2$  salınımını artırarak, GSH'ı ve katalaz aktivitesini azaltarak, hücreçi antioksidan sistemini kötü yönde etkilediği bulunmuştur (65).

## 2.6 LAZAROIDLER

İskemi ya da travma sonrası oluşan eksitotoksik mekanizma sonucunda hücreyi  $\text{Ca}^{2+}$  miktarı artış göstermektedir. Bu artış, fosfolipaz A<sub>2</sub>'nin aktifleşmesine, araşidonik asit birikimine ve araşidonik asidin lipoksijenaz ve sikloooksijenaz metabolizması ile serbest radikal üretimine neden olmaktadır. Yine  $\text{Ca}^{2+}$ 'un aktifleştirdiği proteoliz ile ksantin dehidrojenazı ksantin oksidaza dönüşümü, ardından hipoksantin ya da ksantinin ürikaside okside olması ile süperoksit radikali oluşmaktadır.  $\text{Ca}^{2+}$ -kalmodulin ile nitrik oksit (NO) oluşumu, NO'nun süperoksit anyonu ile reaksiyona girmesi, oldukça hasar verici radikal olan peroksinitrit oluşumuna neden olmaktadır (48). Lazaroidler (21-aminosteroidler) lipid peroksidasyon inhibitörü olan antioksidan ilaçlardır. Son yıllarda lazaroïdlerin hücre koruyucu mekanizmalarını belirlemek ve tedavi edici yönlerini değerlendirmek üzere birçok çalışma yapılmıştır. Karaciğer hasarı ve kalp kası değişimlerinde koruyucu olsa, NMDA toksisitesi, iskemi ve siyanid toksisitesini engellediği bu çalışmalarla ortaya konmuştur. Antioksidan özellikleri geliştirilmiş yeni lazaroïd bileşikleri geliştirilmiştir. Bunun için diğer 21-aminosteroidlerin bis-pyrrolidinyl-pyrimidinyl piperazine kısmına alfa-tokoferol halkası eklenmiş ve tirilazad sentezlenmiştir. Beklendiği üzere bu bileşikler (U-78517F ve onun stereoizomerleri olan U-83836E ve U-83836F) MSS hasarında E vitaminine göre çok daha güçlü bir etki oluşturmuştur (55). Lazaroidlerin bir grubu beyin kapiller endotelinde lokalize olma özelliğine sahipken, daha sonra geliştirilen bir grubu kan beyin engelini geçebilme özelliğine sahiptir (örneğin, U-83836E) (45). [(-)-2-[[4-(2,6-di-1-pyrrolidinyl-4-pyrimidinyl)-1-piperazinyl]-methyl]-3,4-dihydro-2,5,7,8-tetramethyl-2H-1-benzopyran-6-ol(dihydrochloride)] lazaroïd U-83836E etkili bir 'OH radikali tutucusudur. Hipoksi/yeniden oksijenlendirmeye maruz bırakılan endotel hücrelerinde U-83836E radikallerin indüklediği zar lipid peroksidasyonunu engellemektedir (45). Yaptığımız bir araştırmada, lazaroïdlerin (U-83836E ve U-74389G) düşük dozlarda koruyucu iken, 10  $\mu\text{M}$ 'dan daha yüksek dozlarda antiproliferatif etkiye sahip olduğunu ortaya koyduk (16).

Sıçan embriyonik mezensefalik nöronları üzerinde in vitro yapılan bir çalışmada U-83836E'nin glutatyon sentez inhibisyonunun ardından ölümü engellediği gösterilmiştir (24). Sıçan beyincik granül hücrelerinde de glutamat toksitesinin ardından U-83836E reaktif oksijen türevlerinin oluşumunu azaltırken, eksitotoksite karşısında ancak kısmi koruyuculuk sağlamıştır (55). Diğer bir hücre kültürü çalışmasında U-83836E ve U-74389G sıçanlara implante edilen dopaminerjik nöronların yaşam süresini kontrole göre % 265 oranında arttırmıştır (34).

## 2.7 HÜCRE ÖLÜMÜ

Organizmadaki hücrelerde iki tip hücre ölümü tanımlanmıştır. Akut bir hasar sonucu kaza ile ölen hücrelerin genellikle önce şiştiği ve ardından parçalandığı bildirilmiştir. Ayrıca içeriklerini hücredişi ortama salarak inflamasyona neden olmaktadır. Bu şekilde meydana gelen ölüm nekroz olarak isimlendirilmektedir. Programlı hücre ölümü ise embriyonik gelişimde ve ergin dokuların devamlılığında önemli rol oynayan, hücre ölümünün fizyolojik şeklini oluşturmaktadır. Yetişkinlerde programlı hücre ölümü, hücre döngüsü devam eden dokularda sabit hücre sayısının sürdürülmesi ve hücre çoğalmasının dengelenmesinden sorumlu olan ölüm tipini luşturmaktadır. Örneğin, insanda günlük  $5 \times 10^{11}$  kan hücresi elimine edilmekte ve kemik iliğindeki üretimi dengelenmektedir. Ayrıca programlı hücre ölümü ile hasar görmüş ve zarar oluşturabilecek hücreler yok edilerek, organizmanın bir bütün olarak korunması sağlanmaktadır. Virüs ile enfekte hücreler sıklıkla programlı hücre ölümü altında bulunmaktadır. DNA hasarı geçirmek suretiyle, potansiyel olarak zararlı mutasyonlar taşıyan hücreler yok olmaktadır. Programlı hücre ölümünün diğer iyi tanımlanmış örneği ise memeli sinir sisteminde bulunmaktadır. Organizmada nöronlar çok fazla sayıda üretilmekte ve % 50'den fazlası programlı hücre ölümü ile yok edilmektedir. Hücrelerin akut bir hasar ile ölümünden zıt olarak programlı hücre ölümü aktif bir olaydır ve apoptoz olarak bilinen morfolojik değişim göstermektedir. Apoptoz sırasında DNA genellikle parçalanmakta, kromatin yoğunlaşmakta ve çekirdek apoptotik cisimler denen zar ile çevrelenmiş parçalara ayrılmaktadır. Apoptoz geçiren hücreler ve hücre parçaları böylece kolayca tanınmakta ve fagosite edilmektedirler (19).

### **3. GEREÇ VE YÖNTEM**

#### **3.1 HÜCRELERİN ÜRETİLMESİ**

##### **3.1.1 C6 hücrelerinin üretilmesi**

Sıvı nitrojen içinde dondurulmuş olarak saklanan C6 hücreleri, oda sıcaklığında çözündükten sonra 1:1 oranında Dulbecco's Modified Eagles Medium (DMEM, Sigma) : nutrient mixture (F-12, Sigma), % 10 fetal dana serumu (Sigma) ve % 1 penisilin+streptomisin (Sigma) karışımını içeren santrifüj tüpü içinde 1000 devir/dk, 4 °C'de 5 dk santrifüj edildi. Üstteki süpernatan atılarak dondurma işleminde kullanılan dimetil sülfovksit (DMSO) uzaklaştırıldı. Dipteki hücreler, yukarıda belirtilen besiyeri bulunan 75 cm<sup>2</sup> flasklar içerisinde % 5 CO<sub>2</sub>, 37 °C ve % 100 nem içeren inkübatorde çoğaltıldı ve hücreler flask tabanını % 85-90 oranında kaplayınca (ortalama 3 gün) deneye alındı.

##### **3.1.2 İnsan glioblastoma multiforme hücrelerinin üretilmesi**

Beyin ameliyatı sırasında elde edilen iki hastaya ait glioblastoma multiforme tümör örnekleri histopatolojik olarak değerlendirildi ve kalan tümör dokuları hücre kültürü yapmak üzere kullanıldı. Tümör örnekleri steril bir petri içinde, Ca<sup>2+</sup> ve Mg<sup>2+</sup> içermeyen sodyum fosfat tamponu (PBS, Sigma) ile yıkandıktan sonra bistüri ile parçalandı ve enzimatik ayırtırma için Chen ve Mealey'in yöntemi izlendi (10). Bu amaçla hücre kümeleri % 0.25'lik tripsin-etenil diamin tetra asetikasit (EDTA) sıvısı (Sigma) ile 37 °C'de 10-15 dk inkübe edildikten sonra 10 ml'lik pipet içine çekip bırakarak hücreler ayırtırıldı. Tripsinin etkisi ortama besiyeri eklenerek yok edildi ve hücreler 4 °C, 1000 devir /dk'da 5 dk santrifüj edildi. Üstteki sıvı kısım atıldıktan sonra kalan hücreler 75 cm<sup>2</sup>'lik flasklar içine ekildi. İçinde 1:1 oranında DMEM ile F-12, % 10 fetal dana serumu ve % 1 penisilin+streptomisin bulunan besiyeri ile beslendi (59). Kültürler % 5 CO<sub>2</sub>, 37 °C ve % 100 nem içeren inkübatorde, hücreler flaskın tabanını kaplayıncaya kadar (13-18 gün) inkübe edildi ve haftada 2-3 kez beslendi.

Lamel üzerinde çoğaltılan tek sıralı hücrelerin glial kökenli olup olmadıkları, GFAP antikoru (Sigma) ile boyanarak ispatlandı (21). Elde edilen hücrelerin bir kısmı deneye alınırken, kalani daha sonraki deneylerde kullanılmak üzere sıvı nitrojende donduruldu. Deneylerimizde dondurulmuş olarak saklanan bu hücreler, yukarıda anlatılan yöntemle çözülüp, aynı besiyeri içerisinde üretilerek elde edildi.

### 3.2 HÜCRELERİN DENEYE ALINMASI

Gerek C6 gerekse glioblastoma multiforme monolayer kültürleri, ,  $\text{Ca}^{2+}$  ve  $\text{Mg}^{2+}$  içermeyen Hank's Balanced Salt Solusyonu (HBSS, Sigma) ile yıkandı ve % 0.25 tripsin-EDTA uygulanarak tabandan kopmaları sağlandı. Hücreler 4 °C, 1000 devir /dk'da 5 dk santrifüj edilerek Coulter marka sayıcı ile sayıldı. Hücrelerin canlı olup olmadıkları tripan mavisi kullanılarak belirlendi ve % 98'den fazlasının canlı olduğu bulundu. Hücreler 96 gözenekli kültür kapları içine, her bir gözenegi  $2 \times 10^4$  hücre denk gelecek şekilde ve on gözenekte kontrol, on gözenekte her bir ilaç dozu olacak şekilde ekildi. 24 saat inkübasyon süresinin ardından hücreler çalışmamızda kullandığımız ilaçlarla muamele edildi.

#### 3.2.1 İlaçların hazırlanması ve MTT yöntemi

L-glutamat PBS içinde çözüldü ve hesaplanan miktarlarda doğrudan stok çözeltiden alınarak hücreler üzerine eklendi. U-83836E'nin 20 mM stok solusyonunu elde etmek için DMSO içinde çözüldü. Sonra 2.5 mM stok solusyon oluşturacak şekilde yağ asidi içermeyen 30 mg/ml bovine serum albumin (Sigma) ile seyreltildi. Yine bovine serum albumin kullanılarak, stok solusyondan 1:10 oranında seri seyreltiller yapıldı ve 250  $\mu\text{l}$  besiyerine eklendiğinde U-83836E'nin 0.1 ve 1  $\mu\text{M}$ 'lık dozları elde edildi (25).  $\text{MgSO}_4$  F-12 içinde çözüldü ve seyreltiller yapıldı. Kullanılan tüm çözeltiler her deneyden önce kesinlikle taze olarak hazırlandı.

Deney grupları:

1. Kontrol grubu: Sadece besiyeri verilen grup.
2. L-glutamat grubu: % 50 öldürücü dozunu belirlemek üzere 10-25 mM arası dozlarda denendi.

3. L-glutamat + MgSO<sub>4</sub> grubu: L-glutamatın % 50 öldürücü dozu ile birlikte 0.01, 0.1 ve 1 mM dozlarında MgSO<sub>4</sub> kullanıldı (65).
4. L-glutamat + U-83836E grubu: L-glutamatın % 50 öldürücü dozu ile birlikte 0.1 ve 1 µM dozlarında kullanıldı (16).

Öncelikle hücreler üzerinde L-glutamatın % 50 öldürücü dozu belirlendi. L-glutamatın IC<sub>50</sub> (inhibitory concentration) değeri tüm ara dozların denenmesi ile bulundu. Elde edilen dozda L-glutamat 24 saat süreyle uygulandı, ardından uzaklaştırıldı ve MgSO<sub>4</sub> veya U-83836E dozları besiyerine eklendi. 24 saatin sonunda, ilaçların hücreler üzerindeki sitotoksitesi Mosmann tarafından tanımlanan ve Alley tarafından geliştirilen 3-(4,5-Dimethylthyazol-2-yl)-2,5-diphenyltetrazolium bromide; thiazolyl blue (MTT, Sigma) spektrofotometrik yöntemi ile belirlendi (1, 46). MTT her deneyden önce taze olarak 5 mg/ml PBS içinde hazırlandı ve 0.22 µm filtre kullanılarak steril filtre edildi. Her 250 µl besiyeri içine 25 µl MTT solüsyonu eklenderek 37 °C'de 4 saat inkübe edildi. İnkübasyon süresinin ardından tüm besiyeri 96 gözenekli kültür kabının her gözeneğinden alındı ve 100 µl DMSO her gözeneğe eklenderek, kültür kapları çalkalanarak 2-3 dk bekletildi. Oluşan formazan boyalı absorbansı kültür kabı okuyucusu (Biological Instruments) ile 550 nm'de okundu. Yapılan tüm deney grupları en az 3 kez tekrar edildi.

Canlı hücrelerin mitokondrisinde oluşan ve MTT'nin ürünü olan formazan yaşayan hücre sayısı ile korelasyon gösterdiginden (7, 46), MTT analizi kontrol gözeneklerinde hücre büyümesinin yoğunluk sınırlaması gerçekleşmeden önce yapıldı. İlaç verilen gözeneklerde okunan optik yoğunluk kontrole göre yaşayan hücrelerin yüzdesine çevrildi. Bu işlem için aşağıdaki formül kullanıldı:

Her bir gözenekteki ilaç verilen hücre absorbansı x 100

Kontrol hücrelerinin ortalama absorbansı

Elde edilen veriler kontrolün ortalama % fraksiyonu ± standart hata şeklinde ifade edildi. İstatistiksel değerlendirme tek yönlü varyans analizi ve ardından Tukey'in çok yönlü karşılaştırma testi ile gerçekleştirildi.

### 3.2.2 C6 ve insan glioma hücrelerinde kalsiyum ve magnezyum denemeleri

Glioma hücreleri üzerinde  $\text{Ca}^{2+}$  ve  $\text{Mg}^{2+}$ 'un etkilerini daha iyi irdeleyebilmek için yeni bir strateji geliştirdik. Bu amaçla içeriğinde  $\text{Ca}^{2+}$  veya  $\text{Mg}^2$  bulunmayan DMEM-F-12 besiyeri kullandık.  $\text{Ca}^{2+}$  denemeleri için, hücreler deneye alındıktan ve 24 saat inkübasyon süresinin sonunda, 24 saat süreyle % 50 öldürücü dozda L-glutamat+ $\text{Ca}^{2+}$  'suz besiyeri (içine  $\text{Mg}^2$  eklendi), L-glutamat+EDTA, L-glutamat+heparin, L-glutamat+10 mM  $\text{Ca}^{2+}$  ve L-glutamat+50 mM  $\text{Ca}^{2+}$  uygulaması yapıldı. 24 saatin sonunda ortamdan sadece L-glutamat uzaklaştırıldı ve 24 saat daha  $\text{Ca}^{2+}$  'suz besiyeri, EDTA, heparin, 10 mM  $\text{Ca}^{2+}$  ve 50 mM  $\text{Ca}^{2+}$  uygulamasına devam edildi. 24 saatin sonunda MTT testine alındı. Heparin, inositol 1,4,5 trifosfat kapılı kalsiyum kanal antagonisti ve EDTA hücre dışındaki kalsiyumun tutucusu olduğu için kullanıldı (38).

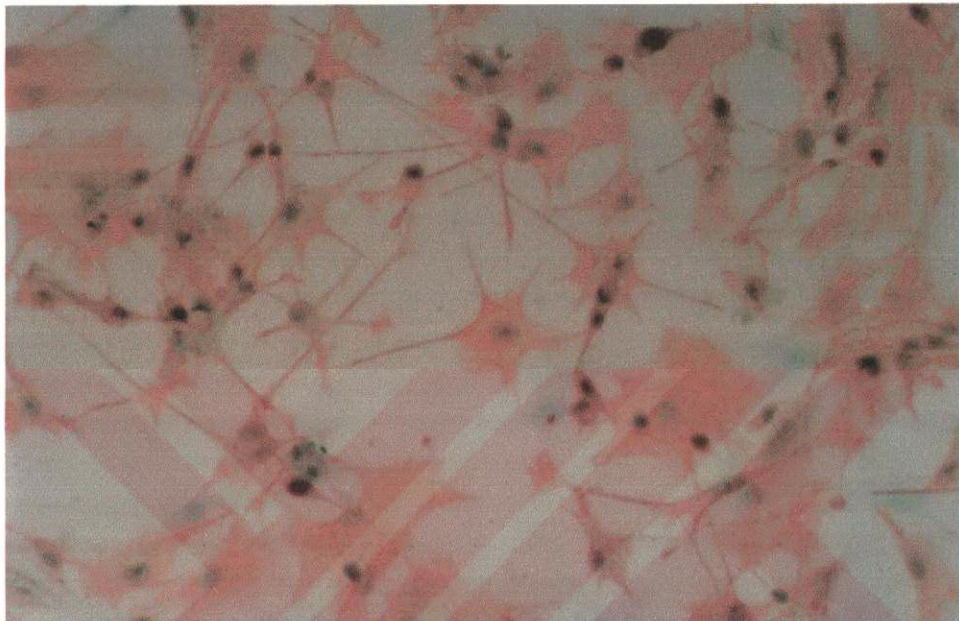
İlk 24 saat	İkinci 24 saat
L-glutamat + $\text{Ca}^{2+}$ 'suz besiyeri ( $\text{Mg}^{2+}$ var)	$\text{Ca}^{2+}$ 'suz besiyeri ( $\text{Mg}^2$ var)
L-glutamat + EDTA	EDTA
L-glutamat + Heparin	Heparin
L-glutamat + 10 mM $\text{Ca}^{2+}$	10 mM $\text{Ca}^{2+}$
L-glutamat + 50 mM $\text{Ca}^{2+}$	50 mM $\text{Ca}^{2+}$

$\text{Mg}^{2+}$  denemeleri için, içinde  $\text{Mg}^{2+}$  bulunmayan ( $\text{Ca}^{2+}$  eklendi) DMEM/F-12 kullanıldı. Hücreler deneye alındıktan ve 24 saatlik inkübasyon periyodunun ardından, 24 saat % 50 öldürücü dozda L-glutamat+  $\text{Mg}^{2+}$  uz besiyeri, L-glutamat+farklı  $\text{MgSO}_4$  dozları uygulandı. Sonraki 2 saatte sadece L-glutamat besiyerinden uzaklaştırıldı ve  $\text{Mg}^{2+}$ ,suz besiyeri veya  $\text{MgSO}_4$  uygulamasına devam edildi. Deneyin sonunda MTT testine alındı.

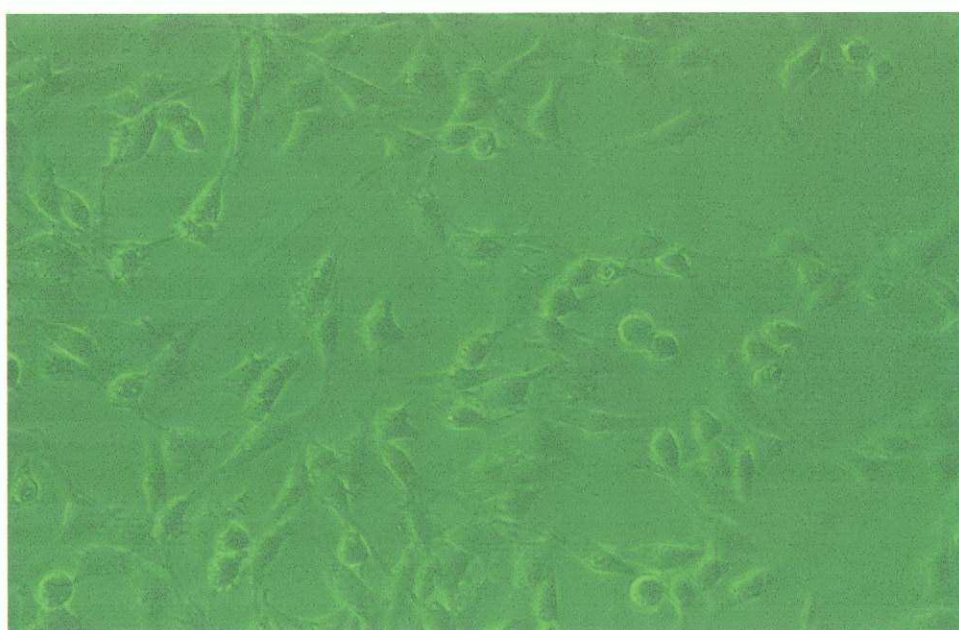
İlk 24 saat	İkinci 24 saat
L-glutamat + $\text{Mg}^{2+}$ ,suz besiyeri ( $\text{Ca}^{2+}$ var)	$\text{Mg}^{2+}$ ,suz besiyeri ( $\text{Ca}^{2+}$ var)
L-glutamat + 2 mM $\text{MgSO}_4$	2 mM $\text{MgSO}_4$
L-glutamat + 5 mM $\text{MgSO}_4$	5 mM $\text{MgSO}_4$
L-glutamat + 10 mM $\text{MgSO}_4$	10 mM $\text{MgSO}_4$
L-glutamat + 50 mM $\text{MgSO}_4$	50 mM $\text{MgSO}_4$
L-glutamat +100 mM $\text{MgSO}_4$	100 mM $\text{MgSO}_4$

#### **4. BULGULAR**

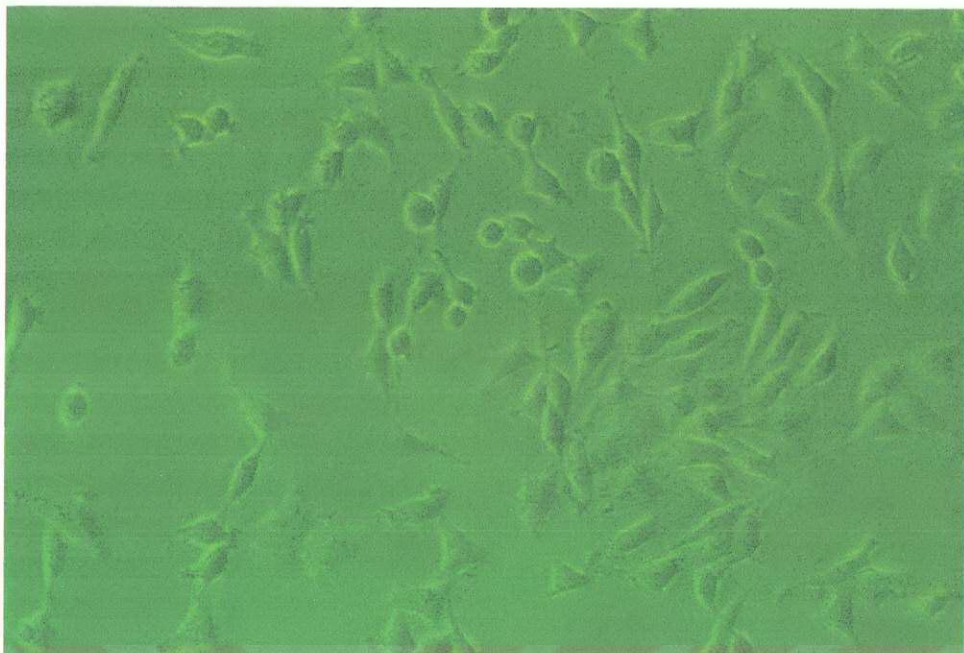
Hücrelerin glial kökenli olup olmadıkları GFAP'a karşı oluşturulan monoklonal antikor kullanılarak immunoperoksidaz boyamasıyla belirlendi ve % 80'den fazla hücrede pozitif bulundu (Şekil 4.1). C6 ve iki hastaya ait glioma hücrelerinin görüntüsü şekildeki gibiydi (Şekil 4.2, 4.3, 4.4).



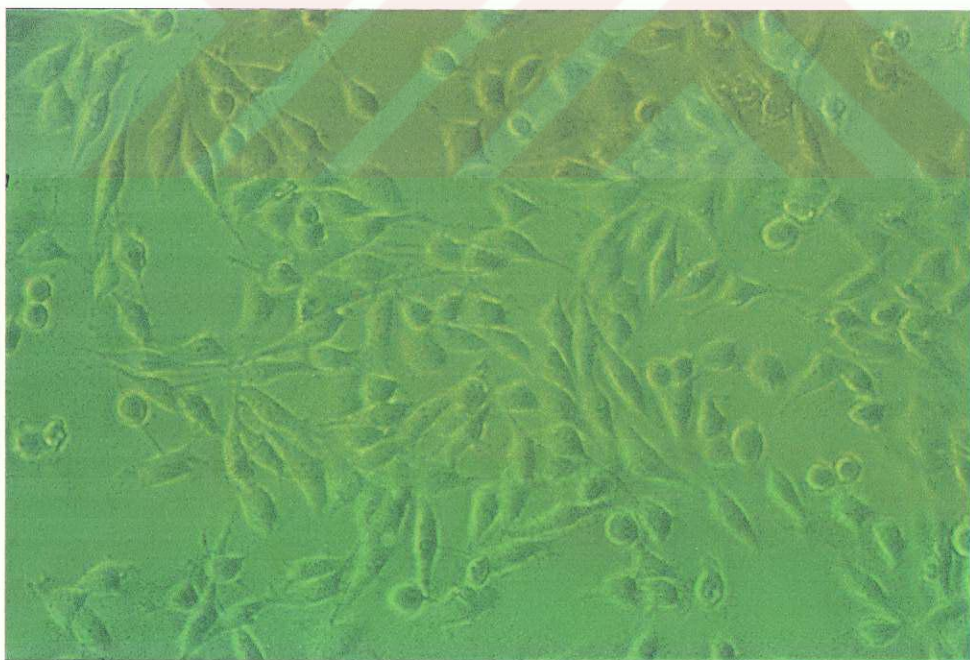
Şekil 4.1: GFAP (+) insan glioblastoma multiforme hücrelerinin genel görüntüsü (20x).



Şekil 4.2: C6 sıçan glioma hücrelerinin genel görüntüsü (20x).



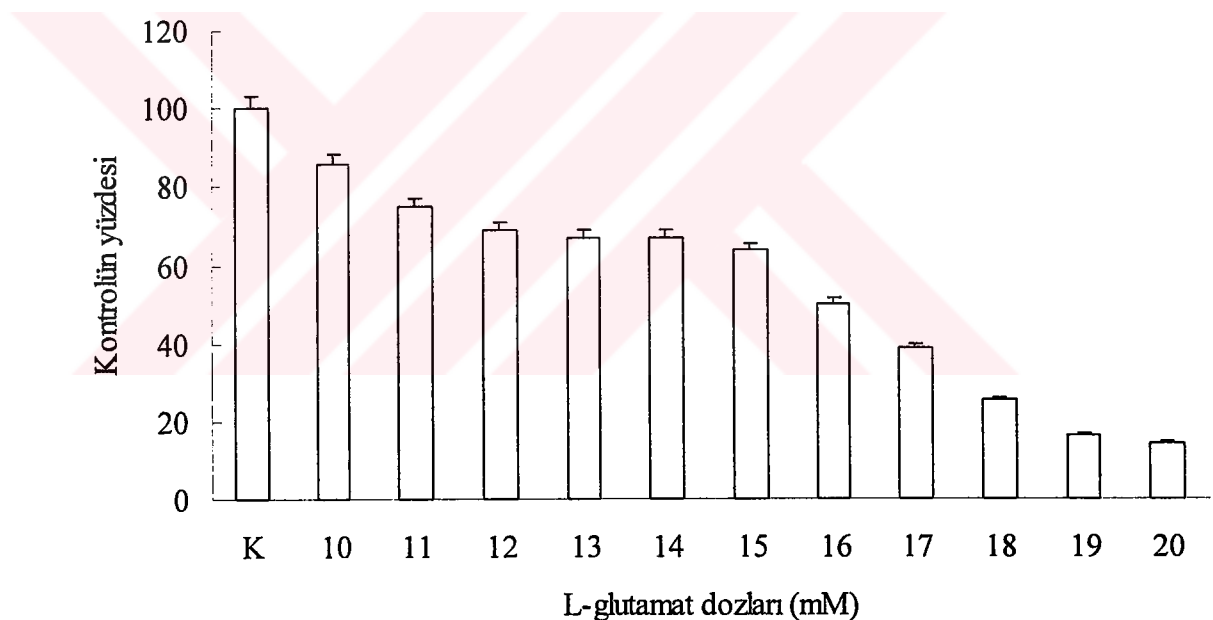
Şekil 4.3: Birinci hastaya ait insan glioblastoma multiforme hücrelerinin genel görüntüsü (20x).



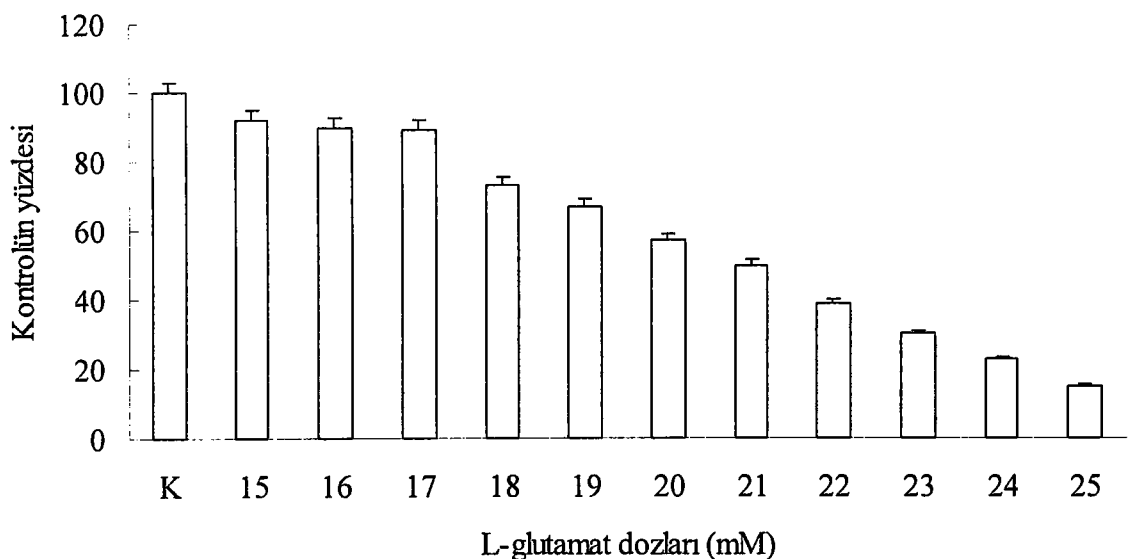
Şekil 4.4: İkinci hastaya ait insan glioblastoma multiforme hücrelerinin genel görüntüsü (20x).

#### 4.1. L-GLUTAMAT IC<sub>50</sub> DEĞERLERİ

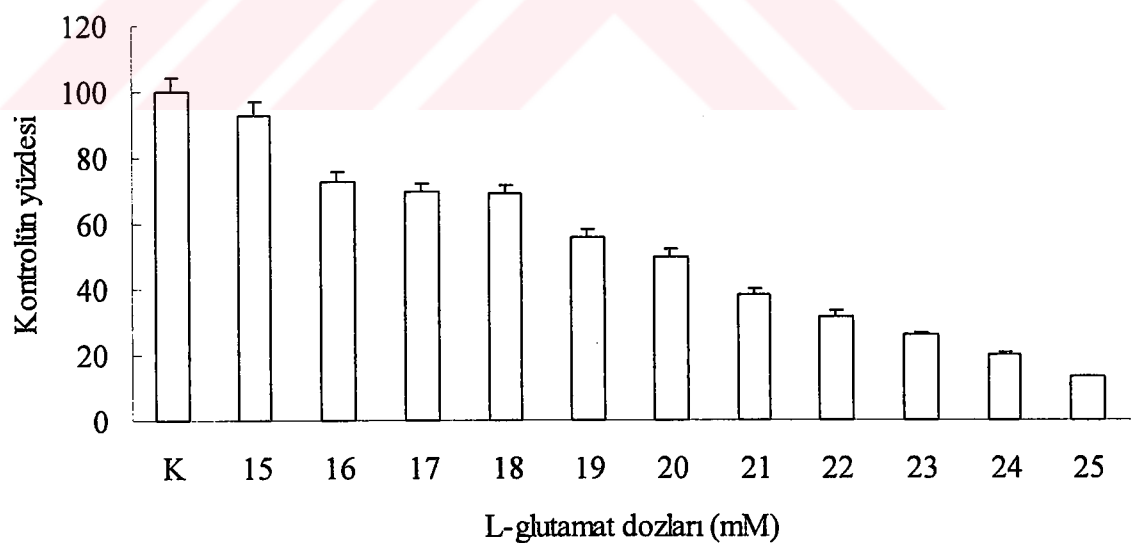
Farklı hücrelerin glutamat toksisitesine verdikleri yanıt değişim göstermekteydi. Hücrelerin % 50'sini öldüren L-glutamat konsantrasyonunu belirlemek için 10-25 mM arası L-glutamat dozları birer mM aralıklarla hücreler üzerinde denendi. C6 hücreleri üzerinde glutamatın % 50 öldürücü dozu (IC<sub>50</sub>) 16 mM, birinci hastaya ait insan glioma hücrelerinde 21 mM, ikinci hastaya ait insan glioma hücrelerinde ise 20 mM olarak belirlendi. IC<sub>50</sub> dozundaki glutamat grupları ile kontrol kıyaslandığında aralarında istatistiksel olarak anlamlı bir farklılık vardır ( $p<0.001$ , Şekil 4.5, 4.6, 4.7).



Şekil 4.5: C6 hücrelerinde 10-20 mM arası dozlardaki L-glutamatın hücre yaşam oranına etkisi ( $n=24$ ). Kontrol % 100 olarak kabul edilmiştir. IC<sub>50</sub> = 16 mM. K: Kontrol.

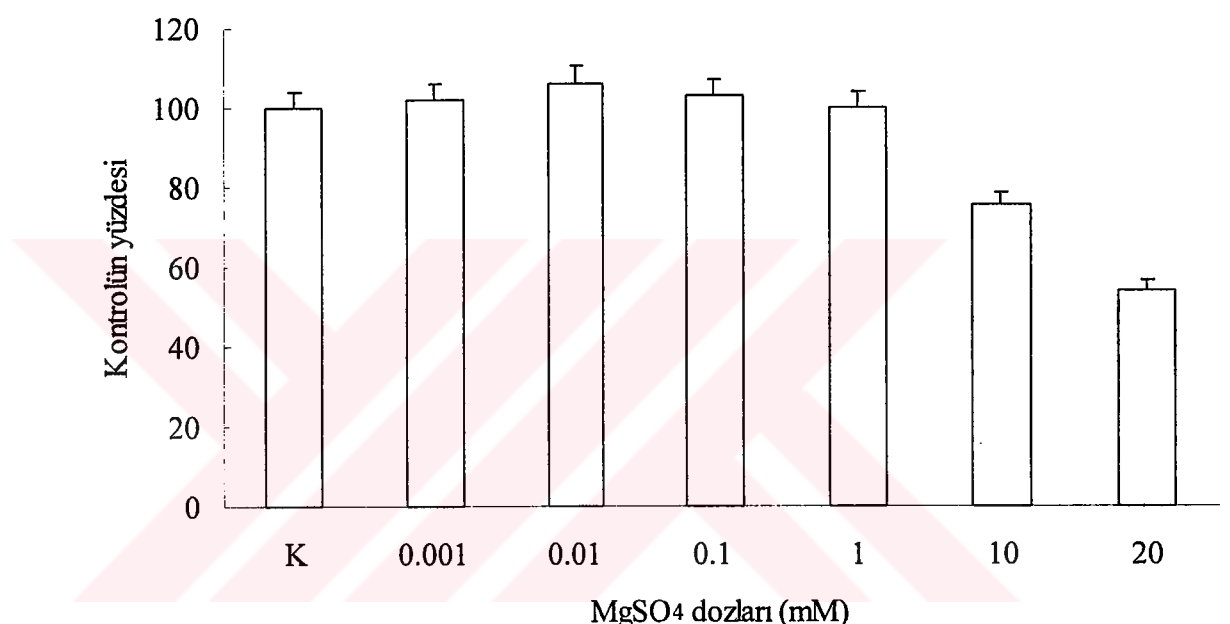


Şekil 4.6: Birinci hastaya ait insan hücrelerinde 15-25 mM arası dazlardaki L-glutamatın hücre yaşam oranına etkisi (n=24). Kontrol % 100 olarak kabul edilmiştir.  $IC_{50} = 21$  mM. K: Kontrol.



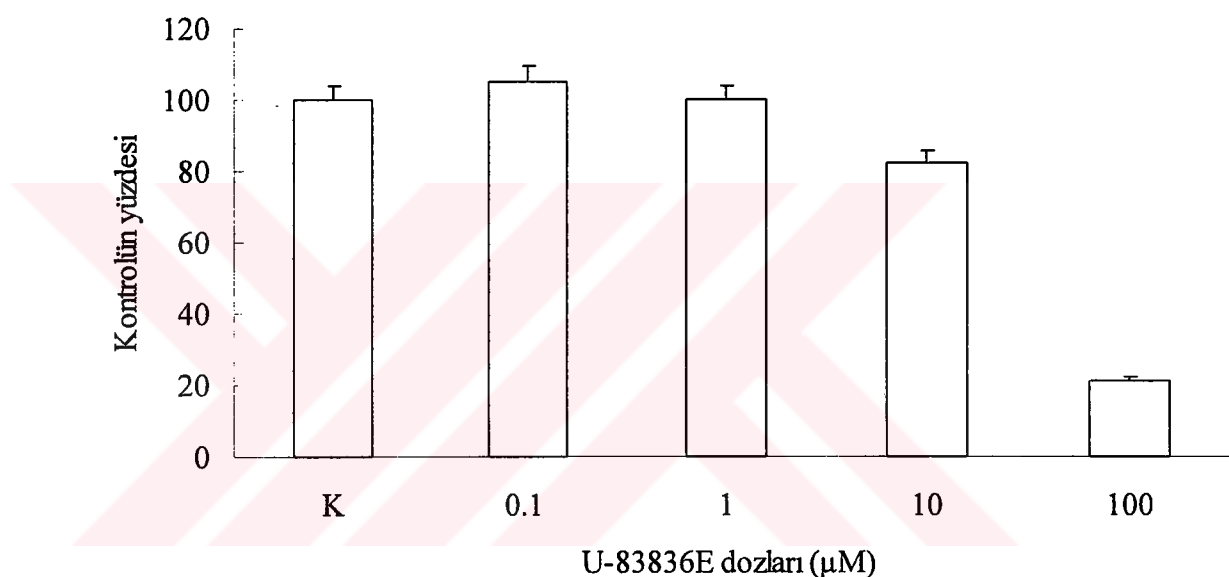
Şekil 4.7 : İkinci hastaya ait insan hücrelerinde 15-25 mM arası dazlardaki L-glutamatın hücre yaşam oranına etkisi (n=24). Kontrol % 100 olarak kabul edilmiştir.  $IC_{50} = 20$  mM. K: Kontrol.

L-glutamat ile birlikte  $MgSO_4$  uygulamasına geçilmeden önce üç hücre üzerinde  $MgSO_4$ 'ın tek başına hücre yaşam oranı üzerindeki etkisi test edildi. Sonuçlar üç farklı hücrede benzerdi.  $MgSO_4$  10 ve 20 mM dozlarında hücre çoğalmasını baskılayıcı yönde etki ettiğinden deney dışı bırakıldı. 0.01 ve 0.1 mM  $MgSO_4$ 'ın hafif de olsa proliferatif etkisi gözlandı. Bu bulgulara bakılarak  $MgSO_4$ 'ın 0.01, 0.1 ve 1  $\mu M$  dozlarının denenmesine karar verildi (Şekil 4.8).



Şekil 4.8: C6, birinci ve ikinci hastaya ait insan glioma hücrelerinin yaşam oranı üzerinde  $MgSO_4$ 'ın etkisi. Kontrol grubu % 100 olarak kabul edilmiştir ( $n=24$ ). K: Kontrol.

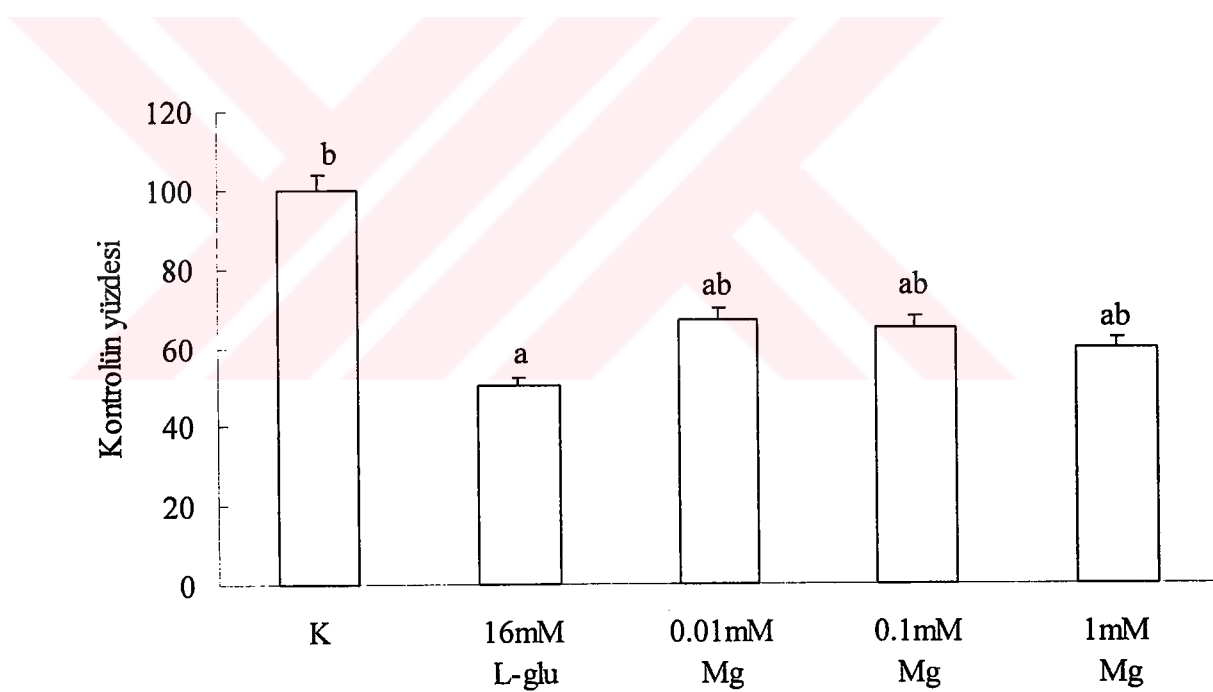
L-glutamat ile birlikte lazaroid U-83836E uygulamasına geçmeden önce, U-83836E'nin hücre yaşam oranları üzerindeki etkisini belirledik. Sonuçlarımız önceki lazaroidlerle ilgili makalemizde elde ettiğimiz sonuçlar ile uyumlu ve üç hücre serisinde de benzerdi (16). 0.1  $\mu\text{M}$ 'da hafif proliferatif etkili, 1 $\mu\text{M}$ 'da etkisiz, 10  $\mu\text{M}$ 'da hafif toksik ve 100  $\mu\text{M}$ 'da çok toksik etkili olduğu ortaya kondu. Bunun üzerine lazaroidin 0.1 ve 1  $\mu\text{M}$  olmak üzere antioksidan etkili iki dozun denenmesine karar verildi (Şekil 4.9).



Şekil 4.9: C6, birinci ve ikinci hastaya ait insan glioma hücrelerinin yaşam oranı üzerinde U-83836E'nin etkisi. Kontrol grubu % 100 olarak kabul edilmiştir (n=24). K: Kontrol.

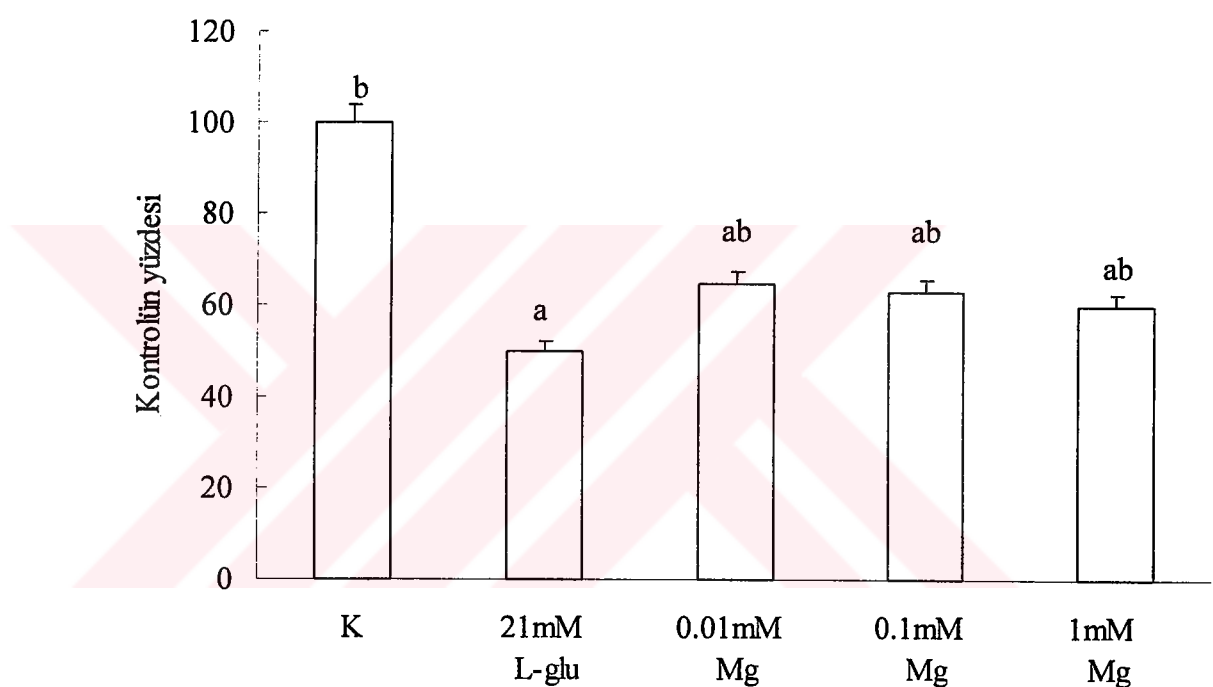
#### 4.2. MgSO<sub>4</sub> SONUÇLARI

L-glutamatın IC<sub>50</sub> dozu 24 saat süreyle hücrelere uygulandıktan sonra glutamat ortamdan uzaklaştırıldı ve 24 saat süreyle koruyucu amaçlı olarak 0.01, 0.1 ve 1 mM dozlarında MgSO<sub>4</sub> uygulaması yapıldı. 1 mM konsantrasyondaki MgSO<sub>4</sub>, C6 hücrelerindeki yaşam oranını % 50'den % 60'a, 0.1 mM dozunda % 65'e ve 0.01 mM dozunda % 67'ye yükseltti. Bu değerler hem kontrol grubu, hem de glutamat grubuna göre anlamlı bir fark göstermekteydi ( $p<0.001$ , Şekil 4.10). 0.01 mM ve 0.1 mM MgSO<sub>4</sub> grupları karşılaştırıldığında aralarında herhangi bir fark yokken ( $p>0.05$ ); 1 mM MgSO<sub>4</sub> grubu, 0.1 mM MgSO<sub>4</sub> grubundan ( $p<0.05$ ) ve 0.01 mM MgSO<sub>4</sub> grubundan farklılık göstermektedir ( $p<0.001$ ).



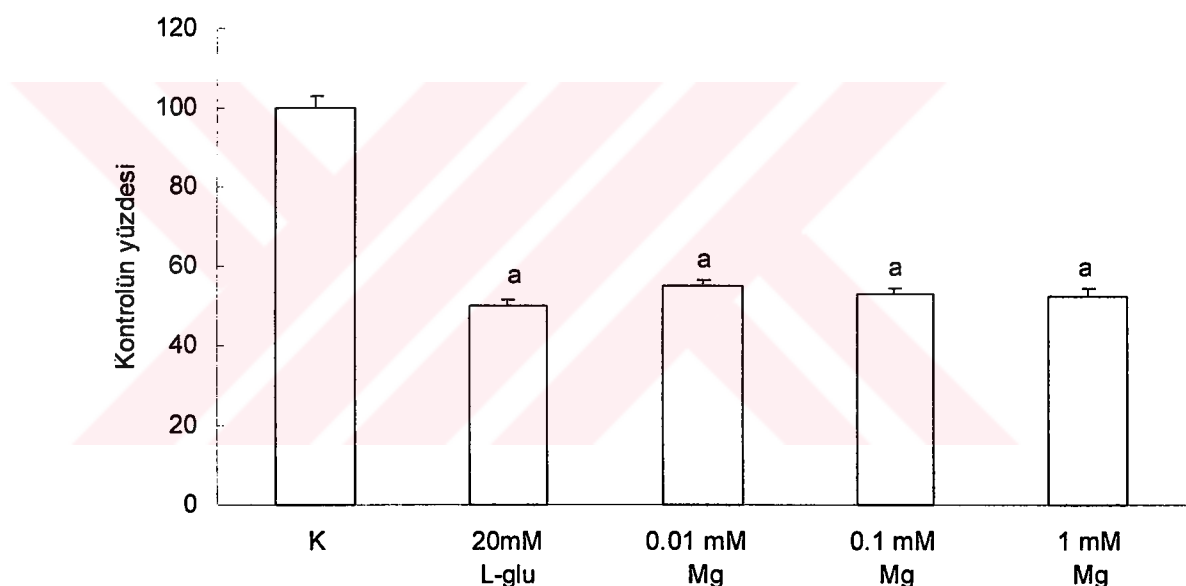
Şekil 4.10: 16 mM L-glutamat uygulamasının ardından verilen üç dozdaki MgSO<sub>4</sub>'ün C6 hücre yaşam oranı üzerindeki etkisi. Kontrol % 100 olarak kabul edilmiştir. a:  $p<0.001$ , tüm gruplar kontrol grubu ile, b:  $p<0.001$ , tüm gruplar L-glutamat grubu ile kıyaslandığında. Tüm deney grupları için  $n=24$ . K: Kontrol.

$\text{MgSO}_4$  birinci hastaya ait glioma hücrelerinde, 1 mM dozunda hücre yaşam oranını % 50'den % 60'a, 0.1 mM dozunda % 63'e ve 0.01 mM dozunda % 65'e yükseltti. Elde edilen bu değerler hem kontrol hem de sadece glutamat uygulanan grup ile karşılaştırıldığında istatistiksel olarak anlamlı bir farklılık gösterdi ( $p<0.001$ , Şekil 4.11). Oysa  $\text{MgSO}_4$ 'nın üç dozu kendi aralarında karşılaştırıldığında anlamlı bir fark gözlenmemiştir ( $p>0.05$ ).



Şekil 4.11: 21 mM L-glutamat uygulamasının ardından verilen üç dozdaki  $\text{MgSO}_4$ 'ün birinci hastaya ait glioma hücre yaşam oranı üzerindeki etkisi. Kontrol % 100 olarak kabul edilmiştir. a:  $p<0.001$ , tüm gruplar kontrol grubu ile, b:  $p<0.001$ , tüm gruplar L-glutamat grubu ile kıyaslandığında. Tüm deney grupları için  $n=24$ . K: Kontrol.

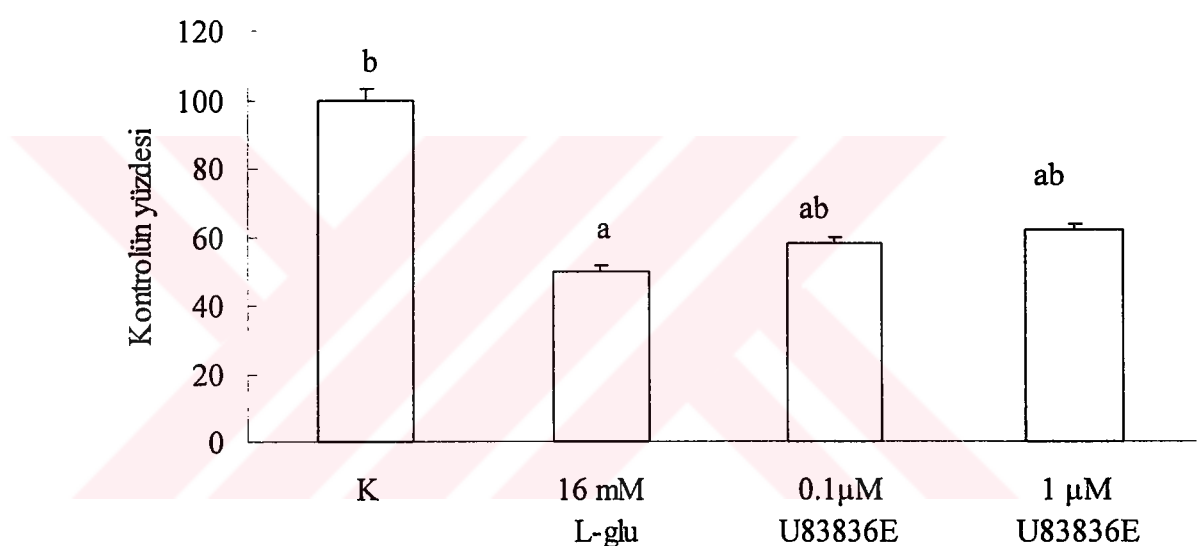
$\text{MgSO}_4$  ikinci hastaya ait glioma hücrelerinde, 1 mM dozunda hücre yaşam oranını % 50'den % 52.7'ye, 0.1 mM dozunda % 52.9'a ve 0.01 mM dozunda % 55'e yükseltti. Üç  $\text{MgSO}_4$  grubu kontrol grubu ile karşılaştırıldığında istatistiksel olarak anlamlı farklılık gösterdi ( $p<0.001$ ). Tüm  $\text{MgSO}_4$  grupları sadece L-glutamat uygulanan grup ile karşılaştırıldığında, hücre yaşam yüzdesinde bir artış olmasına rağmen, aralarında istatistiksel olarak anlamlı bir farklılık bulunamamıştır ( $p>0.05$ ). Yine  $\text{MgSO}_4$ 'ın üç dozu kendi aralarında karşılaştırıldığında anlamlı bir fark gözlenmemiştir ( $p>0.05$ , Şekil 4.12).



Şekil 4.12: 20 mM L-glutamat uygulamasının ardından verilen üç dozda  $\text{MgSO}_4$ 'ün ikinci hastaya ait glioma hücre yaşam oranı üzerindeki etkisi. Kontrol % 100 olarak kabul edilmiştir. a:  $p<0.001$ , tüm gruplar kontrol grubu ile kıyaslandığında. Tüm deney grupları için  $n=24$ . K: Kontrol.

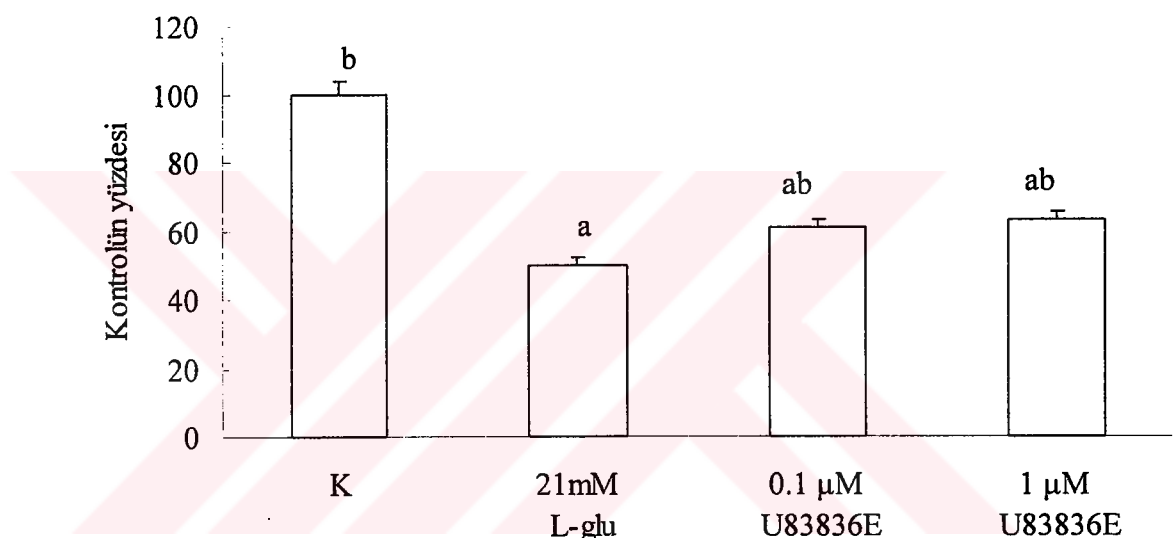
#### 4.3 U-83836E SONUÇLARI

24 saat IC<sub>50</sub> dozundaki glutamat uygulamasının ardından 24 saat süreyle verilen U-83836E, C6 yaşam oranını 0.1  $\mu$ M dozunda, % 8 ve 1  $\mu$ M dozunda ise % 12 oranında arttırdı. Bu değerler kontrol ve glutamat grubuna göre anlamlı farklılık gösterirken ( $p<0.001$ ); 0.1 ve 1  $\mu$ M U-83836E grupları arasında istatistiksel olarak anlamlı bir fark bulunmamıştır ( $p>0.05$ , Şekil 4.13).



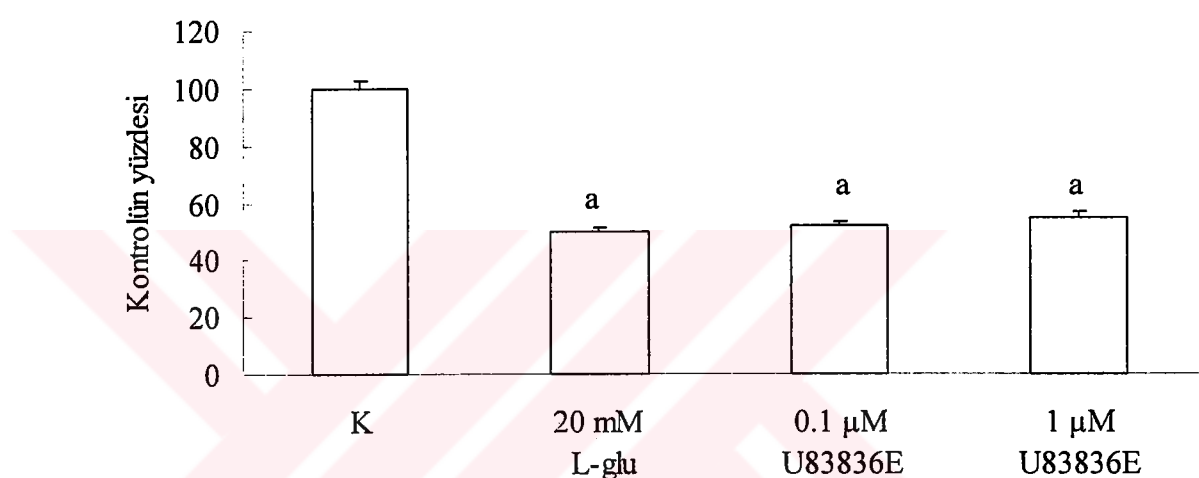
Şekil 4.13: 16 mM L-glutamat uygulamasının ardından verilen iki dozdaki U-83836E'nin C6 hücre yaşam oranı üzerindeki etkisi. Kontrol % 100 olarak kabul edilmiştir.a:  $p<0.001$ , tüm gruplar kontrol grubu ile b:  $p<0.001$ , tüm gruplar L-glutamat grubu ile kıyaslandığında. Tüm deney grupları için  $n=24$ . K: Kontrol.

Birinci hastaya ait glioma hücrelerinin yaşam oranını U-83836E, 0.1  $\mu\text{M}$  dozunda % 11 ve 1  $\mu\text{M}$  dozunda % 13 oranında arttırmıştır. Her iki dozdaki U-83836E'nin birinci hastaya ait insan glioma hücreleri üzerindeki etkisi, kontrol ve glutamat grupları ile karşılaştırıldığında anlamlı bir farklılık gösterirken ( $p<0.001$ ), iki doz birbiri ile karşılaştırıldığında, istatistiksel olarak anlamlı bir farklılık göstermemektedir ( $p>0.05$ , Şekil 4.14).



Şekil 4.14: 21mM L-glutamat uygulamasının ardından verilen iki dozdaki U-83836E'nin birinci hastaya ait glioma hücre yaşam oranı üzerindeki etkisi. Kontrol % 100 olarak kabul edilmiştir. a:  $p<0.001$ , tüm gruplar kontrol grubu ile b:  $p<0.001$ , tüm gruplar L-glutamat grubu ile kıyaslandığında. Tüm deney grupları için  $n=24$ . K: Kontrol.

İkinci hastaya ait glioma hücrelerinin yaşam oranını U-83836E, 0.1  $\mu$ M dozunda % 2 ve 1  $\mu$ M dozunda % 4.9 oranında arttırmıştır. Her iki dozdaki U-83836E'nin ikinci hastaya ait insan glioma hücreleri üzerindeki etkisi, kontrol grubu ile karşılaştırıldığında anlamlı bir farklılık gösterirken ( $p<0.001$ ), 20 mM L-glutamat grubu ile karşılaştırıldığında istatistiksel olarak anlamlı bir farklılık göstermemektedir ( $p>0.05$ , Şekil 4.15). İki lazroid dozu birbiri ile karşılaştırıldığında, aralarında anlamlı bir fark mevcut değildir ( $p>0.05$ ).



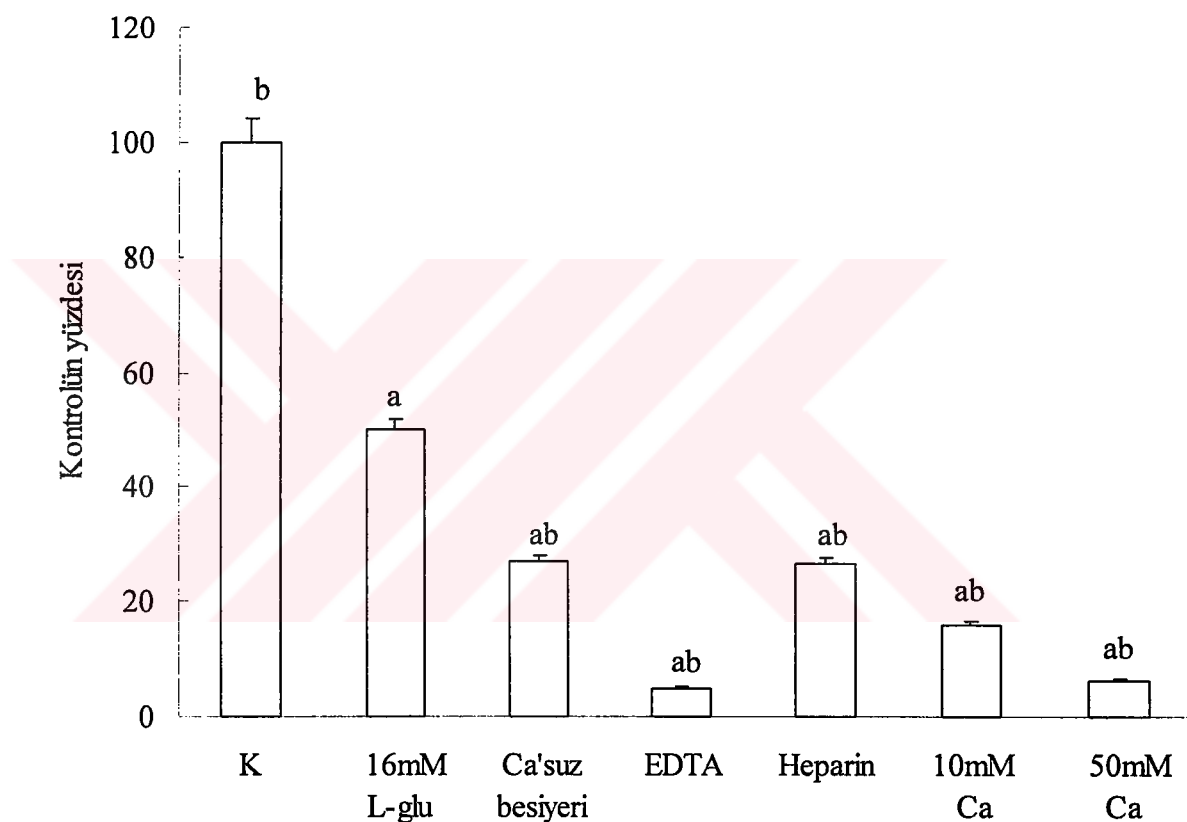
Şekil 4.15: 20mM L-glutamat uygulamasının ardından verilen iki dozdaki U-83836E'nin ikinci hastaya ait glioma hücre yaşam oranı üzerindeki etkisi. Kontrol % 100 olarak kabul edilmiştir.a:  $p<0.001$ , tüm gruplar kontrol grubu ile kıyaslandığında. Tüm deney grupları için  $n=24$ . K: Kontrol.

#### 4.1 KALSİYUM VE MAGNEYZUM VERİLERİ

##### 4.1.1 C6 glioma hücrelerinde kalsiyum ve magneyzum verileri

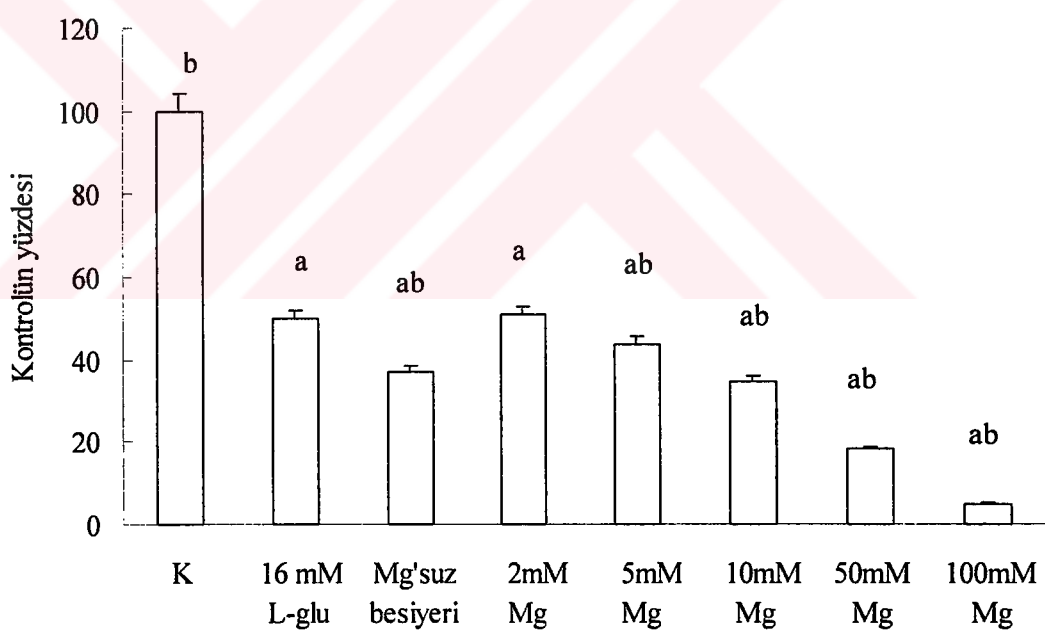
C6 sıçan glioma hücrelerinde  $Ca^{2+}$ 'un etkisini daha net gözleyebilmek için  $Ca^{2+}$  içermeyen DMEM/F-12 besi yeri kullanıldı. Sadece 16 mM L-glutamat uygulanan hücrelerin % 50'si yaşarken, L-glutamat+  $Ca^{2+}$  içermeyen DMEM/F-12 besi yeri kullanılan grupta % 27, L-glutamat+EDTA grubunda % 5, L-glutamat+heparin grubunda % 26.5, L-glutamat+10 mM  $Ca^{2+}$  grubunda % 16, L-glutamat+50 mM  $Ca^{2+}$

grubunda ise % 6.3'ünün yaşadığı görüldü. (Şekil 4.16). Kontrol grubu tüm gruplar ile karşılaştırıldığında istatistiksel olarak anlamlı bir farklılık bulunmaktadır ( $p<0.001$ ). Tüm gruplar 16 mM L-glutamat uygulanan gruptan anlamlı olarak farklıdır ( $p<0.001$ ). L-glutamat+  $\text{Ca}^{2+}$ ,suz besi yeri grubu ile L-glutamat+heparin grupları birbiriyle ve L-glutamat+EDTA ile L-glutamat+50 mM  $\text{Ca}^{2+}$  grupları birbiriyle kıyaslandığında aralarında anlamlı bir fark yoktur ( $p>0.05$ ). Bunun dışında diğer tüm gruplar arasında istatistiksel olarak fark vardır ( $p<0.001$ ).



Şekil 4.16: Önce 24 saat 16 mM L-glutamat+EDTA, L-glutamat+ heparin, L-glutamat+ $\text{Ca}^{2+}$ ,suz besi yeri, L-glutamat+10 mM  $\text{Ca}^{2+}$  veya L-glutamat +50 mM  $\text{Ca}^{2+}$  uygulanan, ardından 24 saatlik iyileşme döneminde sadece Ca'suz besiyeri, EDTA, heparin, 10 mM Ca veya 50 mM Ca verilen gruplardaki C6 hücre yaşam oranları. Kontrol grubu % 100 olarak kabul edilmiştir. a:  $p<0.001$ , tüm gruplar kontrol grubu ile b:  $p<0.001$ , tüm gruplar L-glutamat grubu ile kıyaslandığında. Tüm deney gruplarında en az  $n=24$ . K: Kontrol.

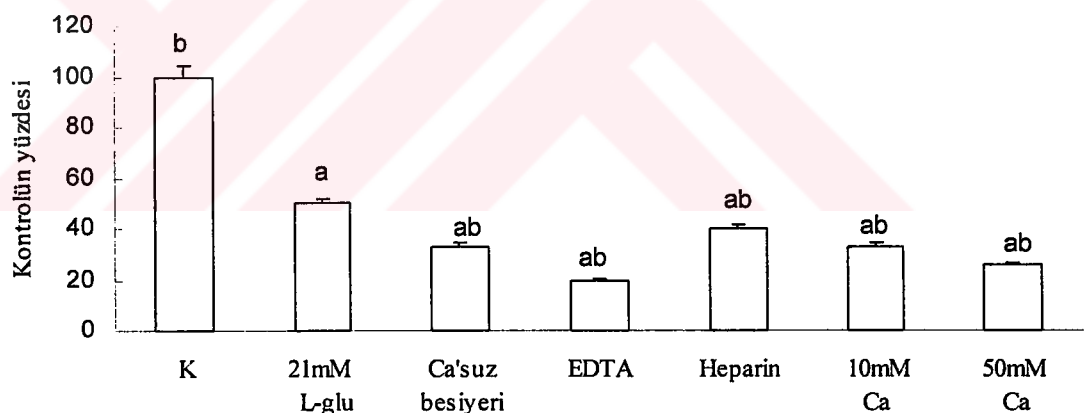
C6 hücrelerinde  $Mg^{2+}$  denemeleri için içeriğinde  $Mg^{2+}$  bulunmayan DMEM/F-12 kullanıldı. Sadece 16 mM L-glutamat uygulanan hücrelerin % 50'si yaşarken, L-glutamat+  $Mg^{2+}$  içermeyen DMEM/F-12 besi yeri kullanılan grupta % 36.8, L-glutamat+2 mM MgSO<sub>4</sub> grubunda % 50.7, L-glutamat+5 mM MgSO<sub>4</sub> grubunda % 43.9, L-glutamat+10 mM MgSO<sub>4</sub> grubunda % 34.4, L-glutamat+50 mM MgSO<sub>4</sub> grubunda % 18.1, L-glutamat+100 mM MgSO<sub>4</sub> grubunda ise %4.9'unun yaşadığı görüldü. (Şekil 4.17). Kontrol grubu tüm gruplar ile karşılaştırıldığında istatistiksel olarak anlamlı bir farklılık bulunmaktadır ( $p<0.001$ ). Tüm gruplar sadece 16 mM L-glutamat uygulanan gruptan 2 mM MgSO<sub>4</sub> grubu hariç anlamlı olarak farklıdır ( $p<0.001$ ). L-glutamat+  $Mg^{2+}$ ,suz besi yeri grubu ile L-glutamat+ 10 mM MgSO<sub>4</sub> grubu kıyaslandığında aralarında anlamlı bir fark yoktur ( $p>0.05$ ). Bunun dışında diğer tüm gruplar arasında istatistiksel olarak fark vardır ( $p<0.001$ ).



Şekil 4.17: Önce 24 saat 16 mM L-glutamat+ 2, 5, 10, 50, 100 mM MgSO<sub>4</sub>, ardından L-glutamatı uzaklaştırılmış MgSO<sub>4</sub> dozları uygulanmış C6 glioma hücrelerinin yaşam oranları. a:  $p<0.001$ , tüm gruplar kontrol grubu ile b:  $p<0.001$ , tüm gruplar L-glutamat grubu ile kıyaslandığında. Kontrol grubu % 100 olarak kabul edilmiştir. Tüm deney gruplarında en az n=24. K: Kontrol.

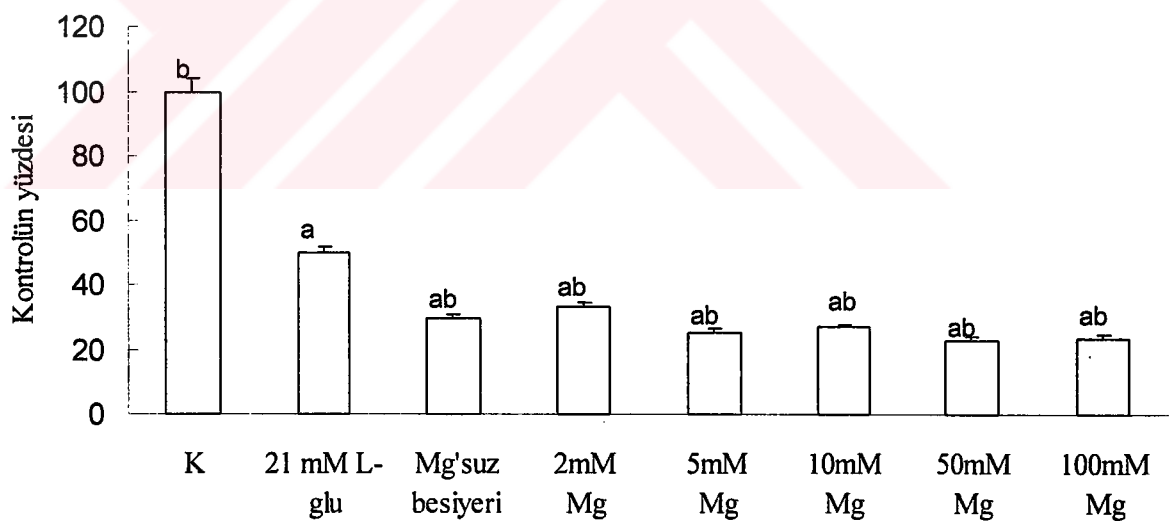
#### 4.1.2 Birinci hastaya ait insan glioma hücrelerinde kalsiyum ve magnezyum verileri

Birinci hastaya ait insan glioma hücrelerinde  $\text{Ca}^{2+}$  denemelerine devam edildi. Sadece 21 mM L-glutamat uygulanan hücrelerin % 50'si yaşarken, L-glutamat+  $\text{Ca}^{2+}$  içermeyen DMEM/F-12 besi yeri kullanılan grupta % 33, L-glutamat+EDTA grubunda % 19.4, L-glutamat+heparin grubunda % 40, L-glutamat+10 mM  $\text{Ca}^{2+}$  grubunda % 33.1, L-glutamat+50 mM  $\text{Ca}^{2+}$  grubunda ise % 25.7'sinin yaşadığı görüldü. (Şekil 4.18). Kontrol grubu tüm gruplar ile karşılaştırıldığında istatistiksel olarak anlamlı bir farklılık bulunmaktadır ( $p<0.001$ ). Tüm gruplar sadece 21 mM L-glutamat uygulanan gruptan anlamlı olarak farklıdır ( $p<0.001$ ). L-glutamat+  $\text{Ca}^{2+}$ ,suz besiyeri grubu ile L-glutamat+10 mM  $\text{Ca}^{2+}$  grubu aralarında karşılaştırıldıklarında herhangi bir farklılık bulunmamaktadır ( $p>0.05$ ). Bunun dışında diğer tüm gruplar arasında istatistiksel olarak fark vardır ( $p<0.001$ ).



Şekil 4.18: Önce 24 saat süreyle 21 mM L-glutamat+Ca'suz besi yeri, 21 mM L-glutamat+EDTA, 21 mM L-glutamat+heparin, 21 mM L-glutamat+10 mM  $\text{Ca}^{2+}$ , 21 mM L-glutamat+ 50 mM  $\text{Ca}^{2+}$  uygulanan, ardından iyileşme döneminde sadece L-glutamatı uzaklaştırılan,  $\text{Ca}^{2+}$ ,suz besiyeri , EDTA, heparin, 10 mM  $\text{Ca}^{2+}$ , 50 mM  $\text{Ca}^{2+}$  uygulanan gruplardaki birinci hastaya ait glioma hücre yaşam oranı. a:  $p<0.001$ , tüm gruplar kontrol grubu ile b:  $p<0.001$ , tüm gruplar L-glutamat grubu ile kıyaslandığında. Kontrol % 100 olarak kabul edilmiştir. Tüm deney gruplarında en az n=24. K: Kontrol.

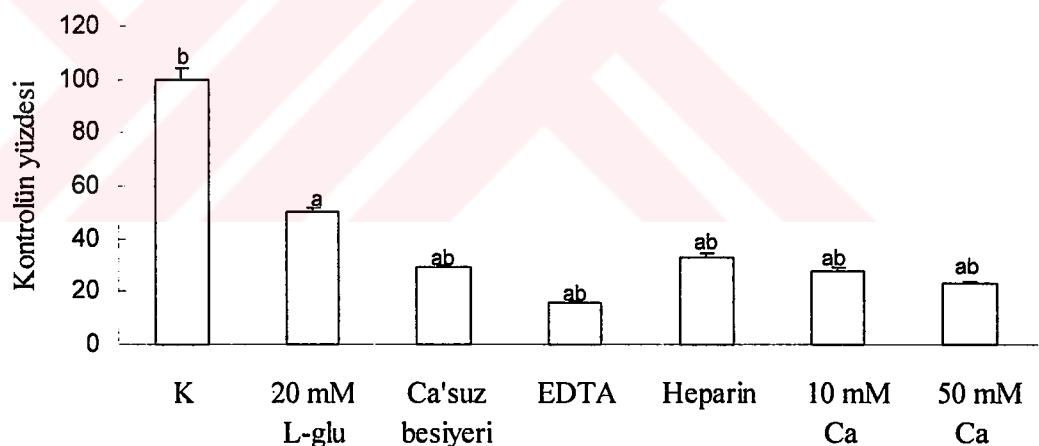
$Mg^{2+}$  denemeleri için yine, içinde  $Mg^{2+}$  bulunmayan DMEM/F-12 kullanıldı. Sadece 21 mM L-glutamat uygulanan hücrelerin % 50'si yaşarken, L-glutamat+  $Mg^{2+}$  içermeyen DMEM/F-12 besiyeri kullanılan grupta % 29.8, L-glutamat+2 mM  $MgSO_4$  grubunda % 33.3, L-glutamat+5 mM  $MgSO_4$  grubunda % 25.5, L-glutamat+10 mM  $MgSO_4$  grubunda % 26.9, L-glutamat+50 mM  $MgSO_4$  grubunda % 22.9, L-glutamat+100 mM  $MgSO_4$  grubunda ise % 23.6 oranında hücrenin yaşadığı görüldü. (Şekil 4.19). Kontrol grubu tüm gruplar ile karşılaştırıldığında istatistiksel olarak anlamlı farklılık bulunmaktadır ( $p<0.001$ ). Tüm gruplar sadece 21 mM L-glutamat uygulanan gruptan anlamlı olarak farklıdır ( $p<0.001$ ). L-glutamat+  $Mg^{2+}$ 'suz besiyeri grubu ile L-glutamat+ 5 mM  $MgSO_4$  grubu ve L-glutamat+ 10 mM  $MgSO_4$  grubu aralarında karşılaştırıldıklarında anlamlı bir fark mevcut değildir ( $p>0.05$ ). Yine L-glutamat+ 5 mM  $MgSO_4$  grubu, L-glutamat+ 10 mM  $MgSO_4$  grubu, L-glutamat+ 50 mM  $MgSO_4$  grubu ve L-glutamat+ 100 mM  $MgSO_4$  grubu aralarında karşılaştırıldıklarında farklılık bulunamamıştır ( $p>0.05$ ).



Şekil 4.19: Önce 24 saat süreyle 21 mM L-glutamat+2, 5, 10, 50 veya 100 mM  $MgSO_4$ , ardından L-glutamatı uzaklaştırılmış  $MgSO_4$  dozları uygulanan gruplardaki birinci hastaya ait glioma hücre yaşam oranları. a:  $p<0.001$ , tüm gruplar kontrol grubu ile b:  $p<0.001$ , tüm gruplar L-glutamat grubu ile kıyaslandığında. Kontrol grubu % 100 olarak kabul edilmiştir. Tüm deney gruplarında en az  $n=24$ . K: Kontrol.

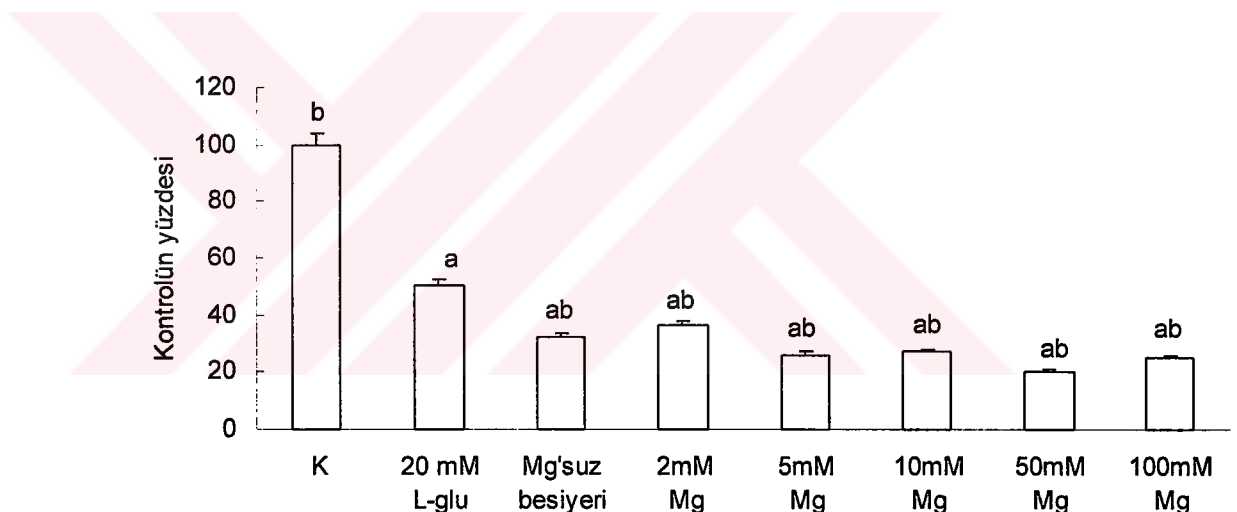
#### 4.1.3 İkinci hastaya ait insan glioma hücrelerinde kalsiyum ve magnezyum denemeleri

İkinci hastaya ait insan glioma hücrelerinde  $\text{Ca}^{2+}$  denemelerinde, sadece 20 mM L-glutamat uygulanan hücrelerin % 50'si yaşarken, L-glutamat+  $\text{Ca}^{2+}$  içermeyen DMEM/F-12 besiyeri kullanılan grupta % 29, L-glutamat+EDTA grubunda % 16, L-glutamat+heparin grubunda % 33, L-glutamat+10 mM  $\text{Ca}^{2+}$  grubunda % 28, L-glutamat+50 mM  $\text{Ca}^{2+}$  grubunda ise % 23'ünün yaşadığı görüldü. (Şekil 4.20). Kontrol grubu tüm gruplar ile karşılaştırıldığında istatistiksel olarak anlamlı bir farklılık bulunmaktadır ( $p<0.001$ ). Tüm gruplar sadece 20 mM L-glutamat uygulanan gruptan anlamlı olarak farklıdır ( $p<0.001$ ). L-glutamat+  $\text{Ca}^{2+}$ ,suz besiyeri grubu ile L-glutamat+10 mM  $\text{Ca}^{2+}$  grubu aralarında karşılaştırıldıklarında herhangi bir farklılık bulunmamaktadır ( $p>0.05$ ). Bunun dışında diğer tüm gruplar arasında istatistiksel olarak fark mevcuttur ( $p<0.001$ ).



Şekil 4.20: Önce 24 saat süreyle 20 mM L-glutamat+Ca'suz besiyeri, 20 mM L-glutamat+EDTA, 20 mM L-glutamat+heparin, 20 mM L-glutamat+10 mM  $\text{Ca}^{2+}$  veya 20 mM L-glutamat+ 50 mM  $\text{Ca}^{2+}$  uygulanan, ardından iyileşme döneminde sadece L-glutamatı uzaklaştırılarak,  $\text{Ca}^{2+}$ ,suz besiyeri , EDTA, heparin, 10 mM  $\text{Ca}^{2+}$  veya 50 mM  $\text{Ca}^{2+}$  uygulanan grplardaki ikinci hastaya ait glioma yaşam oranları. a:  $p<0.001$ , tüm gruplar kontrol grubu ile b:  $p<0.001$ , tüm gruplar L-glutamat grubu ile kıyaslandığındır. Kontrol % 100 olarak kabul edilmiştir. Tüm deney gruplarında en az n=24. K: Kontrol.

$Mg^{2+}$  denemeleri için yine, içinde  $Mg^{2+}$  bulunmayan DMEM/F-12 kullanıldı. Sadece 20 mM L-glutamat uygulanan hücrelerin % 50'si yaşarken, L-glutamat+  $Mg^{2+}$  içermeyen DMEM/F-12 besiyeri kullanılan grupta % 32, L-glutamat+2 mM  $MgSO_4$  grubunda % 36, L-glutamat+5 mM  $MgSO_4$  grubunda % 26, L-glutamat+10 mM  $MgSO_4$  grubunda % 27, L-glutamat+50 mM  $MgSO_4$  grubunda % 20, L-glutamat+100 mM  $MgSO_4$  grubunda ise % 25 oranında hücrenin yaşadığı görüldü. (Şekil 4.21). Kontrol grubu tüm gruplar ile karşılaştırıldığında istatistiksel olarak anlamlı farklılık bulunmaktadır ( $p<0.001$ ). Tüm gruplar sadece 20 mM L-glutamat uygulanan gruptan anlamlı olarak farklıdır ( $p<0.001$ ). L-glutamat+ 5 mM  $MgSO_4$  grubu, L-glutamat+ 10 mM  $MgSO_4$  grubu ve L-glutamat+ 100 mM  $MgSO_4$  grubu aralarında karşılaştırıldıklarında farklılık bulunamamıştır ( $p>0.05$ ). Diğer tüm gruplar birbirlerinden farklı bulunmuştur ( $p<0.001$ ).



Şekil 4.21: Önce 24 saat süreyle 20 mM L-glutamat+2, 5, 10, 50 veya 100 mM  $MgSO_4$ , ardından L-glutamatı uzaklaştırılmış  $MgSO_4$  dozları uygulanan gruptardaki ikinci hastaya ait glioma hücre yaşam oranları. a:  $p<0.001$ , tüm gruplar kontrol grubu ile b:  $p<0.001$ , tüm gruplar L-glutamat grubu ile kıyaslandığında. Kontrol grubu % 100 olarak kabul edilmiştir. Tüm deney gruplarında en az  $n=24$ . K: Kontrol.

Deneysel sonucunda elde edilen verilerin rakamsal değerleri Tablo 4.1'de verilmiştir.

Tablo 4.1: Tüm deneylerin sonucunda elde edilen absorbans cinsinden rakamsal veriler. Veriler ortalama absorbans  $\pm$  standart hata şeklinde verilmiştir (n=24).

	C6	1. HASTA	2. HASTA
Kontrol	2.228 $\pm$ 0.1594	2.145 $\pm$ 0.0547	2.065 $\pm$ 0.0829
Glutamat	1.110 $\pm$ 0.1111	1.044 $\pm$ 0.1521	1.050 $\pm$ 0.1105
Glutamat+0.01mM MgSO <sub>4</sub>	1.486 $\pm$ 0.1062	1.390 $\pm$ 0.1438	1.136 $\pm$ 0.0727
Glutamat+0.1 mM MgSO <sub>4</sub>	1.448 $\pm$ 0.1049	1.348 $\pm$ 0.0977	1.093 $\pm$ 0.0485
Glutamat+1 mM MgSO <sub>4</sub>	1.340 $\pm$ 0.1120	1.284 $\pm$ 0.0828	1.090 $\pm$ 0.0704
Glutamat+0.1 $\mu$ M U-83836E	1.292 $\pm$ 0.0472	1.310 $\pm$ 0.0408	1.076 $\pm$ 0.0510
Glutamat+1 $\mu$ M U-83836E	1.375 $\pm$ 0.0798	1.351 $\pm$ 0.0675	1.135 $\pm$ 0.0589
Glutamat+Ca'suz besiyeri	0.610 $\pm$ 0.0392	0.715 $\pm$ 0.0442	0.598 $\pm$ 0.0315
Glutamat+EDTA	0.116 $\pm$ 0.0157	0.418 $\pm$ 0.0475	0.330 $\pm$ 0.0324
Glutamat+Heparin	0.595 $\pm$ 0.0445	0.859 $\pm$ 0.0530	0.681 $\pm$ 0.0418
Glutamat+ 10 mM Ca	0.357 $\pm$ 0.0333	0.716 $\pm$ 0.0436	0.578 $\pm$ 0.0290
Glutamat+ 50 mM Ca	0.141 $\pm$ 0.0239	0.552 $\pm$ 0.0575	0.474 $\pm$ 0.0356
Glutamat+Mg'suz besi yeri	0.820 $\pm$ 0.0241	0.639 $\pm$ 0.0841	0.660 $\pm$ 0.0260
Glutamat+2 mM MgSO <sub>4</sub>	1.130 $\pm$ 0.0715	0.714 $\pm$ 0.0325	0.743 $\pm$ 0.0331
Glutamat+5 mM MgSO <sub>4</sub>	0.979 $\pm$ 0.0715	0.546 $\pm$ 0.0296	0.536 $\pm$ 0.0290
Glutamat+10 mM MgSO <sub>4</sub>	0.768 $\pm$ 0.0611	0.577 $\pm$ 0.0644	0.557 $\pm$ 0.0210
Glutamat+50 mM MgSO <sub>4</sub>	0.408 $\pm$ 0.0137	0.491 $\pm$ 0.0366	0.413 $\pm$ 0.0251
Glutamat+100 mM MgSO <sub>4</sub>	0.110 $\pm$ 0.0609	0.506 $\pm$ 0.0313	0.516 $\pm$ 0.0236

## 5. TARTIŞMA VE SONUÇ

Bulgularımız glioma hücrelerinde L-glutamatın % 50 öldürücü dozunun türe bağlı olarak farklı olabileceğini göstermektedir. Tür farklılığına ilaveten glutamatın hücreler üzerindeki inhibitör dozu süreye ve kullanılan besiyerine bağımlı olarak da değişiklik göstermektedir. C6 hücrelerinde glutamat sitotoksitesi üzerindeki tiol antioksidanlarının koruyuculuğunu gösteren bir araştırmada, Amerikan tipi kültür koleksiyonundan (American Type Culture Collection) üç farklı C6 hücresi alındığı, bu serilerden birinde glutamatın toksik konsantrasyonunun 28 saatte 10 mM, diğer ikisinde 20 mM olduğu, deneylerin ise 10 mM glutamatın toksik olduğu hücrelerde gerçekleştirildiği belirtilmiştir (26). Kato ve arkadaşları C6 hücrelerinde 48 saat süreyle uygulanan L-glutamatın  $IC_{50}$  değerini 3.5 mM olarak bulmuşlardır. 24 saat süreyle uygulanan 10 mM L-glutamat ise hücrelerin yaklaşık % 50'sini öldürmektedir (36). Bizim  $IC_{50}$  sonuçlarımızın diğer C6 hücreleriyle yapılmış olan çalışmalardan farklı olması, L-glutamatı 24 saat süre ile uyguladıktan sonra 24 saatlik bir iyileşme süresi vermemize bağlı olabilir. Besi ortamı olarak glukoz içeren tanımlanmış tuz solusyonu kullanan, astrositler üzerindeki bir araştırmada glutamatın gliotoksik etkisi 1 mM olarak bulunmuştur. Fakat serum ve DMEM'i besiyeri olarak kullanan astrositlerde hasar oluşturabilmek için ya daha yüksek konsantrasyonun yada daha uzun sürenin uygulanması gereği belirtilmiştir. Nedeninin ise, DMEM ve serum içinde L-sistin gibi glutatyon öncülerinin bulunması olduğu, iyi büyümeye koşullarının hücreyi GSH miktarının daha yüksek düzeyde tutulmasını sağladığı belirtilmiştir (9).

Glia hücrelerinde glutamatın neden olduğu toksititenin mekanizması ve tedavisi henüz tam olarak ortaya konamamıştır. Bu nedenle glutamat salınınının düzenlenmesi, glutamat reseptör antagonizmi veya lipid peroksidasyonunun engellenmesi gibi eksitotoksik hasarı engelleyici olasılıklar üzerinde araştırmalar yoğun olarak devam etmektedir. Sıçanlarda beyin hasarı ve ödemin ardından hücreyi serbest  $Mg^{2+}$  konsantrasyonun azalığı gösterilmiştir (28, 29). Hücreyi  $Mg^{2+}$  eksikliğinin nörolojik disfonksiyonu ve sıçanlarda beyin hasarının ardından ölüm oranını artttığı ortaya konmuştur. Bu bilgilere dayanarak iskemi ve travma sonrasında  $Mg^{2+}$  desteğinin

koruyucu olabileceği düşünülmüş, yapılan *in vivo* ve *in vitro* çalışmalarda  $Mg^{2+}$ 'un nöronal hasarı engellediği gösterilmiştir (18, 39, 43, 51). Bilindiği üzere glioma hücreleri, glia hücre özelliklerinin araştırılması, kültürdeki glia hücrelerinin yanıtlarının belirlenmesi ve glutamatın neden olduğu gliotoksitede hücresel olayların anlaşılması için uygun bir model oluşturmaktadır (23, 36).

$MgSO_4$  0.01 mM konsantrasyonunda, L-glutamatın neden olduğu % 50'lik hücre yaşam oranını C6 sıçan glioma hücrelerinde % 17, insana ait iki glioma hücresinde % 15 ve % 5 yükseltmesi,  $MgSO_4$ 'ın glutamat toksitesi üzerinde koruyucu etkisinin bir ölçüde varolabileceğini ortaya koymaktadır.  $MgSO_4$ 'ın neden olduğu bu artış sonucu elde edilen hücre yaşam oranı değeri kontrol grubu ile anlamlı farklılık göstermektedir. Ancak hücre sayısını kontrol grubuna yaklaştırması açısından dikkate değerdir. Beyin tümörleri salgıladıkları hormon, büyümeye faktörleri ve içerdikleri reseptör türü ve sayısı bakımından bireysel farklılık gösterebilir. İkinci hastaya ait glioma hücrelerinde, diğer iki hücreye göre daha az bir koruyuculuğun gözlenmesi, bireysel farklılık nedeni olarak yorumlanabilir.

$Mg^{2+}$ 'un, kalsiyum kanallarının doğal antagonisti olduğu ortaya konmuştur. Çalışmamızda dışarıdan verilen  $Mg^{2+}$ ,  $Ca^{2+}$  ile yarışarak hücre içindeki  $Ca^{2+}$  birikimini ve böylece hücre ölümünü azaltmış olabilir. Ayrıca  $Mg^{2+}$ 'un hiperglisemik etkisi de hücre koruma özelliğini arttırmış olabilir.  $Mg^{2+}$  miktarının 0.25 mM'ın altına inmesi durumunda DNA transkripsiyonu, RNA oluşumu ve protein sentezinin baskılandığı bilinmektedir. Ayrıca glikoliz, Krebs döngüsü ve iyon dengesini düzenleyen hayatı önemi olan enzimlerin optimum aktivite gösterebilmesi için  $Mg^{2+}$ 'a ihtiyaç olduğu bildirilmiştir (48). Besiyerine eklediğimiz 0.01, 0.1 ve 1 mM  $MgSO_4$  hücrede bu olayların baskılanmasını engellemiş, enzimlerin normal aktivite göstermesini bir miktar da olsa arttırmış olabilir. Enzim aktivitesi, DNA ve protein sentezi değerlendirmesi yapamadığımız için belirtilen koruyucu özellikler spekulasyondan öteye gidememektedir. Çalışmamızda hücre yoğunluğunda artış sağlayan  $Mg^{2+}$ , glutamatın neden olduğu glioma hücre ölümünü tam olarak engellememekle birlikte, olayı etkileyen çok sayıda faktörden biri olabileceğini ortaya koymaktadır.

Kullandığımız 1  $\mu$ M dozundaki U-83836E, L-glutamatın neden olduğu % 50'lik yaşam oranını C6 hücrelerinde % 12, insan glioma hücrelerinde % 13 ve % 4.9 oranında arttırması, U-83836E'nin glutamat toksisitesi üzerinde bir miktar koruyucu etkisi olduğunu ortaya koymaktadır. U-83836E'nin etkili bir 'OH radikal tutucusu olduğu bildirilmiştir. Hipoksi ve ardından oksijenlendirmeye bırakılan endotel hücrelerinde, U-83836E radikallerin başlattığı zar lipid peroksidasyonunu engellemektedir (45). Kainik asitle uyarılan nörotoksisitede U-83836E'nin serbest radikal üretimini tamamen baskıladığı gösterilmiştir (6). Sıçan beyincik granül hücrelerinde de glutamat toksisitesinin ardından U-83836E reaktif oksijen türevlerinin oluşumunu azaltırken, eksitotoksisite karşısında ancak kısmi koruyuculuk sağlamıştır (55). Lazaroidlerin, birincil olarak lipid peroksidasyon baskılayıcısı olduğu ve bu nedenle diğer hücresel hedefleri koruyamadıkları bildirilmiştir. Lipid peroksidasyonu tam olarak baskılanmasına rağmen oksidanların uyardığı ATP eksikliği ve DNA zincir kırıkları zar bütünlüğünün, gen transkripsiyonunun ve hücre bölünmesinin kaybına neden olmaktadır. Böylece lipid peroksidasyonunun yokluğunda bile zar bütünlüğünün bozulması diğer hücresel hedefleri hasarladığı için oksidan hasarın daha sonraki safhalarına geçilmektedir (33). U-83836E'nin kültür ortamına eklenmesi ile glia hücre yoğunluğunda elde ettiğimiz artış, L-glutamat toksisitesinde serbest radikal üretimi ve lipid peroksidasyonunun da küçük bir rolü olabileceğine işaret etmektedir.

Bir çok in vitro çalışma oksidan stresin neden olduğu hücre hasarını engellemede lazaroit bileşiklerinin güçlü etkiye sahip olduğunu göstermektedir (24, 25, 34, 45, 55). Bununla beraber, in vivo şartlarda lazaroitlerin oksidatif hasarı engelleme yeteneğinin kesin olmadığı konusunda veriler bulunmaktadır. Doku nakli yapılan hastalarda merkezi sinir sistemi veya doku hasarını sınırlamak için lazaroit kullanan öncü klinik çalışmaların ümit verici olmadığı belirtilmiştir. Bunu test etmek için Huang ve arkadaşları böbrek tübul hücre serisini U-83836E ortamda varken veya yokken  $H_2O_2$ 'ye maruz bırakmışlardır. Erken ve geç dönemde lipid peroksidasyonu, laktat dehidrojenaz (LDH) salınımı, DNA hasarı ve ATP azalması ölçülmüştür. Erken dönemde U-83836E  $H_2O_2$ 'nin neden olduğu lipid peroksidasyonu ve LDH salınımını engellerken, DNA hasarını ve ATP azalmasını engelleyememiştir. Geç dönemde ise U-

83836E lipid peroksidasyonunu engellemesine rağmen herhangi bir koruyuculuk göstermemiştir. Doku naklinde, organ yada merkezi sinir sistemi hasarını engellemek için lazaroid kullanan öncü klinik çalışmaların ümit verici olmamasını, geç dönemde lazaroidlerin doku hasarını engellemedeki başarısızlığını ile açıklamışlardır (33).

Hücrede eksitotoksiteden  $\text{Ca}^{2+}$  iyonları sorumlu ise hücre dışındaki yada hücre içi depolardan salınan  $\text{Ca}^{2+}$ 'u uzaklaştırmının hücre hasarını engelleyeceği düşüncesiyle besiyerindeki  $\text{Ca}^{2+}$ 'u uzaklaştırarak, hücre dışındaki  $\text{Ca}^{2+}$ 'u EDTA ile tutarak ve hücre içindeki  $\text{IP}_3$  kapılı kalsiyum kanallarını bloklayan heparin kullanarak çalışmalarımızı tekrarladık. Ortamdan  $\text{Ca}^{2+}$ 'un uzaklaştırılması hasarı önlemek yerine tam tersi bir etki oluşturarak hasarı daha da arttırdı. Kontrol % 100 ve L-glutamat grubu % 50 iken, C6, birinci ve ikinci hastaya ait hücre yaşam oranı sırasıyla % 27.3, 33 ve 29 idi. 10  $\mu\text{M}$  heparin uygulanması ise  $\text{Ca}^{2+}$ 'suz besiyeri kullanılan gruba kıyasla insana ait glioma hücrelerinde hücre yaşam oranını hafifçe artırmamasına rağmen (C6 hücrelerinde değil), sadece L-glutamat uygulanan grubun verilerine ulaşamadı. C6, birinci ve ikinci hastaya ait hücre yaşam oranı sırasıyla % 26.6, 40 ve 33 idi. Heparin ile hücreyi  $\text{IP}_3$  kapılı  $\text{Ca}^{2+}$  kanallarını blokladığımızda istatistiksel olarak anlamlı olmayan bir koruyuculuğun farkedilmesi, glioma hücrelerinde metabotropik reseptörlerin olayda rolü olabileceğini düşündürmektedir. Besiyerindeki  $\text{Ca}^{2+}$  konsantrasyonu 10 ve 50 mM'a yükseltildiğinde hücrelerde doza bağımlı olarak hasarın arttığı gözlendi. 10 mM  $\text{CaCl}_2$  verilen grupta, C6, birinci ve ikinci hastaya ait hücre yaşam oranları sırasıyla % 16, 33.3 ve 28 iken, 50 mM  $\text{CaCl}_2$  grubunda % 6.3, 25.7 ve 23 idi.  $\text{Ca}^{2+}$  iyonlarının ortamda aşırı miktarda olmasının glutamat toksitesini potensiyelize ettiği görüldü. Sonuç olarak, L-glutamat toksitesi ve  $\text{Ca}^{2+}$  iyonları arasında doğrudan bir ilişki kurulmadı. Nöronlar üzerinde yapılan ve bulgularımızı destekleyen birçok çalışma bulunmaktadır (14, 22, 52). Verity ve arkadaşları uyarıcı aminoasitlerin  $\text{Ca}^{2+}$  eklenmemiş besi yerinde de nörotoksik olduğunu ortaya koymuşlardır. Bu bulgular, hücre içine  $\text{Ca}^{2+}$  girişinin nöronal ölümden sorumlu olduğu hipotezini şüpheye düşürmüştür (60). Bulgularımız, Lee ve arkadaşlarının (40) iskemik koşullarda akut olarak  $\text{Ca}^{2+}$  biriminin baskın olduğunu, iskemi sonrası geç dönemde  $\text{Ca}^{2+}$ 'un aşırı azalması ile hücrenin  $\text{Ca}^{2+}$  açlığına girdiği hipotezine de ters düşmektedir.

Beyincik kesitlerinde doğrudan Bergmann glia hücrelerinde  $\text{Ca}^{2+}$  kayıtları yapan bir araştırmada, glutamat uygulandıktan sonra  $\text{Ca}^{2+}$  içermeyen solüsyonların hücre içindeki  $\text{Ca}^{2+}$  yükselmesini engellemeyi ve hücre içindeki  $\text{Ca}^{2+}$ 'un kaynağının hücre içi  $\text{Ca}^{2+}$  depoları olduğunu göstermişlerdir (38). Bu araştırmadaki bulguların bizim verilerimizle çelişmesi tamamen yöntem ve süre ile ilişkilidir. Onlar saniye ve dakikalar içerisinde uyarıcı aminoasitlerin  $\text{Ca}^{2+}$  ileti sistemi üzerindeki erken etkisini ortaya koyarken, biz L-glutamat verildikten 48 saat sonrasında hücre canlılığını geç dönemde değerlendirdik.

İskemik durumlarda nöronlarda olduğu gibi glia hücrelerinde de glutamatın  $\text{Mg}^{2+}$  azalmasına neden olup olmadığını araştırmak için, besiyerindeki  $\text{Mg}^{2+}$ 'un tamamı uzaklaştırıldı.  $\text{Mg}^{2+}$  içermeyen besiyerinde beklediğimiz gibi hücre yaşam oranı önemli azalma göstermektedir. Ancak ortama tedavi amaçlı  $\text{Mg}^{2+}$  eklendiğinde sadece 2 mM  $\text{MgSO}_4$  grubunda hücre canlılığında bir artış gözlenmesine rağmen, doz yükseldikçe hücreler üzerindeki toksisite artış göstermektedir. Deneylerimizin birinci aşamasında normal DMEM/F-12 içine eklediğimiz 0.01, 0.1 ve 1 mM  $\text{MgSO}_4$ 'ün az da olsa koruyucu etki göstermesi,  $\text{Mg}^{2+}$ 'un tamamen doz bağımlı bir etkisinin olduğunu, konsantrasyon arttıkça toksik etki oluşturduğunu göstermektedir.

Astrositik hücre ölümü ile diğer iyonlar arasında ilişki kurmaya çalışan araştırmalar bulunmaktadır. Nöronal hasar mekanizmasında önemli role sahip olan  $\text{Na}^+$  iyonlarının, astrositik hücre ölümünde de görev alıp almadığını ortaya koymak üzere sıçan astroglial hücrelerinde yapılan bir araştırmada, hücrelere veratridin ( $\text{Na}^+$  kanal açıcısı), monensin ( $\text{Na}^+$  iyonoforu) ve 1mM glutamat ( $\text{Na}^+$  ile birlikte taşınım) tek başına verildiğinde anlamlı bir hücre hasarının oluşmadığı, veratridin ve monensin, ouabain ( $\text{Na}^+/\text{K}^+$  ATPaz ile  $\text{Na}^+$ 'un çıkışını bloklar) ile kombin olarak 20 saat boyunca uygulandığında hücre içi  $\text{Na}^+$  biriminin arttığı ve anlamlı hücre ölümünün meydana geldiği ortaya konmuştur.  $\text{Na}^+$  içermeyen besiyeri oluşturmak için kolin (geçirgen olmayan katyon) kullanıldığından, monensin ve veratridinin sebep olduğu hücre ölümünün anlamlı olarak azaldığı belirtilmiştir. 1mM glutamat ile birlikte ouabain kullanıldığından ise anlamlı hücre ölümünün meydana gelmediği görülmüştür. Hücre

İçine sodyum iyonlarının aşırı girmesinin astroglial hücre ölümüne neden olduğu sonucuna varılmıştır (56). Astrositik hücrelere glutamat ile birlikte ouabain verildiğinde anlamlı hücre ölümünün olmaması, glutamat toksisitesi ile  $\text{Na}^+$  iyonları arasında önemli bir ilişkinin olmadığını göstermesi açısından ilginçtir.

Glia hücrelerinde L-glutamatın neden olduğu olaylar dizisini etkileyen etkenleri tam olarak ortaya koyabilmek için daha detaylı araştırmaların yapılması gerektiği inancındayız. Özellikle hücreçi  $\text{Ca}^{2+}$  ve  $\text{Mg}^{2+}$  ölçümleri ile bulgularımız arasında herhangi bir korelasyonun olup olmadığı araştırılabilir. Rothman, hipokampus nöronlarının glutamat, kainat ve NMDA toksisitesinin hücre dışında klor iyonları olmadığından azaldığını göstermiş, glutamat nörotoksisitesinden glutamatın neden olduğu depolarizasyonun ardından klor iyonlarının pasif olarak hücre içine girmesinin sorumlu olduğunu ortaya koymuştur (52). Bu teoriye dayanarak, glia hücrelerinde L-glutamat toksisitesi ve klor iyonları arasında bağlantı olup olmadığını araştırmak yeni bir yaklaşım olacaktır. Yine fosfolipaz C inhibitörlerinin glutamatın uyardığı nöron ölümünü engellediği ortaya konmuştur (42). Fosfolipaz C'nin metabotropik reseptörlerin işlevine aracılık ettiği bilinmektedir. Nöronlara benzer şekilde glia hücrelerinde de fosfolipaz C'nin baskılanarak glutamat toksisitesinde koruyucu etki oluşturup oluşturmadığını araştırmak da mekanizmayı aydınlatmaya yardımcı olabilir.

Sonuç olarak,  $\text{MgSO}_4$  ve lazaroit U-83836E glutamat toksisitesi oluşturulmuş sıçan ve insan kaynaklı glioma hücre dizilerinde az da olsa koruyucu etki göstermektedir. Bu bulgu,  $\text{Mg}^{2+}$  iyonlarındaki azalmanın ve serbest radikal üretiminin glia hücrelerindeki glutamat toksisitesinde rolü olabileceğini önekmektedir.  $\text{Ca}^{2+}$  iyonları ve glutamatın oluşturduğu hücre ölümü arasında doğrudan bir ilişki kurulamamakla birlikte, ortamda  $\text{Ca}^{2+}$  miktarının aşırı artmasının hücre ölümünü potansiyelize ettiğini söylemek mümkündür. Ayrıca heparin ile hücreçi  $\text{IP}_3$  kapılı  $\text{Ca}^{2+}$  kanallarının bloklanmasıının anlamlı olmasa da koruyuculuk göstermesi, glutamatın glioma hücrelerinde metabotropik reseptörlerini kullandığını ve hücreçi kalsiyum düzeyinin toksitede rolü olabileceğini düşündürmektedir.

## KAYNAKLAR DİZİNİ

1. ALLEY, M.C., SCUDIERO, D.A., MONKS, A. : Feasibility of drug screening with panels of human tumor cell lines using a microculture tetrazolium assay, *Cancer Res.*, 48: 589-601, (1988).
2. BABU, A.N., CHENG, T.P.O., ZHANG, A., ALTURA, B.T., ALTURA, B.M.: Low concentrations of ethanol deplete type-2 astrocytes of intracellular free magnesium, *Brain Res. Bulletin*, 50(1): 59-62, (1999).
3. BANKER, G., GOSLIN, K.: *Culturing Nerve Cells*, A Bradford Book The MIT Press London, England, (1991).
4. BORDEY, A., SONTHEIMER, H.: Electrophysiological properties of human astrocytic tumor cells in situ: enigma of spiking glial cells, *J. Neurophysiol.*, 79: 2782-2793, (1998).
5. BRIDGES, R.J., HATALAKI, C.G., SHIM, S.N., CUMMING, B.J., VIJAYAN, V., KUNDI, A., COTMAN, C.W.: Gliotoxic actions of excitatory aminoacids, *Neuropharm.*, 31: 899-907, (1992).
6. CAMINS, A., GABRIEL, C., AGUIRRE, L., SUREDA, F.X., PUBILL, D., PALAS, M., ESCUBEDO, E., CAMARASA, J.: U83836E prevents kainik acid-induced neuronal damage, *Naunyn Schmiedeberg's Arch. Pharmacol.*, 357: 413-418, (1998).
7. CARMICHAEL, J., DEGRAFF, W.G., GAZDAR, A.F. : Evaluation of tetrazolium-based semiautomated colorimetric assay: assessment of chemosensitivity testing, *Cancer Res.*, 47: 936-942, (1987).

8. CHAN, P.H., CHU, L. CHEN, S.: Effects of MK-801 on glutamate-induced swelling of astrocytes in primary culture, *J. Neurosci. Res.*, 25: 87-93, (1990).
9. CHEN, C.J., LIAO, S.L., KUO, J.S.: Gliotoxic action of glutamate on cultured astrocytes, *J. Neurochem.*, 75(4): 1557-1565, (2000).
10. CHEN, T.T., MEALEY, J.: Microculture of human brain tumors, *Cancer Chemother. Rep.* 54: 9-14, (1970).
11. CHOI, D.W.: Glutamate neurotoxicity in cortical cell culture is calcium dependent, *Neurosci. Lett.* 58: 293-297, (1985).
12. CHOI, D.W.: Calcium: Still center-stage in hypoxia-ischemic neuronal death, *Trends Neurosci.*, 18: 58-60, (1995).
13. COLE, D.E., QUAMME, G.: Inherited disorders of renal magnesium handling. *J. Am. Soc. Nephrol.*, 11: 1937-1947, (2000).
14. CONNOR, I.A.: Reduced voltage-dependent  $\text{Ca}^2$  signaling in CA1 neurons after brief ischemia on gerbils, *J. Neurophysiol.* 81: 299-306, (1989).
15. DAIKHIN, Y., YUDKOFF, M.: Compartmentation of brain glutamate metabolism in neurons and glia, *J. Nutrition* 130(4): 1026S-1031S, (2000).
16. DURMAZ, R., DELIORMAN, S., İŞIKSOY, S., UYAR, R., EROL, K., TEL, E.: Antiproliferative properties of the Lazaroids U-83836E and U-74389G on glioma cells in vitro, *Pathology Oncology Research*, 5(3): 223-228, (1999).
17. DURMAZ, R., INAL, M., ANGIN, K., ATASOY, M.A., ALTINIŞIK, M., TEL, E.: The effects of MK-801 and U-83836E on post-ischemic reperfusion injury in rat brain, *Acta Neurobiol. Exp.*, 59: 99-104, (1999).

18. FELDMAN, Z., GUREVITCH, B., ARTRU, A.A., OPPENHEIM, A., SHOHAMI, E., REICHENTHAL, E., SHAPIRA, Y.: Effect of magnesium given 1 hour after head trauma on brain edema and neurological outcome, *J. Neurosurg.*, 85: 131-137, (1996).
19. GANONG, W.F.: Review of Medical Physiology, 19<sup>th</sup> ed., Appleton & Lange Stannford, Connecticut, (1997).
20. GIAUME, C., MCCARTHY, K.D.: Control of gap-junctional communication in astrocytic networks, *Trends Neurosci.*, 19: 319-325, (1996).
21. GLICK, R.P., GETTLEMAN, R., PATEL, K.: Insulin and Insulin-like growth factor I in brain tumors: binding and in vitro effects, *Neurosurgery*, 24, 791-797, (1989).
22. GOLDBERG, M.P., CHOI, D.W.: Combined oxygen and glucose deprivation in cortical cell culture: calcium-dependent and calcium-independent mechanisms of neuronal injury, *J.Neurosci.*, 13(8): 3510-3524, (1993).
23. GOYA, L., FENG, P.T., ALIABADI, S., TIMIRAS, P.S.: Effect of growth factors on the in vitro growth and differentiation of early and late passage C6 glioma cells, *Int. J. Dev. Neurosci.*, 14: 409-417, (1996).
24. GRASBON-FRODL, E.M., ANDERSON, A., BRUNDIN, P.: Lazaroid treatment prevents death of cultured rat embryonic mesencephalic neurons following glutathione depletion, *J. Neurochem.*, 67: 1653-1660, (1996).
25. HALL, E.D., BRAUGHLER, J.M., YONKERS, P.A., SMITH, S.L., LINSEMAN, K.L., MEANS, E.D., SCHERCH, H.M., VOIGTLANDER, F.V., LAHTI, R.A., JACOBSEN, E.J.: U-78517F: a potent inhibitor of lipid

- peroxidation with activity in experimental brain injury and ischemia, J. Pharmacol. Exp. Ther., 258: 688-694, (1991).
26. HAN, D., SEN, C.K., ROY, S., KOBAYASHI, M.S., TRITSCHLER, H.J., PACKER, L.: Protection against glutamat-induced cytotoxicity in C6 glial cells by thiol antioxidants, Am. Physiol. Soc., 273: R1771-R1778, (1997).
27. HANSSON, E., MUYDERMAN, H., LEONOVA, J., ALLANSSON, L., SINCLAIR, J., BLOMSTRAND, F., THERLIN, T., NILSSON, M., RÖNNBÄCK, L.: Astroglia and glutamate in physiology and pathology: aspects on glutamate transport, glutamate-induced cell swelling and gap-junction communication, Neurochem. Int., 37: 317-329, (2000).
28. HEATH, D.L., VINK, R.: Traumatic brain axonal injury produces sustained decline in intracellular free magnesium concentration, Brain Res., 738: 150-153, (1996).
29. HEATH, D.L., VINK, R.: Neuroprotective effects of MgSO<sub>4</sub> and MgCl<sub>2</sub> in closed head injury: a comparative phosphorus NMR study, J. Neurotrauma, 15: 183-189, (1998).
30. HERTZ, L., DRINGEN, R., SCHOUSBOE, A., ROBINSON, S.R.: Astrocytes: glutamate producers for neurons, J. Neurosci. Res., 57: 417-428, (1999).
31. HINTZ, K., GUNZEL, D., SCHLUE, W.R.: Na dependent regulation of the free Mg<sup>2+</sup> concentration in neuropile glial cells and P neurones of the leech Hirudo medicinalis, Pflügers Arch. Eur. J. Physiol., 437: 354-362, (1999).
32. HONG, Y.C., PAIK, S.R., LEE, H.J., JANG, S.M.: Magnesium inhibits nickel-induced genotoxicity and formation of reactive oxygen, Environmental Health Perspectives, 105(7): 744-748, (1997).

33. HUANG, H., PATEL, P., SALAHUDEEN, A.K.: Lazaroid compounds prevent early but not late stages of oxidant-induced cell injury: potential explanation for the lack of efficacy of lazaroids in clinical trials, *Pharmacological Research*, 43: 55-61, (2001).
34. KARLSSON, J., LOVE, R.M., CLARKE, D.J., BRUNDIN, P.: Effects of anaesthetics and lazaroid U-83836E on survival of transplanted rat dopaminergic neurones, *Brain Research*, 821: 546-55, (1999).
35. KASS, I.S., COTTRELL, J.E., CHAMBERS, G.: Magnesium and cobalt, not nimodipine, protect neurons against anoxic damage in the rat hippocampal slice, *Anesthesiology*, 69: 710-715, (1988).
36. KATO, S., HIGASHIDA, H., HIGUCHI, Y., HATAKENAKA, S., NEGISHI, K.: Sensitive and insensitive states of cultured glioma cells to glutamate damage, *Brain Res.* 303: 365-373, (1984).
37. KIRISCHUK, S., MOLLER, T., VOITENKO, N., KETTENMANN, H., VERKHRATSKY, A.: ATP-triggered calcium mobilization in cerebellar Bergmann glial cells, *J. Neurosci.* 15: 7861-7871, (1995).
38. KIRISCHUK, S., KIRCHHOFF, V., MATYASH, H., KETTENMANN, H. , VERKHRATSKY, A.: Glutamate- triggered calcium signaling in mouse Bergmann glial cells *in situ*: role of inositol-1,4,5-triphosphate-mediated intracellular calcium release, *Neurosci*, 92: 1051-1059, (1999).
39. LEE, E.J., AYOUB, I.A., HARRIS, F.B., HASSAN, M., OGILVY, C.S., MAYNARD, K.I.: Mexiletine and magnesium independently, but not combined, protect against permanent focal cerebral ischemia in Wistar rats, *J. Neurosci. Res.*, 58: 442-448, (1999).

40. LEE, J.M., ZIPFEL, G.J., CHOI, D.W.: The changing landscape of ischaemic brain injury mechanisms. Macmillan Magazines Ltd, A7-A14, (1999).
41. LIN, W.W., KIANG, J.G., CHUANG, D.M.: Pharmacological characterization of endothelin- stimulated phosphoinositide breakdown and cytosolic free  $\text{Ca}^{2+}$  rise in rat C6 glioma cells, *J. Neurosci.*, 12: 1077-1085, (1992).
42. LLANSOLA, M., MONFORT, P., FELIPO, V.: Inhibitors of phospholipase C prevent glutamate neurotoxicity in primary cultures of cerebellar neurons, *J. Pharmacol. Exp. Ther.* 292: 870-876, (2000).
43. MARINOV, M.B., HARBAUGH, K.S., HOOPES, P.J., PIKUS, H.J., HARBAUGH, R.E.: Neuroprotective effects of preischemia intraarterial magnesium sulfate in reversible focal cerebral ischemia, *J. Neurosurg.*, 85: 117-124, (1996).
44. MCLEAN, R.M.: Magnesium and its therapeutic uses: a review, *Am. J. Med.*, 96: 63-76, (1994).
45. MERTSCH, K., GRUN, T., KUNSTMANN, S., WIESNER, B., LADHOFF, A.M., SIEMS, W.G., HASEOFF, R.F., BLASIG, I.E.: Protective effects of the thiophosphate amifostine (WR 2721) and a lazaroid (U-83836E) on lipid peroxidation in endothelial cells during hypoxia/reoxygenation, *Biochem. Pharmacol.*, 56(8): 945-954, (1998).
46. MOSSMANN, T.: Rapid colorimetric assay of cellular growth and survival: application to proliferation and cytotoxicity assays, *J. Immun. Method*, 65: 55-63, (1983).
47. NICHOLLS, D., ATTWELL, D.: The release and uptake of excitatory amino acids, *Pharmacol. Trends. Sci.*, 11: 462-468, (1990).

48. OHNISHI, S.T., OHNISHI, T.: Central Nervous System Trauma Research Techniques. CRC Press, Inc., U.S.A., (1995).
49. OKA, A., BELLIVEAU, M.J., ROSENBERG, P.A. VOLPE, J.J.: Vulnerability of oligodendroglia to glutamate: pharmacology, mechanisms and prevention, *J. Neurosci.*, 13: 1441-1453, (1993).
50. RASGADO-FLORES, H., GONZALEZ-SERRATOS, H.: Plasmalemmal transport of magnesium in excitable cells, *Frontiers in Bioscience*, 5: d866-d879, (2000).
51. ROBERTSON, C., FOLTZ, R., GROSSMAN, R. GOODMAN, J.C.: Protection against experimental ischemic spinal cord injury, *J. Neurosurg.*, 64: 633-642, (1986).
52. ROTHMAN, S.M.: The neurotoxicity of excitatory amino acids is produced by passive chloride influx, *J. Neurosci.* 5: 1483-1489, (1985).
53. SCHIPKE, C.G., OHLEMAYER, C., MATYASH, M., NOLTE, C., KETTENMANN, H., KIRCHOFF, F.: Astrocytes of the mouse neocortex express functional N-methyl-D-aspartate receptors, *Faseb J.* 15: 1270-1272, (2001).
54. SCOLDING, N.J., MORGAN, B.P., CAMBELL, A.K., COMPSTON, D.A.S.: The role of calcium in rat oligodendrocyte injury and repair, *Neurosci Lett.*, 135: 199-211, (1992).
55. SUREDÀ, F.X., GABRIEL, C., PUBILL, D., PALAS, M., ASCUBEDO, E., CAMARASA, J., CAMINS, A.: Effects of U-83836E on glutamate induced neurotoxicity in dissociated rat cerebellar granule cells, *Toxicology and Applied Pharmacology*, 156: 1-5, (1999).

56. TAKAHASHI, T., SHIBATA, M., GOTOH, J., FUKUUCHI, Y.: Astroglial cell death induced by excessive influx of sodium ions, European Journal of Pharmacology, 408: 127-135 (2000).
57. TASHIRO, M., KONISHI, M., IWAMOTO, T., SHIGEKAWA, M., KURIHARA, S.: Transport of magnesium by two isoforms of the  $\text{Na}^+ \text{-Ca}^{2+}$  exchanger expressed in CCL39 fibroblasts, Pflugers Arch., 440(6): 819-827, (2000).
58. THOLEY, G., LEDIG, M., MANDEL, P., SARGENTINI, L., FRIVOLD, A.H., LEROY, M., GRIPPO, A.A., WEDLER, F.C.: Concentrations of physiologically important metal ions in glial cells cultured from chick cerebral cortex, Neurochem. Res. 13(1): 45-50, (1998).
59. UNTERMAN, T.G., GLICK, R.P., WAITES, G.T.: Production of insulin-like growth-factor binding proteins by human central nervous system tumors, Cancer Res. 51: 3030-3036, (1991).
60. VERITY, M.A., TORRES, M., SARAFIAN, T.: Paradoxical potentiation by low extracellular  $\text{Ca}^{2+}$  of acute chemical anoxic neuronal injury in cerebellar granule cell culture, Molecular and Chemical Neuropathology, 15: 217-233, (1991).
61. VERKHRATSKY, A., KETTENMANN, H.: Calcium signalling in glial cells, Trends Neurosci. 19: 346-352, (1996).
62. VERKHRATSKY, A., ORKAND, R.K., KETTENMANN, H.: Glial calcium: Homeostasis and signaling function, Physiological Reviews, 78: 99-141, (1998).
63. VESCE, S., BEZZI, P., VOLTERRA, A.: The highly integrated dialogue between neurons and astrocytes in brain function, Science Progress., 82(3): 251-270, (1999).

64. WANG, D., ZHANG, H., ZHAO, S., WEI, M., ZHANG, H.: Prophylactic effects of magnesium sulfate and ligustrazin on the hypoxic-ischemic brain damage in neonatal rats, Chung Kuo I Hsueh Yuan Hsueh, 19: 301-304, (1997).
65. ZHOU, Q., OLINESCU, R.M., KUMMEROW, F.A.: Influence of low magnesium concentrations in the medium on the antioxidant system in cultured human arterial endothelial cells, Magnes. Res., 12(1): 19-29, (1999).

## **ÖZGEÇMİŞ**

1972 yılında Eskişehir'de doğdum. İlk, orta ve lise eğitimimi Eskişehir'in muhtelif okullarında tamamladım. 1989 yılında Anadolu Üniversitesi Fen-Edebiyat Fakültesi Biyoloji Bölümü'nü kazandım. 1993 yılında Biyoloji Bölümü'nden üçüncülükle mezun oldum. Aynı yıl Osmangazi Üniversitesi Sağlık Bilimleri Enstitüsü Fizyoloji Anabilim Dalı'nda yükseklisans eğitimi görmeye hak kazandım. 1996 yılında yükseklisans eğitimi tamamladım. 1997 yılında aynı Enstitü ve anabilim dalında doktoraya giriş sınavını kazandım. Halen doktora eğitimime devam etmekteyim. Evli ve bir çocuk annesiyim.

